

Vorlesungsumdruck

Flugdynamik

Ausgabe 5.0

Univ.-Prof. Dr.-Ing. Dieter Moormann

Institut für Flugsystemdynamik
RWTH Aachen University

Inhaltsverzeichnis

1	Einführung	1
1.1	Einordnung	1
1.1.1	Flugdynamik	1
1.1.2	Fachgebiete/Vorlesung	1
1.1.3	Verbindungen	2
2	Grundlagen	3
2.1	Grundbegriffe Flugdynamik/Flugeigenschaften	3
2.1.1	Stabilität	3
2.1.2	Steuerbarkeit/Führungsverhalten	4
2.1.3	Trimmbarkeit	6
2.1.4	Störverhalten	6
2.2	Bezeichnungen	7
2.3	Koordinatensysteme	7
2.3.1	Winkeldefinitionen und Transformation	9
2.3.2	Längs- und Seitenbewegung	11
2.4	Luftkräfte und Luftkraftmomente	12
2.4.1	Allgemeines	12
2.4.2	Auftrieb	13
2.4.3	Widerstand	16
2.4.4	Druckpunkt	19
2.4.5	Neutralpunkt	20
2.4.6	Gleichgewicht	21
2.4.7	Polare	22
3	Stationäre Längsbewegung	24
3.1	Luftkräfte	24
3.2	Nickmomente	27
3.3	Statische Längsstabilität	29
3.3.1	Statische Stabilität bei festem Ruder	29
3.3.2	Einflussgrößen	32
3.3.3	Höhenleitwerksauslegung	35
3.3.4	Höhenruderausschlag	36
3.3.5	Stabilität bei freiem Ruder	39
3.3.6	Manöverstabilität	42
3.3.7	Zusammenfassung	46
3.4	Steuerung	46
3.4.1	Höhenruder-Scharniermoment	47
3.4.2	Steuerkräfte	47
3.4.3	Steuerhilfen	52
3.4.4	Trimmung	53
3.5	Derivative der Längsbewegung	53
4	Stationäre Seitenbewegung	54
4.1	Definitionen	54
4.2	Gierbewegung	55
4.2.1	Statische Richtungsstabilität	55
4.2.2	Gierdämpfung	59
4.2.3	Giersteuerung	59
4.3	Rollbewegung	61
4.3.1	Statische Rollstabilität	61

4.3.2	Rolldämpfung	65
4.3.3	Rollsteuerung	66
4.3.4	Stationäres Rollen	68
4.4	Kopplungen	69
4.4.1	Roll-Seitenkraft	69
4.4.2	Gier-Rollmoment	69
4.4.3	Roll-Giermoment	70
4.5	Derivative der Seitenbewegung	70
4.6	Stationärer Flug	70
4.6.1	Kurvenflug	71
4.6.2	Schiebeflug	72
4.6.3	Einmotorenflug	73
5	Bewegungsgleichungen	75
5.1	Grundlagen	75
5.1.1	Beschreibungsformen	76
5.1.2	Lösungsverfahren	78
5.1.3	Dynamisches Verhalten	82
5.2	Nichtlineare Bewegungsgleichungen	86
5.2.1	Annahmen	86
5.2.2	Differentialgleichungen	87
5.3	Lineare Bewegungsgleichungen	90
5.3.1	Bezugsflugzustand	90
5.3.2	Vereinfachte Differentialgleichungen	91
5.3.3	Windeinfluss	93
5.3.4	Umformung	94
5.3.5	Linearisierung	94
5.4	Derivative (Ergänzung)	99
6	Dynamik der Längsbewegung	101
6.1	Signalflussdiagramm	101
6.2	Sprungantworten	102
6.3	Eigenverhalten	103
6.3.1	Anstellwinkelschwingung	104
6.3.2	Phygoide	105
6.4	Führungsverhalten	107
6.4.1	Schub	108
6.4.2	Höhenruder	109
6.4.3	Auftriebsklappen	110
6.5	Störverhalten	111
6.5.1	Horizontalwind	111
6.5.2	Vertikalwind	112
7	Dynamik der Seitenbewegung	113
7.1	Signalflussdiagramm	113
7.2	Sprungantworten	114
7.3	Eigenverhalten	115
7.3.1	Taumelschwingung	115
7.3.2	Rollbewegung	116
7.3.3	Spiralbewegung	117
7.4	Führungsverhalten	118
7.4.1	Querruder	118
7.4.2	Seitenruder	119
7.5	Störverhalten	119

8	Flugeigenschaftsforderungen	121
8.1	Grundlagen	121
8.1.1	Vorschriften	121
8.2	Klassifizierungen	122
8.2.1	Bewertungsverfahren	123
8.3	Längsbewegung	124
8.3.1	Anstellwinkelschwingung	124
8.3.2	Phygoide	125
8.4	Seitenbewegung	126
8.4.1	Taumelschwingung	126
8.4.2	Rollbewegung	126
8.4.3	Spiralbewegung	126
9	Anhang	128
9.1	Koordinatentransformation	128
9.1.1	Bildungsgesetz	128
9.2	Ersatzgrößen	130
9.3	Literatur	132
9.4	Symbolverzeichnis	133

1 Einführung

1.1 Einordnung

1.1.1 Flugdynamik

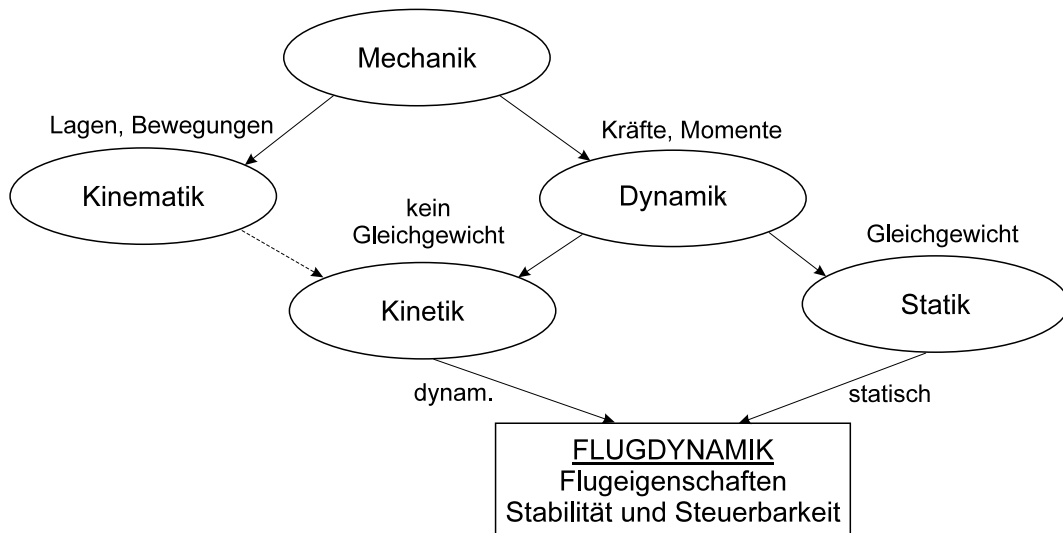


Bild 1.1 Einordnung

1.1.2 Fachgebiete/Vorlesung

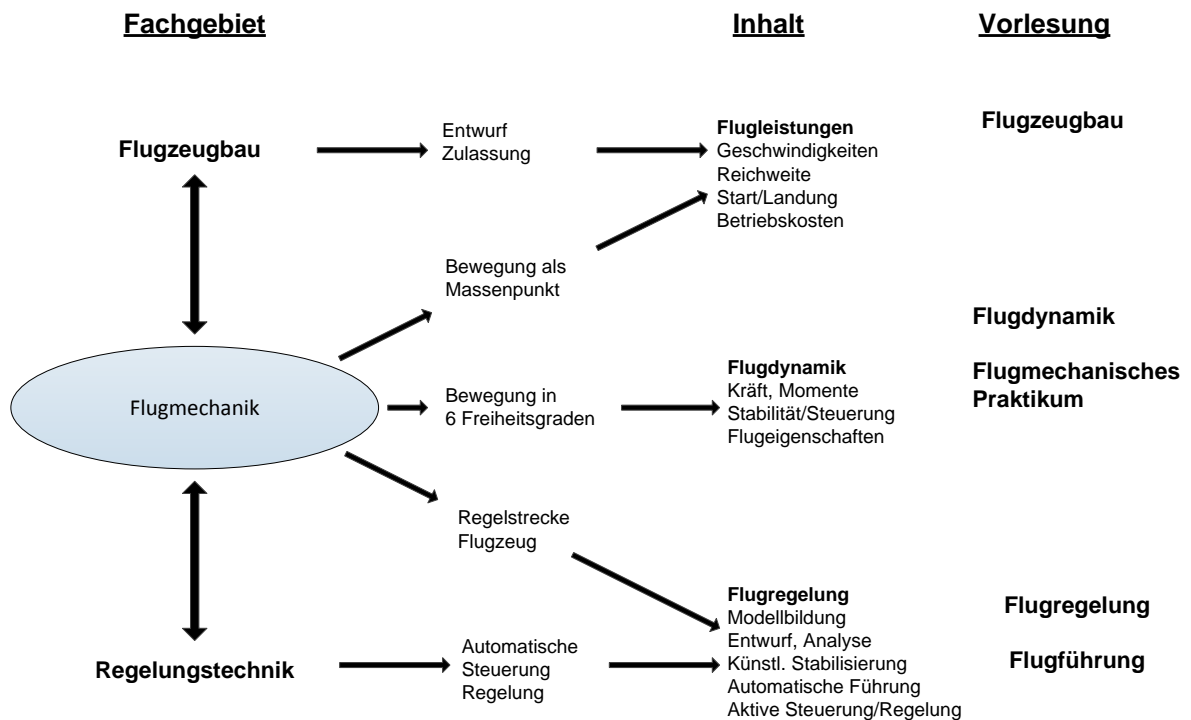


Bild 1.2 Gebiete/Vorlesungen

1.1.3 Verbindungen

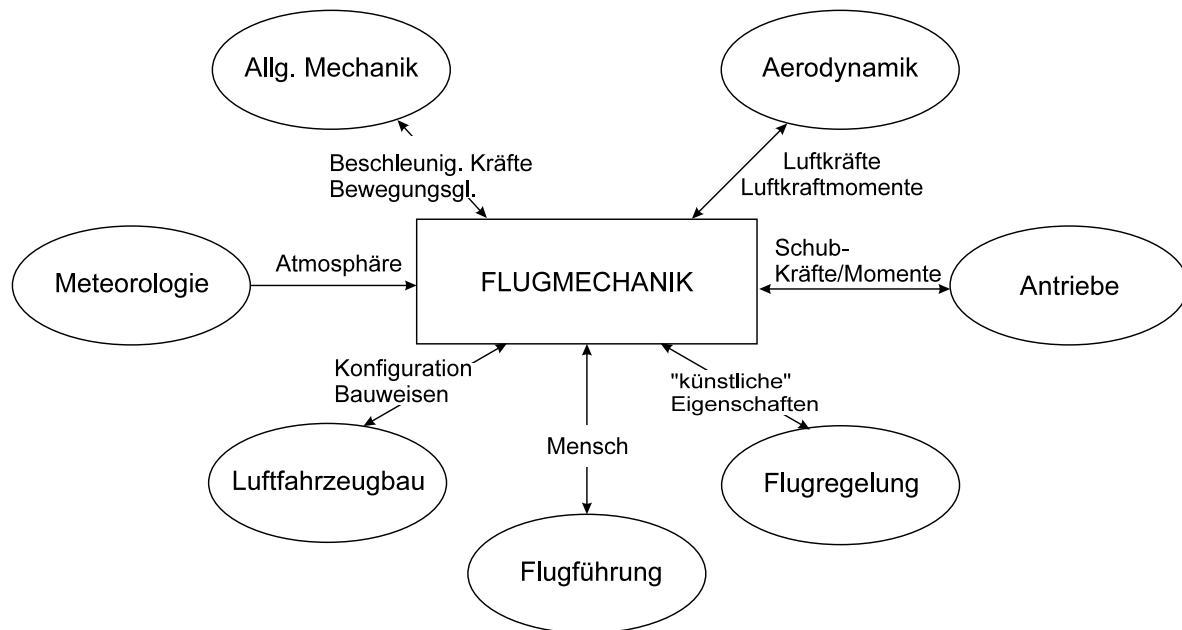


Bild 1.3 Verbindungen

2 Grundlagen

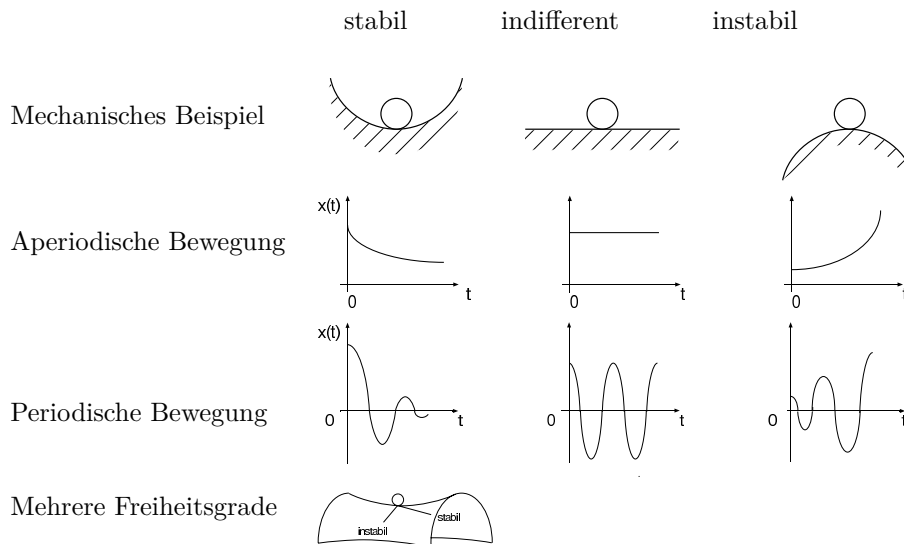
2.1 Grundbegriffe Flugdynamik/Flugeigenschaften

- Flugeigenschaften beschreiben des Gesamtverhaltens des Flugzeugs
 - im Gleichgewichtszustand (getrimmter Flugzustand, stationärer Flug)
 - bei Steuereingaben (z.B. Ruderausschläge)
 - bei Störungen (z.B. Böen)
- Flugeigenschaften bestimmen die Arbeitslast des Piloten und das Wohlbefinden der Passagiere
- Flugeigenschaften sind schwierig zu quantifizieren (anders als bei Flugleistungen)
- Anforderungen an ein Flugzeug sind festgelegt in Flugeigenschaftskriterien
- Kenngrößen
 - Stabilität - Steuerbarkeit
 - Trimmbarkeit - Störverhalten
- Flugeigenschaftsuntersuchung
 - Identifizieren von Einflussgrößen
 - Beschreibung der statischen Eigenschaften
 - Beschreibung des dynamischen Verhaltens

2.1.1 Stabilität

- Definition: Fähigkeit des Flugzeugs, nach einer Störung aus dem Gleichgewichtszustand ohne Zutun des Piloten wieder in diesen (einen) Gleichgewichtszustand zurückzukehren (statische Stabilität)
- Keine Aktivität von Pilot oder Regelungssystem erforderlich: → natürliche Stabilität
- Regelungssystem erforderlich: → künstliche Stabilität
- Gleichgewichtszustand: i.a. stationärer Flugzustand (unbeschleunigter Horizontalflug, Kurvenflug mit konst. Radius)
- Statische Stabilität: Es tritt eine rückführende Kraft (ein rückführendes Moment) nach einer Störung auf → sagt nur aus, dass eine rückführende Kraft auftritt, nicht wie
- Dynamische Stabilität: Beschreibt die Art des Abklingens einer Bewegung nach einer Störung aus dem Gleichgewichtszustand → z.B.: wie schnell klingt eine Schwingung ab
- Natürliche dynamische Stabilität setzt statische Stabilität voraus
- Stabilität alleine genügt nicht für gute Flugeigenschaften. Die Fähigkeit und Eigenschaften des Menschen stellen bestimmte Anforderungen an:

- Frequenz und Dämpfung von Bewegungen
- Kopplungen zwischen Bewegungen



2.1.2 Steuerbarkeit/Führungsverhalten

- **Steuerung** Beeinflussung der Bewegung durch Steuerorgane (Wechseln des Flugzustandes, Manövrieren, Störunterdrückung)
- **Statische Steuerbarkeit** Stationäre Zuordnung von Steueraus Schlag und Bewegung
- **Dynamische Steuerbarkeit** Bewegung bei Steuerbetätigung (Übertragungsverhalten)
- **Primäre Steuerelemente** (Momente, hochfrequent) Höhen-, Quer-, Seitenruder (Bild 2.1)
- **Sekundäre Steuerelemente** (Kräfte, niederfrequent) Schub, Landeklappen, Vorflügel, Luftbremsen (Bild 2.2)
- **Steuerkräfte** Annehmbare Charakteristik (Bild 2.3) Maximalwerte, Minimalwerte, Gradienten
Natürliche Krafterückmeldung, "Künstliches Gefühl"
- Gute Steuerbarkeit und hohe Stabilität sind widersprüchliche Forderungen!

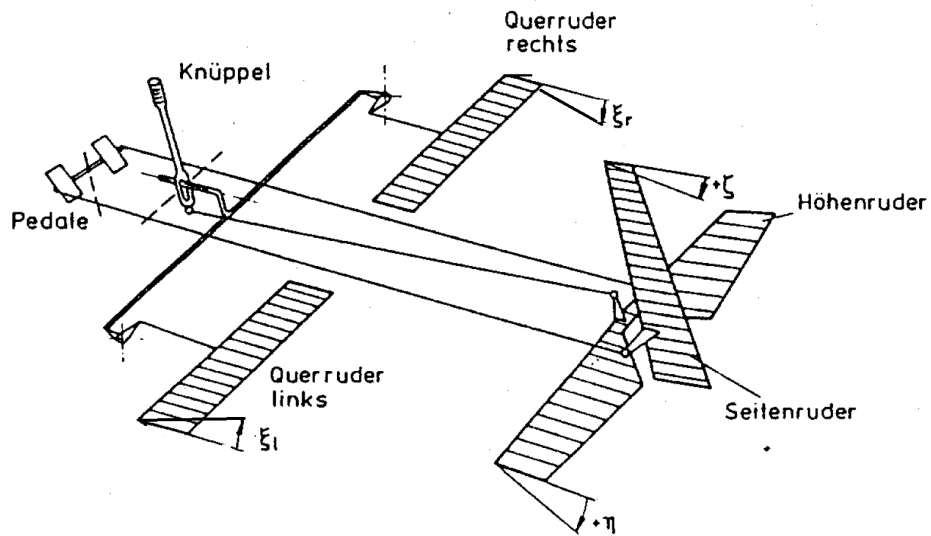


Bild 2.1 Prinzip Flugzeug-Steuerungssystem, Primäre Steuerelemente

- Konvention: positiver Ruderausschlag erzeugt negatives Moment

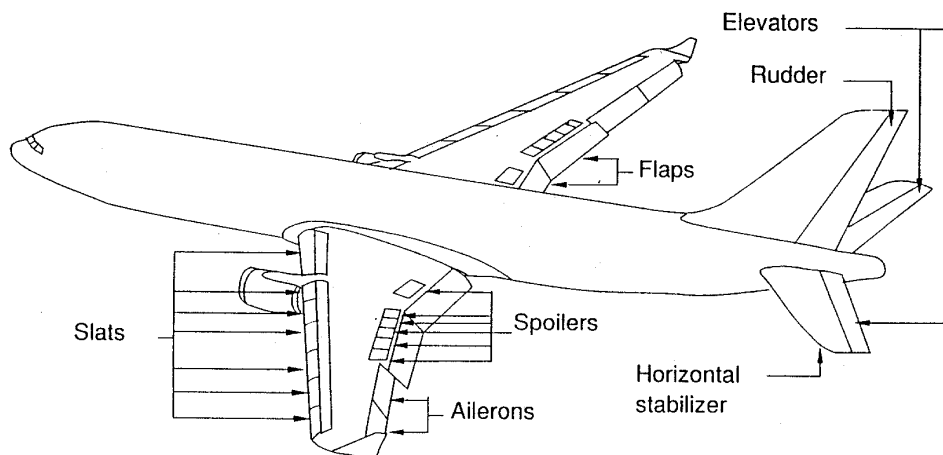


Bild 2.2 Aerodynamische Steuerflächen

- Funktionsweise Spoiler: Wölbung wird größer \rightarrow Widerstand wird größer

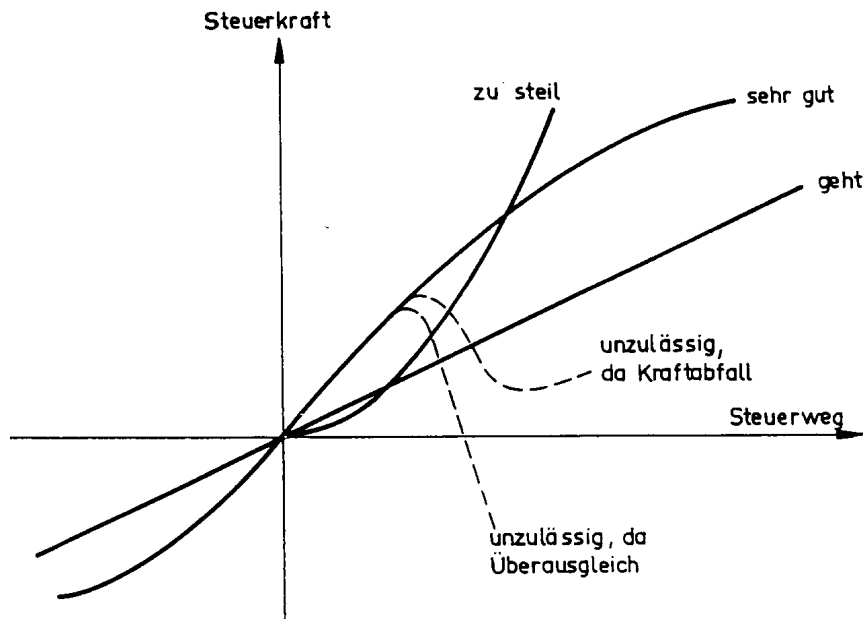


Bild 2.3 Steuerkraft-Steuerwegverlauf, Anforderungen für konventionelle Flugzeuge

- Steuerweg und Steuerkraft sollen grundlegend proportional zueinander sein

2.1.3 Trimmbarkeit

- Trimmung
 - Ausgleich der Gesamtmomente um die einzelnen Achsen durch Verstellen von Flossen und Trimmrudern
 - Steuerkräfte werden durch Trimmung zu Null gemacht (manuelle Trimmung, automatische Trimmung)
 - Ändern von Flugzuständen durch Trimmung (Reiseflug, Landeanflug)
 - Gute Trimmbarkeit: Ausfliegen des gesamten Flugbereichs (Envelope) bei verschiedenen Trimpunkten, je nach Fluglage, Geschwindigkeit, etc.

2.1.4 Störverhalten

- Störverhalten: Bewegungsverhalten bei Störung (z.B. Windböen) Gute Flugeigenschaften: Geringe Auswirkungen von Störungen

2.2 Bezeichnungen

- **Flugzeug:** Starrer Körper (in dieser Vorlesung) mit 6 Freiheitsgraden (3 translatorische, 3 rotatorische; s. Bild 2.4)

- **Bezeichnungen**

Position	$\vec{s} = [x \ y \ z]^T$	Kraft	$\vec{R} = [X \ Y \ Z]^T$
Geschwindigkeit	$\vec{V} = [u \ v \ w]^T$	Moment	$\vec{Q} = [L \ M \ N]^T$
Winkelgeschwindigkeit	$\vec{\Omega} = [p \ q \ r]^T$		
Lagewinkel	$\underline{\phi} = [\phi \ \theta \ \psi]^T$	(Eulerwinkel)	

→ 12 Zustandsgrößen

- **Indizierung**

A aerodynamische Größen
K Bahngrößen
W Windgrößen
F Schubgrößen

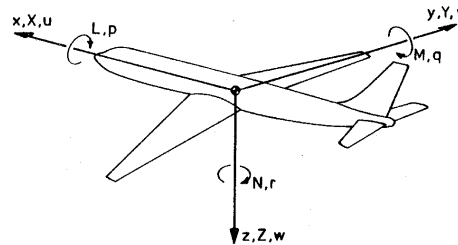


Bild 2.4

2.3 Koordinatensysteme

- unterschiedliche Koordinatensysteme erleichtern das Rechnen mit verschiedenen Kräften
- Kräfte zeigen in Richtung der Achsen
- einfaches Umrechnen mittels Transformationsmatrizen
- Flugmechanische Koordinatensysteme
 - orthogonal, rechtshändig
 - Ursprung meist im Schwerpunkt
 - Bewegung mit dem Flugzeug
- **Geodätisches Koordinatensystem** (Index g)

x_g, y_g : Erd-Horizontalebene
 z_g : Erddlot

→ Gewichtskraft

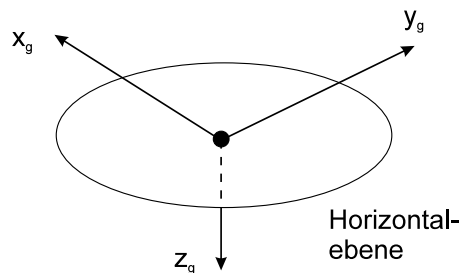


Bild 2.5

- **Körperfestes/Flugzeugfestes Koordinatensystem** (Index: ohne oder f)

x_f, z_f : in der Symmetrieebene

y_f : in Flügelrichtung

→ Schubkraft

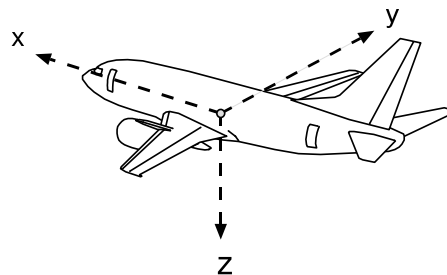


Bild 2.6

- **Flugbahnfestes Koordinatensystem** (Index k)

x_k : in Richtung des Bahngeschwindigkeitsvektors \vec{V}_K

y_k : in der Horizontalebene (nach rechts)

z_k : orthogonal

→ Trägheitskräfte

stationärer Horizontalflug ohne Wind: $(x, y, z)_k = (x, y, z)_a$

- **Aerodynamisches Koordinatensystem** (Index a)

x_a : in Richtung des Fluggeschwindigkeitsvektors \vec{V}

z_a : in der Symmetrieebene

y_a : orthogonal

→ Luftkraft

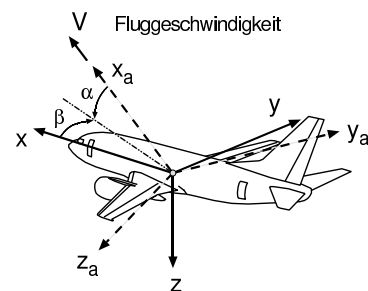


Bild 2.7

- **Experimentelles Koordinatensystem** (Index e)

x_e : Projektion von x_a in x_f, z_f -Ebene

$y_e = y_f$

z_e : orthogonal

→ Luftkraftmomente

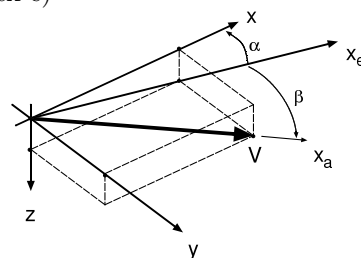
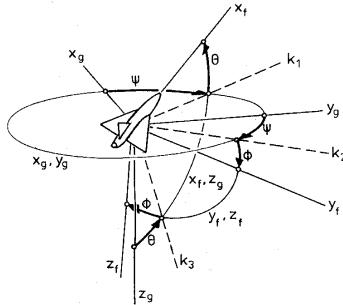


Bild 2.8

2.3.1 Winkeldefinitionen und Transformation

- Lage des Flugzeugs gegenüber der Erde



- ψ Azimut, Gierwinkel, Steuerkurs (heading), Drehachse z_g
- θ Längsneigung, Nickwinkel (pitch angle), Drehachse k_2
- ϕ Hängewinkel, Rollwinkel (bank angle), Drehachse x_f

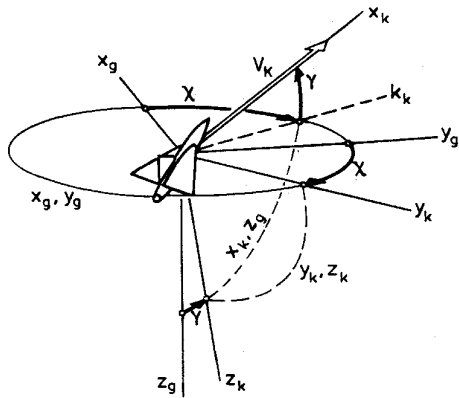
Eulerwinkel
Transformation vom erdloftesten KS (g)
in das flugzeugfeste KS (f)

Bild 2.9

Transformation erdfest \rightarrow flugzeugfest (Drehfolge: ψ, θ, ϕ)

$$\underline{M}_{fg} = \begin{bmatrix} \cos \psi \cos \theta & \sin \psi \cos \theta & -\sin \theta \\ \cos \psi \sin \theta \sin \phi - \sin \psi \cos \phi & \sin \psi \sin \theta \sin \phi + \cos \psi \cos \phi & \cos \theta \sin \phi \\ \cos \psi \sin \theta \cos \phi + \sin \psi \sin \phi & \sin \psi \sin \theta \cos \phi - \cos \psi \sin \phi & \cos \theta \cos \phi \end{bmatrix}$$

- Bahngeschwindigkeitsvektor in erdfesten Koordinaten



- χ Bahnazimut (flight-path azimuth) Drehachse z_g
- γ Bahnneigungswinkel Bahnwinkel (angle of climb) Drehachse y_k

Bild 2.10

Transformation erdfest \rightarrow bahnfest (Drehfolge: χ, γ)

$$\underline{M}_{kg} = \begin{bmatrix} \cos \gamma \cos \chi & \cos \gamma \sin \chi & -\sin \gamma \\ -\sin \chi & \cos \chi & 0 \\ \sin \gamma \cos \chi & \sin \gamma \sin \chi & \cos \gamma \end{bmatrix}$$

- Bahngeschwindigkeitsvektor in flugzeugfesten Koordinaten

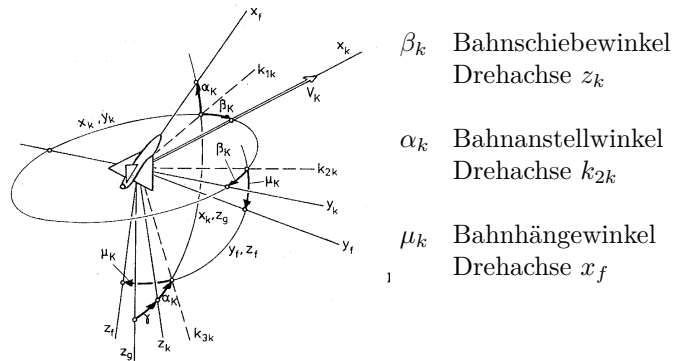


Bild 2.11

Transformation bahnfest \rightarrow flugzeugfest (Drehfolge: $-\beta_k, \alpha_k, \mu_k$)

$$\underline{M}_{fk} = \begin{bmatrix} \cos \beta_k \cos \alpha_k & -\sin \beta_k \cos \alpha_k & -\sin \alpha_k \\ \cos \beta_k \sin \alpha_k \sin \mu_k + \sin \beta_k \cos \mu_k & -\sin \beta_k \sin \alpha_k \sin \mu_k + \cos \beta_k \cos \mu_k & \cos \alpha_k \sin \mu_k \\ \cos \beta_k \sin \alpha_k \cos \mu_k - \sin \beta_k \sin \mu_k & -\sin \beta_k \sin \alpha_k \cos \mu_k - \cos \beta_k \sin \mu_k & \cos \alpha_k \cos \mu_k \end{bmatrix}$$

- Aerodynamische Größen in flugzeugfesten Koordinaten

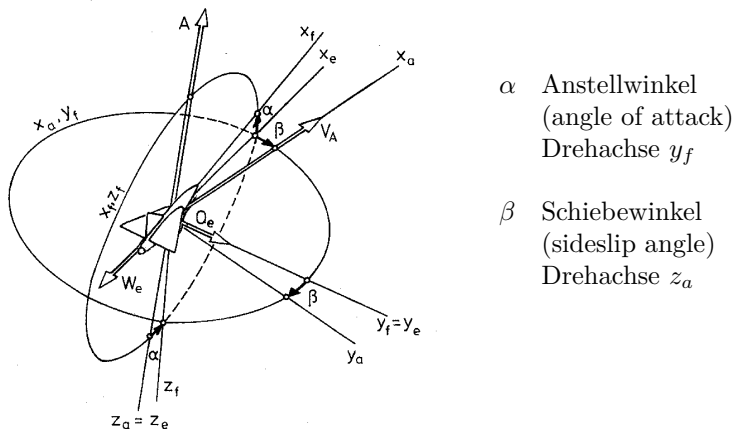


Bild 2.12

Transformation aerodynamisch \rightarrow flugzeugfest (Drehfolge: $-\beta, \alpha$)

$$\underline{M}_{fa} = \begin{bmatrix} \cos \alpha \cos \beta & -\cos \alpha \sin \beta & -\sin \alpha \\ \sin \beta & \cos \beta & 0 \\ \sin \alpha \cos \beta & -\sin \alpha \sin \beta & \cos \alpha \end{bmatrix}$$

2.3.2 Längs- und Seitenbewegung

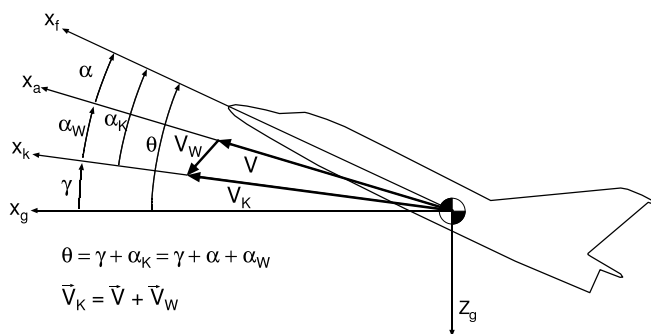
Beschreibung der Flugzeugdynamik durch nichtlineare Differentialgleichungen (s. Kap. 5).

Nicht geschlossen lösbar, Vereinfachungen je nach Aufgabenstellung:

- Betrachtung nur der Kräfte → Flugleistungsuntersuchungen
- Entkopplung → Längs- / Seitenbewegung
schnelle, langsame Vorgänge
- Linearisierung → Beschreibung von kleinen
Abweichungen vom Arbeitspunkt

• Längsbewegung

- Bewegung in der Symmetrieebene mit folgenden Zustandsgrößen: Longitudinale Translation (x, u), vertikale Translation (z, w), Nickbewegung (q, θ)
- Vektor der Fluggeschwindigkeit \vec{V} und Luftkräfte liegen in der Symmetrieebene
- Stationärer Geradeausflug, keine Einflüsse aus unsymmetrischer Bewegung

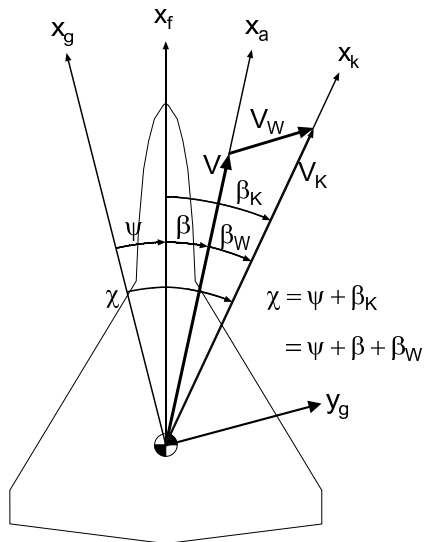


- α Anstellwinkel
- α_W Wind-Anstellwinkel
- α_K Bahn-Anstellwinkel
- γ Bahnwinkel
- θ Längsneigung
- V Fluggeschwindigkeit
- V_W Windgeschwindigkeit
- V_K Bahngeschwindigkeit

Bild 2.13 x_g, z_g -Ebene, $\phi, \beta, \beta_W = 0$)

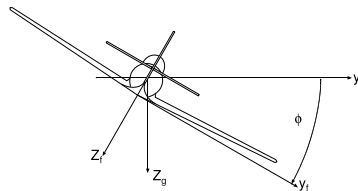
• Seitenbewegung

- Unsymmetrische Bewegung mit folgenden Zustandsgrößen: Laterale Translation (y, v), Rollen (p, ϕ), Gieren (r, ψ)
- Keine Einflüsse aus der symmetrischen Bewegung

Bild 2.14 x_g, y_g -Ebene

$$(\gamma = \theta = 0)$$

- β Schiebewinkel
- β_W Wind-Schiebewinkel
- β_K Bahn-Schiebewinkel
- ψ Azimut
- χ Bahn-Azimut
- ϕ Hängewinkel

Bild 2.15 y_g, z_g -Ebene

2.4 Luftkräfte und Luftkraftmomente

2.4.1 Allgemeines

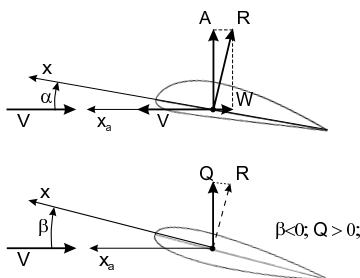


Bild 2.16

Ermittlung / Beschreibung
der Luftkräfte
→ Strömungsmechanik
Aerodynamik

V: Betrag der Flug-
geschwindigkeit (Flugmechanik) =
Betrag der Anström-
geschwindigkeit (Aerodynamik)

Resultierende Luftkraft	$R^A = \frac{\rho}{2} V^2 S C_R$	$\bar{q} = \frac{\rho}{2} V^2$	Staudruck
Auftrieb	$A = \frac{\rho}{2} V^2 S C_A$	S:	Bezugsfläche
Widerstand	$W = \frac{\rho}{2} V^2 S C_W$	C_A :	Beiwert (Formeinfluss)
Querkraft	$Q = \frac{\rho}{2} V^2 S C_Q$		

(Aerodynamisches Koordinatensystem)

Normal-, Tangential-, Seitenkraft (Körperfestes Koordinatensystem)

2.4.2 Auftrieb

Kraft senkrecht zur Anströmung

Haupteinfluss: Anstellwinkel α

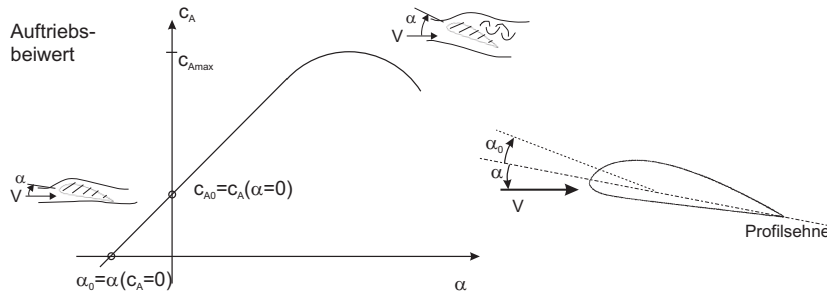
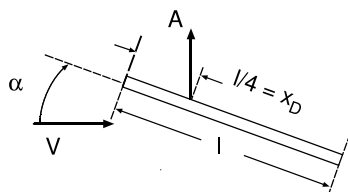


Bild 2.17

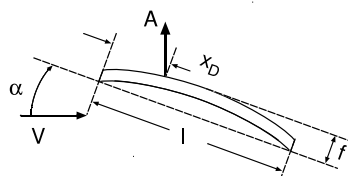
Linearer Bereich $C_A = C_{A0} + \underbrace{\frac{\partial C_A}{\partial \alpha}}_{C_{A\alpha}} \alpha$, $C_A = (\alpha - \alpha_0) \frac{\partial C_A}{\partial \alpha}$

- durch Erhöhung vom Anstellwinkel α erfolgt Zunahme des Auftriebsbeiwertes
- geometrischer Anstellwinkel α_0
- bei hohem Anstellwinkel reißt die Strömung ab
- **Auftriebseigenschaften** einfacher Profile (Skelett- Theorie)
(Zweidimensionale, inkompressible Strömung)



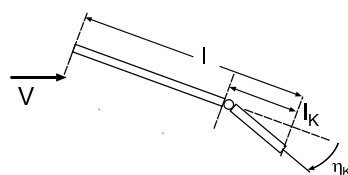
Ebene Platte

$$\begin{aligned} C_{A\alpha} &= 2\pi \\ \alpha_0 &= 0 \\ \frac{x_D}{l} &= \frac{1}{4} \end{aligned}$$



Parabelskelett

$$\begin{aligned} C_{A\alpha} &= 2\pi & C_A(\alpha = 0) &= 4\pi \frac{f}{l} \\ \alpha_0 &= -2\frac{f}{l} \\ \frac{x_D}{l} &= \frac{1}{4} + \frac{\pi \frac{f}{l}}{2\pi(\alpha + \frac{2f}{l})} \end{aligned}$$



Klappenprofil

$$\begin{aligned} C_{A\alpha} &= 2\pi \\ \alpha_0 &= -\frac{2}{\pi} (\arcsin \sqrt{\lambda_K} + \sqrt{\lambda_K(1 - \lambda_K)}) \eta_K \\ \lambda_K &= \frac{l_K}{l} \end{aligned}$$

Bild 2.18

- Einfluss von Wölbung und Klappen

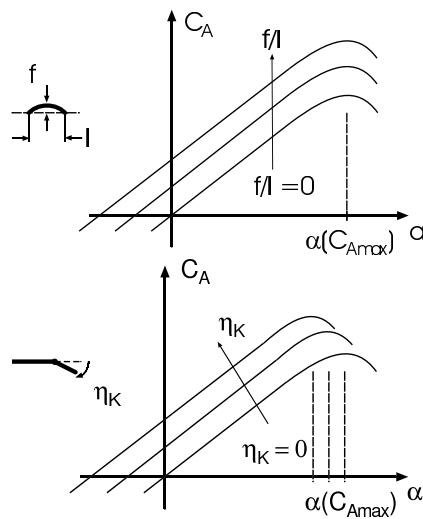


Bild 2.19

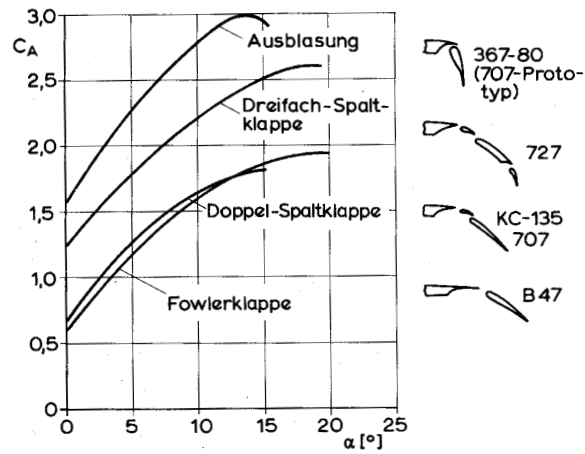


Bild 2.20

- Erhöhung der Wölbung f führt zu größeren maximalen Auftriebsbeiwerten C_{Amax}
- Höhenruderausschlag η_K führt zu größeren C_{Amax} , Strömung reißt jedoch bei kleineren Anstellwinkeln α ab

- Einfluss der Kompressibilität

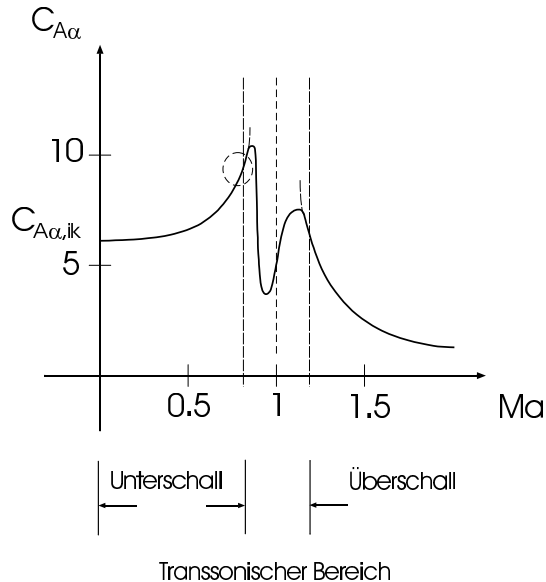


Bild 2.21

Prandtl-Glauert

Ackeret

$$C_{A\alpha} = \frac{C_{A\alpha,ik}}{\sqrt{1-Ma^2}}$$

$$C_{A\alpha} = \frac{4}{\sqrt{Ma^2-1}}$$

Erhöhung der Machzahl:

- $C_{A\alpha}$ wächst an (Unterschall)
- $C_{A\alpha}$ fällt ab (Überschall)

Buffeting:

Rütteln des Flugzeugs durch oszillierende, lokale Abreisserscheinungen im hohen Unterschall

Machzahl: $Ma = \frac{v}{a}$
Strömung mechanisch ähnlich: Ma gleich
 a : Schallgeschwindigkeit

- Einfluss der Streckung

Druckausgleich an Flügelenden

→ Auftriebsreduzierung, Randwirbel

→ Wirbel verursachen induzierte Geschwindigkeiten w_i (Abwind am Flügel)

w_i : – wachsen mit Anstellwinkel

– sinken mit wachsender Streckung

Prandtl (elliptische Auftriebsverteilung)

$$C_{A\alpha} = \frac{C_{A\alpha\infty}}{1 + \frac{C_{A\alpha\infty}}{\pi\Lambda}}$$

$$C_{A\alpha\infty} = C_{A\alpha}(\Lambda = \infty)$$

$$\Lambda = \frac{b^2}{S} \quad \text{Streckung}$$

b: Spannweite

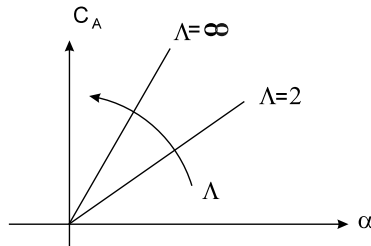


Bild 2.22

- bei unendlicher Streckung Λ theoretisch keine Randwirbel → kein induzierter Widerstand
- je kleiner die Streckung, desto mehr prägen sich die Randwirbel aus → der maximale Auftriebsbeiwert C_{Amax} sinkt

2.4.3 Widerstand

- **Kraft in Strömungsrichtung**

- **Nullwiderstand:** Widerstand bei Null-Auftrieb

- Reibungswiderstand: Schubspannungen von Luft auf umströmten Körper, stark abhängig von der Grenzschicht (Bild 2.23)

- Druckwiderstand: Druckdifferenz zwischen Vorder- und Rückseite des angeströmten Körpers (Bild 2.24)

- Wellenwiderstand: Widerstand bei Nullauftrieb im Überschall (Bild 2.25)

- **Auftriebswiderstand:** Widerstand durch Anstellwinkeländerung

- Profil-Auftriebswiderstand: C_A -abhängiger Widerstandsanteil bei unendlicher Streckung (Bild 2.26)

- Induzierter Widerstand: Widerstand durch endliche Spannweite (Bild 2.27)

- Auftriebswellenwiderstand: Komponente in Strömungsrichtung (Bild 2.28)

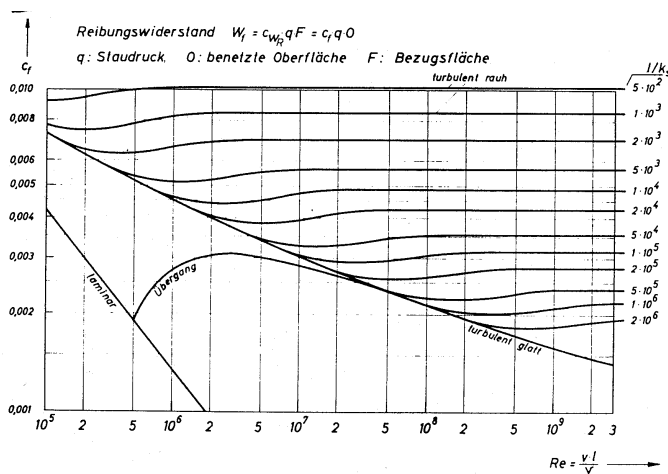


Bild 2.23 Reibungswiderstand, Ebene Platte

$$Re = \frac{V l}{\nu}$$

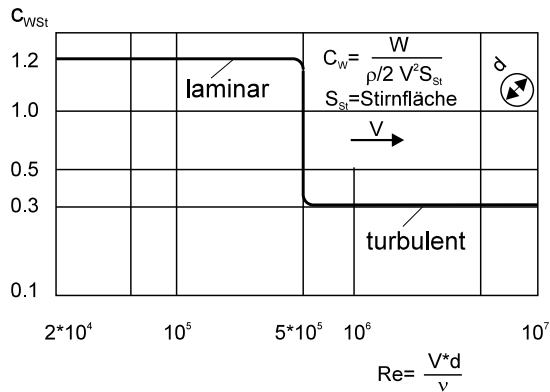
Reynolds-Zahl, charakterisiert Verhältnis von Trägheitskraft zu Reibungskraft

Ähnlichkeitsgesetz für reibungsbehaftete Strömung

ν : kinematische Zähigkeit

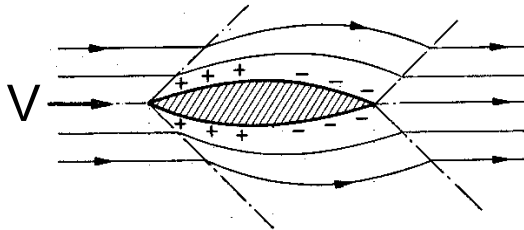
$$\frac{l}{k_s}$$

Relative Rauigkeit



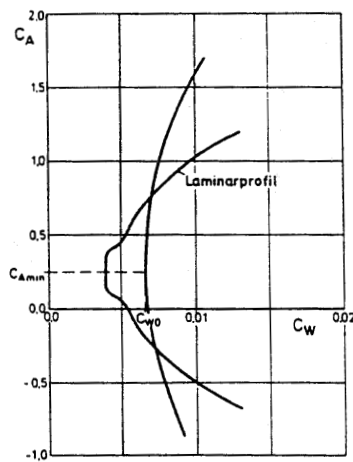
Turbulente Grenzschicht:
Ablösung später,
Totwasser kleiner

Bild 2.24 Druckwiderstand eines Kreiszylinders



Druckänderung hängt
von Steigung der
Kontur ab
→ dünne Profile günstig

Bild 2.25 Wellenwiderstand bei Nullauftrieb



- Zunahme des Profilwiderstands durch Auftriebsänderung
- Vertikale Verschiebung von C_A (C_W) durch Wölbung oder Klappen
- Laminarprofile: "Laminardelle"

Bild 2.26 Auftrieb / Widerstand
(unsymmetrisches Profil,
unendliche Streckung),
Profilpolare

- Laminarprofil

- durch große Dickenrücklage findet ein kontinuierlicher Druckabfall bis etwa $\frac{x}{l} = 0,5$ statt
- erst danach positiver Druckgradient und möglicher Umschlag der Strömung

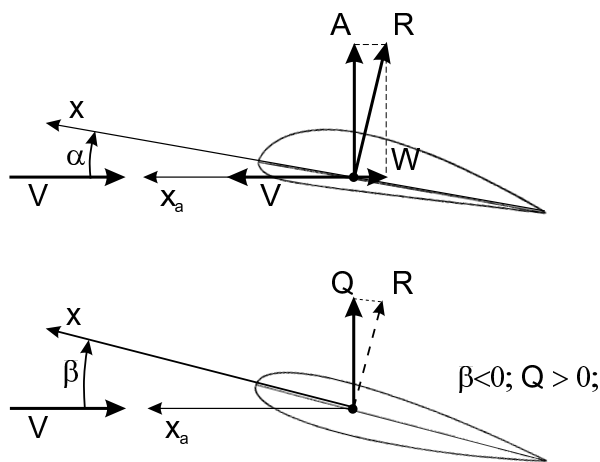


Bild 2.27 Induzierter Widerstand

- Endliche Spannweite:
 - Druckausgleich an Flügelenden
 - Randwirbel
 - Induzierte Geschwindigkeit w_i , induzierter Anstellwinkel $\alpha_i < 0$
 - Wirksam ist der effektive Anstellwinkel
- Induzierter Widerstand W_i :
 - Neigung des Auftriebsvektors durch induzierten Anstellwinkel
 - W_i hängt vom Auftrieb ab
 $C_{wi} = k_i C_A^2$
 (Bei elliptischer Auftriebsverteilung)

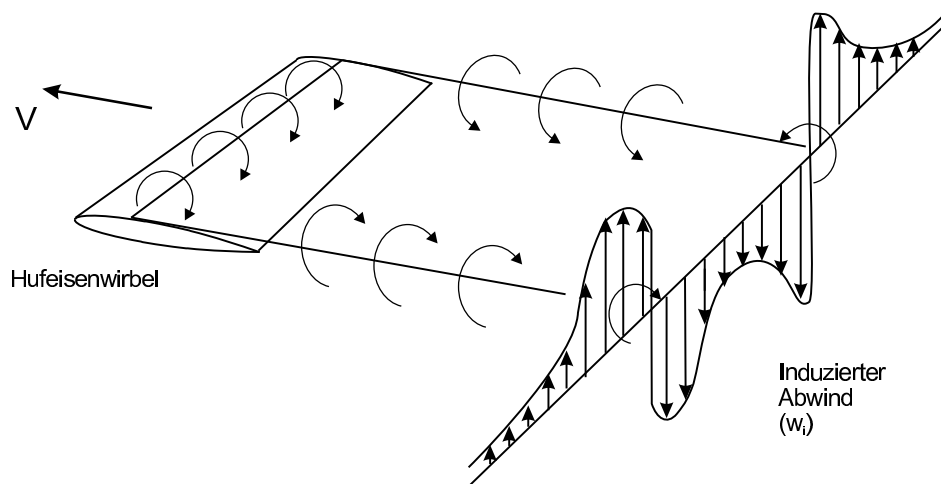


Bild 2.28 Geschwindigkeitsverteilung

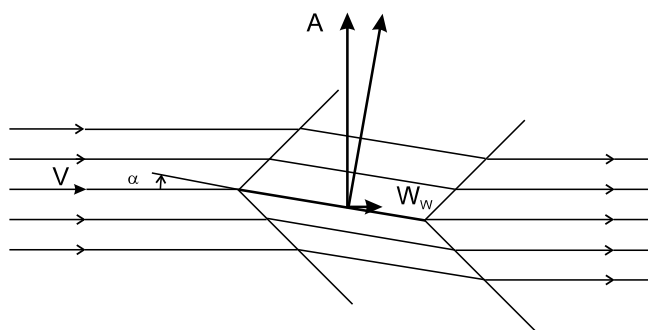


Bild 2.29 Wellenwiderstand durch Auftrieb

Im Überschall:

- Verdichtung Unterseite
- Verdünnung Oberseite

Kraft senkrecht zu Profil
hat Komponente W_W
in Strömungsrichtung

→ Auftriebswellenwiderstand

2.4.4 Druckpunkt

• Druckverteilung

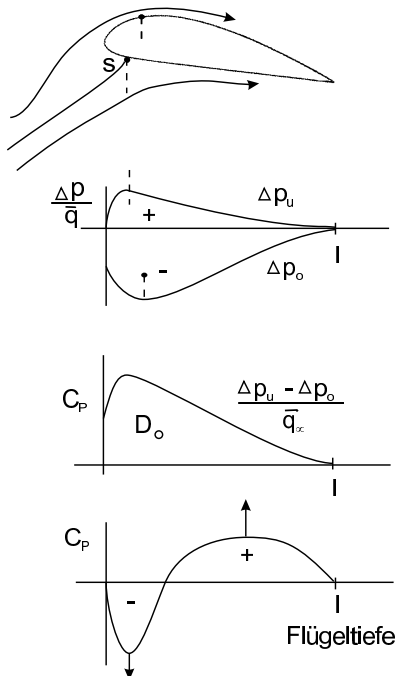


Bild 2.30

„Tragendes“ Profil (positive Wölbung)
S: Staupunkt

Unterseite: Überdruck
Oberseite: Unterdruck
 \bar{q} : Staudruck
 $\Delta p = p - p_\infty$

Druckverteilung für $C_A > 0$
DRUCKPUNKT: Flächenschwerpunkt D

Druckverteilung für $C_A = 0$
führt zu negativem Moment
($C_{m0} < 0$)

• Druckpunkt: Angriffspunkt der Luftkraft

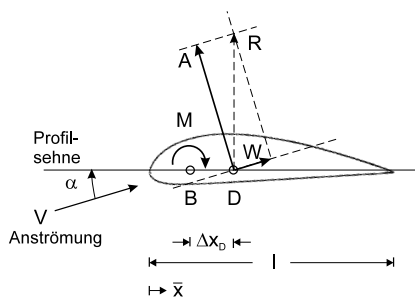


Bild 2.31

Moment um Bezugspunkt B:

$$\begin{aligned} M &= -A \Delta x_D \cos(\alpha) - W \Delta x_D \sin(\alpha) \\ &\approx -A \Delta x_D \quad (\alpha \text{ klein}) \\ A &= \bar{q} S C_A \quad ; \quad \bar{q} = \frac{\rho}{2} V^2 \\ M &= \bar{q} S l C_m \end{aligned}$$

- Moment um D: $M_D = 0$

- Lage von D ändert sich
i. a. mit dem Anstellwinkel
Parabelskelett:

$$\alpha = 0 \quad \bar{x}_D = \frac{l}{2}$$

$$\alpha = \infty \quad \bar{x}_D = \frac{l}{4}$$

- Es gibt druckpunktfeste Profile
(symmetrisch, S-Schlag)

- Bezugspunkt B:

i. a. $\bar{x}_B = \frac{l}{4}$
(Druckpunkt Ebene Platte)

$$\boxed{\frac{\Delta x_D}{l} = -\frac{C_m}{C_A}}$$

Lage des Druckpunktes

(2.1)

2.4.5 Neutralpunkt

Im Neutralpunkt ergibt sich bei einer Auftriebsänderung keine Momentenänderung, jedoch existiert ein Moment $M_0 (= \text{const})$

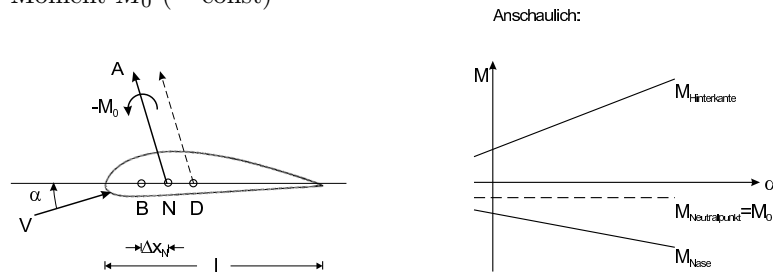


Bild 2.32

Moment um B

$$M = M_0 - A \Delta x_N$$

$$C_m = C_{m0} - C_A \frac{\Delta x_N}{l}$$

$$\boxed{\frac{\Delta x_N}{l} = -\frac{dC_m}{dC_A}} \quad \text{Lage des Neutralpunktes}$$

Skelett-Theorie: Bezugspunkt = Nasenpunkt

$$\hookrightarrow \frac{\Delta x_N}{l} = \frac{1}{4}$$

- Abstand Druckpunkt – Neutralpunkt

$$\frac{\Delta x_D}{l} - \frac{\Delta x_N}{l} = -\frac{C_m}{C_A} + \frac{dC_m}{dC_A}$$

$$\text{mit } C_m = C_{m0} + \frac{dC_m}{dC_A} C_A$$

$$\boxed{\frac{\Delta x_D}{l} - \frac{\Delta x_N}{l} = -\frac{C_{m0}}{C_A}} \quad (2.5-6)$$

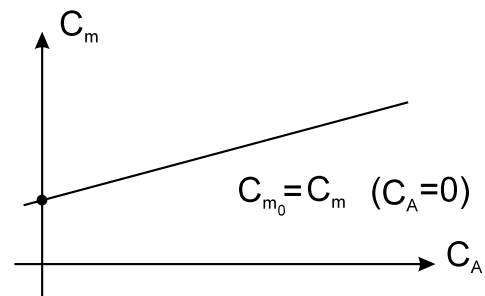


Bild 2.33



Symmetrisches Profil: $C_{m0} = 0$, $\Delta x_D = \Delta x_N$



„Tragendes“ Profil: $C_{m0} < 0$, $\Delta x_D > \Delta x_N$
 $(f > 0 \text{ vgl. (2.5-3)}) \hookrightarrow$ Höhenleitwerk zur
 Stabilisierung erforderlich

Bild 2.34

2.4.6 Gleichgewicht

- Flügel

(kleine Winkel)

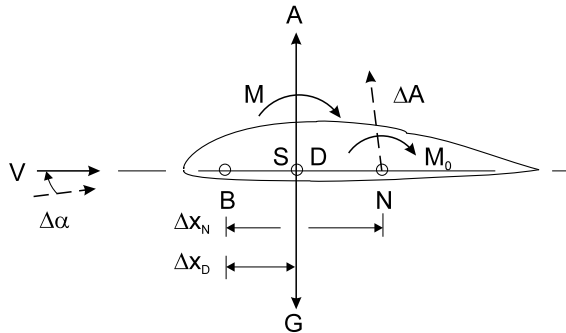
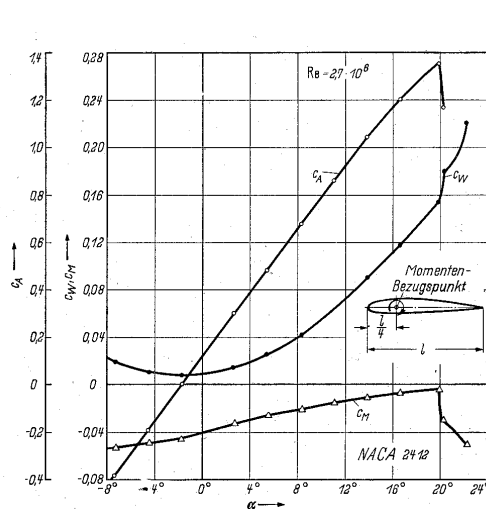


Bild 2.35

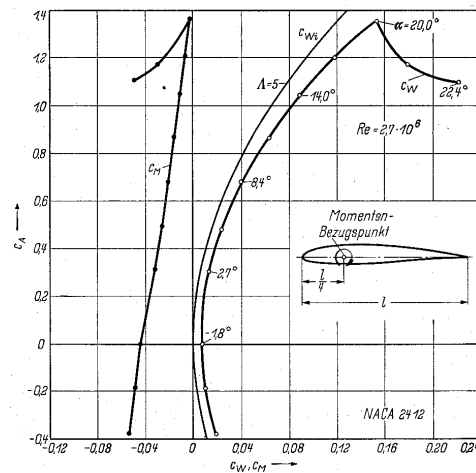
- Gleichgewicht: $A = G$, $M = 0$, $M_0 = A (\Delta x_N - \Delta x_D) > 0$
- Störung $\Delta\alpha$: ΔA : $\Delta M < 0$ (kopflastig) \rightarrow stabil: $\Delta x_N > \Delta x_D$
 $\Delta M > 0$ (schwanzlastig) \rightarrow instabil: $\Delta x_N < \Delta x_D$
- Positiv gewölbte Profile ($\Delta x_N < \Delta x_D$) \rightarrow instabil
- \Rightarrow Voraussetzung für Stabilität:
 $M_0 > 0$
 $\Delta M < 0$
- Auftrieb im Druckpunkt, Gewichtskraft im Schwerpunkt
 - im Gleichgewicht: Schwerpunkt im Druckpunkt

2.4.7 Polare

- Flügelpolare /9/



Beiwerte C_A , C_W , C_m
in Abhängigkeit von α



Polare $C_A(C_W)$, $C_A(C_m)$

$\Lambda = 5$, Rechteckflügel

$Re = 2,7 \cdot 10^6$

$M = 0,15$

Bild 2.36

• Flugzeugpolare

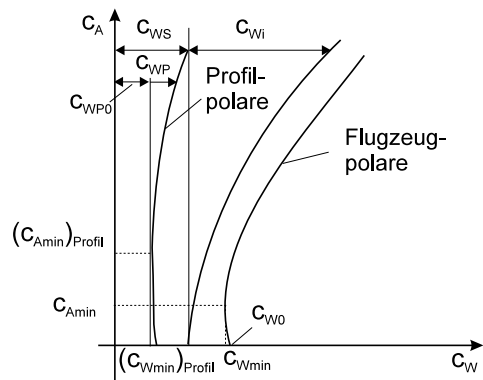


Bild 2.37

$$C_W = C_{Wmin} + k(C_A - C_{Amin})^2$$

C_{WS} : Schädlicher Widerstand
(Rumpf, Triebwerke, Fahrwerk, ...)

- Flugzeugpolare Unterschall-Verkehrsflugzeug

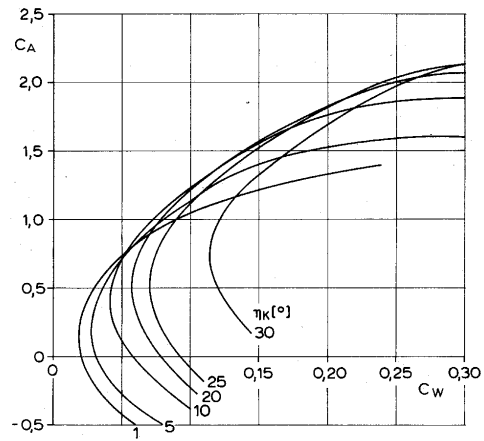


Bild 2.38 Einfluß der Klappenstellung

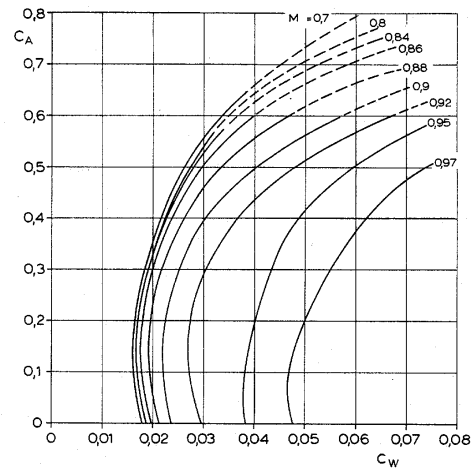


Bild 2.39 Einfluß der Machzahl

3 Stationäre Längsbewegung

3.1 Luftkräfte

Statische Betrachtung → Gleichgewichtszustände
Dynamische Betrachtung → Bewegungsvorgänge

- Längsbewegung:
 - stationärer Geradeausflug
 - Anströmung und Kräfte liegen in der Symmetrieebene

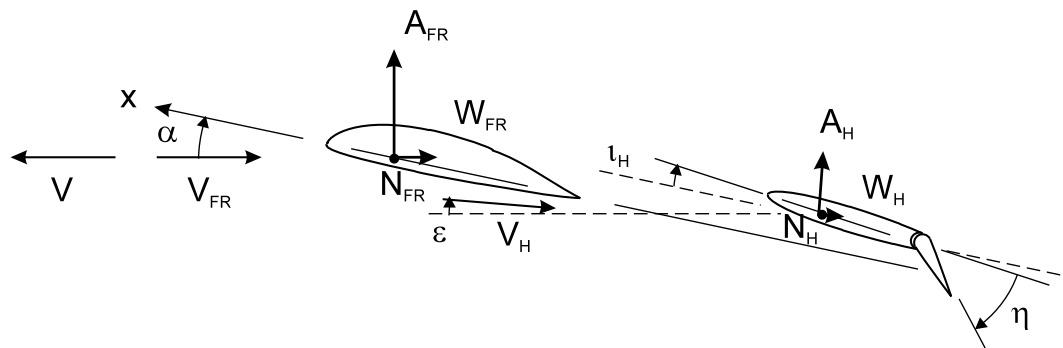


Bild 3.1

- Flügel beeinflusst Strömung → $\alpha_{FR} \neq \alpha_H = \alpha - \varepsilon + i_H \rightarrow V_{FR} \neq V_H$

x : Flugzeugfestes Koordinatensystem, Nullauftriebsrichtung Flügel-Rumpf

VORSICHT: Definition α anders als bei Flügel (Kap.)

- **Flügel-Rumpf (FR)** Betrachtung der Kombination FR
 - Anströmgeschwindigkeit V_{FR} , Fluggeschwindigkeit V
 - Anstellwinkel α : Winkel zur Nullauftriebsrichtung FR
 - Auftrieb: $A_{FR} = C_{AFR} \bar{q} S$ A_{FR} entspricht etwa dem Auftrieb des im Rumpfbereich fortgesetzt gedachten Flügels.
 - Widerstand: $W_{FR} = C_{WFR} \bar{q} S$
 - Staudruck: $\bar{q} = \frac{\rho}{2} V^2$
 - Bezugsfläche S : Flügelfläche incl. Rumpf-Zwischenteil
 - Auftriebsbeiwert:

$$(C_A)_{FR} = C_{AFR} = \frac{\partial(C_A)_{FR}}{\partial\alpha} \alpha = (C_{A\alpha})_{FR} \alpha \quad (3.1)$$

(Linearer Ansatz)

• Höhenleitwerk (H)

- Anströmgeschwindigkeit V_H
(durch Interferenz gegenüber V_{FR} geändert)
- Anstellwinkel α_H
(durch Abwind geg. α verändert)
- Abwindwinkel ε
- Einstellwinkel i_H
- ε anstellwinkelabhängig

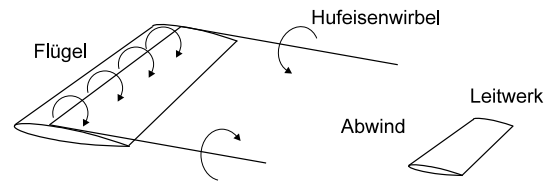


Bild 3.2

$$\alpha_H = \alpha - \varepsilon + i_H = \left(1 - \frac{\partial \varepsilon}{\partial \alpha}\right) \alpha - \varepsilon_0 + i_H \quad (3.2)$$

Bei Höhenruderausschlag: Effektiver Einstellwinkel

$$i_H^* = i_H + \frac{\partial \alpha_H}{\partial \eta} \eta$$

$$\hookrightarrow \alpha_H = \left(1 - \frac{\partial \varepsilon}{\partial \alpha}\right) \alpha - \varepsilon_0 + i_H^*$$

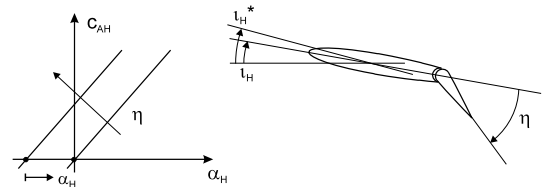


Bild 3.3

- Auftrieb $A_H = C_{AH} \overline{q}_H S_H \quad C_{AH} = \frac{\partial C_{AH}}{\partial \alpha_H} \alpha_H = C_{AH\alpha_H} \alpha_H$
- Widerstand $W_H = C_{WH} \overline{q}_H S_H$
- Höhenleitwerksfläche S_H
- Staudruck $\overline{q}_H = \frac{\rho}{2} V_H^2$

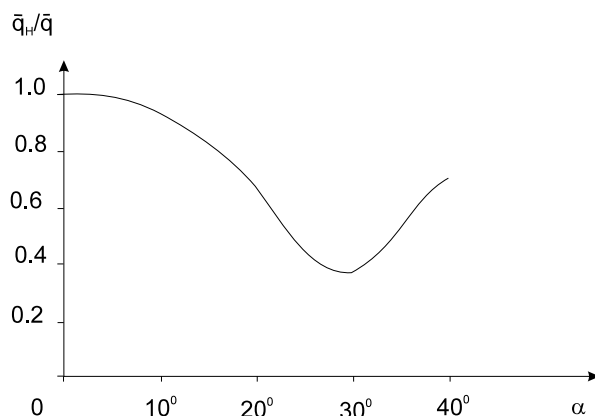


Bild 3.4 Staudruckverhältnis am Ort des Höhenleitwerkes

- Staudruckverhältnis am Ort des Höhenleitwerkes

- **Gesamtauftrieb**

$$A = A_{FR} + A_H \cos \varepsilon - W_H \sin \varepsilon$$

$$W_H \sin \varepsilon \ll A_H ; \cos \varepsilon \approx 1$$

$$\hookrightarrow A = A_{FR} + A_H$$

- **Gesamtauftrieb setzt sich aus A_{FR} und A_H zusammen**

Gesamtbeiwert

Schreibweise: Anteile am Gesamtwert des Flugz.

$$C_A = C_{AFR} + \frac{\overline{q}_H S_H}{\overline{q} S} C_{AH} = \downarrow (C_A)_{FR} + \downarrow (C_A)_H$$

$$C_A = \underbrace{\left[(C_{A\alpha})_{FR} + \left(1 - \frac{\partial \varepsilon}{\partial \alpha}\right) \frac{\overline{q}_H S_H}{\overline{q} S} C_{AH\alpha H} \right]}_{\underbrace{(C_{A\alpha})_{FR} + (C_{A\alpha})_H}_{C_{A\alpha}}} \alpha + \underbrace{\frac{\overline{q}_H S_H}{\overline{q} S} C_{AH\alpha H} (i_H^* - \varepsilon_0)}_{C_{A,\alpha=0}} \quad (3.3)$$

$$C_A = C_{A,\alpha=0} + C_{A\alpha} \alpha \quad \text{oder} \quad C_A = C_{A\alpha} \alpha_{eff} \quad , \quad \alpha_{eff} = \alpha - \alpha_{CA=0}$$

- **Auftriebsbeiwert**

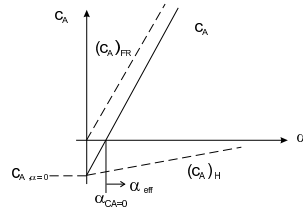


Bild 3.5

$$\text{aus (3.3)} \quad \alpha_{CA=0} = - \frac{C_{AH\alpha H}}{C_{A\alpha}} \frac{\overline{q}_H S_H}{\overline{q} S} (i_H^* - \varepsilon_0)$$

- **Zusammenhänge:**

$$\text{Gesamt } C_A : C_A = (C_A)_{FR} + (C_A)_H$$

$$H - \text{Anteil} : (C_A)_H = \frac{A_H}{\overline{q} S} = \frac{A_H}{\overline{q}_H S_H} \frac{\overline{q}_H S_H}{\overline{q} S} = C_{AH} \frac{\overline{q}_H S_H}{\overline{q} S} ; C_{AH} : C_A \text{ für H}$$

$$C_{A\alpha} \text{ für H-Anteil: } (C_{A\alpha})_H = \frac{\partial (C_A)_H}{\partial \alpha} = \frac{\partial C_{AH}}{\partial \alpha} \frac{\overline{q}_H S_H}{\overline{q} S} = \frac{\partial C_{AH}}{\partial \alpha_H} \frac{\partial \alpha_H}{\partial \alpha} \frac{\overline{q}_H S_H}{\overline{q} S} \quad (3.4)$$

$$= C_{AH\alpha H} \left(1 - \frac{\partial \varepsilon}{\partial \alpha}\right) \frac{\overline{q}_H S_H}{\overline{q} S}$$

3.2 Nickmomente

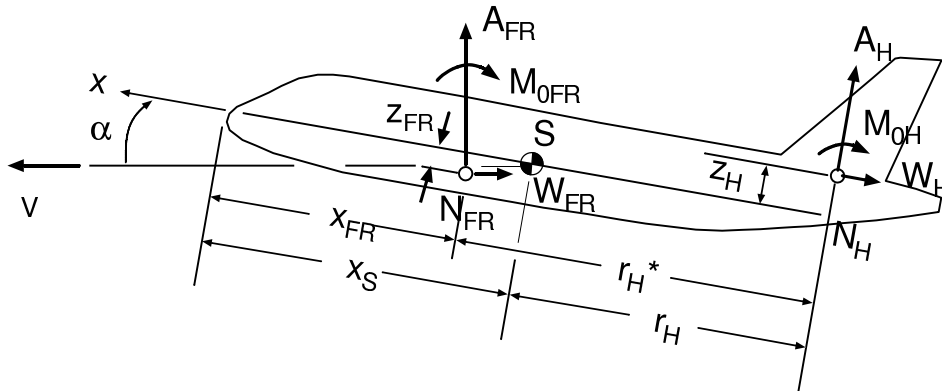


Bild 3.6

Nickmoment um Schwerpunkt:

$$M = M_{FR} + M_H$$

$$M_{FR} = M_{0FR} + (A_{FR} \cos \alpha + W_{FR} \sin \alpha)(x_S - x_{FR}) + (A_{FR} \sin \alpha - W_{FR} \cos \alpha)z_{FR}$$

$$M_H = -[A_H \cos(\alpha - \varepsilon) + W_H \sin(\alpha - \varepsilon)]r_H + [-A_H \sin(\alpha - \varepsilon) + W_H \cos(\alpha - \varepsilon)]z_H + M_{0H}$$

$$\left. \begin{array}{l} M_{0FR} : \text{Nullmoment Flügel-Rumpf} \\ N_{FR} : \text{Neutralpunkt Flügel-Rumpf} \end{array} \right\} \text{fest für gegebene Konfiguration}$$

• Vereinfachungen

- M_{0H} wird vernachlässigt (meist: $M_{0H} = 0$, symm. Profil)
- Einfluss Hoch-/Tieflagen z_{FR} , z_H gering
- Anstellwinkel α klein
- W_{FR} , W_H - Anteile klein

damit

$$M = M_{0FR} + A_{FR}(x_S - x_{FR}) - A_H r_H \quad (3.5)$$

Umformung

$$A = A_{FR} + A_H \quad (3.6)$$

$$M = M_{0FR} + (A - A_H)(x_S - x_{FR}) - A_H r_H$$

$$= M_{0FR} + A(x_S - x_{FR}) - A_H(x_S - x_{FR} + r_H)$$

$$= \underbrace{M_{0FR} + A(x_S - x_{FR})}_{\text{Leitwerksmoment, unabhängig von Schwerpunktlage}} - \underbrace{A_H(x_S - x_{FR} + r_H)}_{r_H^*} = -(M_{0FR} - A_H r_H^*)$$

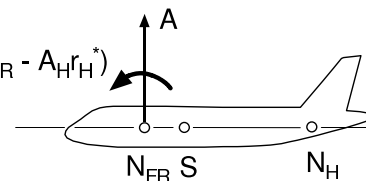


Bild 3.7

- **Beiwert-Schreibweise**

$$M = C_m \bar{q} S l_\mu$$

Bezugs-Flügeltiefe

$$l_\mu = \frac{1}{S} \int_{-\frac{b}{2}}^{\frac{b}{2}} l^2(y) dy \quad b: \text{Spannweite} \quad (3.7)$$

Momente

$$C_m = \underbrace{(C_{m0})_{FR} - \frac{r_H^*}{l_\mu} \frac{\bar{q}_H}{\bar{q}} \frac{S_H}{S} C_{AH}}_{\text{unabhängig von Schwerpunktlage}} + \underbrace{\frac{x_S - x_{FR}}{l_\mu} C_A}_{\text{abhängig}} \quad (3.8)$$

Abkürzung:

$$V_H^* = \frac{r_H^*}{l_\mu} \frac{\bar{q}_H}{\bar{q}} \frac{S_H}{S} \quad (\text{Leitwerksfaktor}) \quad (3.9)$$

enthält geometrische Entwurfparameter

Wenn A_{FR} nicht durch A ersetzt wird ist

$$C_m = (C_{m0})_{FR} - \frac{r_H}{l_\mu} \frac{\bar{q}_H}{\bar{q}} \frac{S_H}{S} C_{AH} + \frac{x_S - x_{FR}}{l_\mu} (C_A)_{FR} \quad (3.10)$$

- **Nullmoment** ($C_A = 0$), gesamt

$$\begin{aligned} C_{m0} &= (C_{m0})_{FR} - \frac{r_H^*}{l_\mu} \frac{\bar{q}_H}{\bar{q}} \frac{S_H}{S} C_{AH, CA=0} \\ &= (C_{m0})_{FR} - \frac{r_H^*}{l_\mu} (C_A)_{H, CA=0} \end{aligned} \quad (3.11)$$

$$\text{Es war} \quad C_{AH} = C_{AH\alpha H} \alpha_H = C_{AH\alpha H} \left[\left(1 - \frac{\partial \varepsilon}{\partial \alpha} \right) \alpha - \varepsilon_0 + i_H^* \right] \quad (3.12)$$

$$\text{damit ist} \quad C_{AH, CA=0} = C_{AH\alpha H} \left[\left(1 - \frac{\partial \varepsilon}{\partial \alpha} \right) \alpha_{CA=0} - \varepsilon_0 + i_H^* \right]$$

$$\text{und mit} \quad \alpha_{CA=0} = -\frac{C_{AH\alpha H}}{C_{A\alpha}} \frac{\bar{q}_H}{\bar{q}} \frac{S_H}{S} (i_H^* - \varepsilon_0)$$

$$\text{wird (3.12)} \quad C_{m0} = (C_{m0})_{FR} - C_{AH\alpha H} V_H^* \left\{ 1 - \frac{C_{AH\alpha H}}{C_{A\alpha}} \frac{\bar{q}_H}{\bar{q}} \frac{S_H}{S} \left(1 - \frac{\partial \varepsilon}{\partial \alpha} \right) \right\} (i_H^* - \varepsilon_0)$$

$$\underbrace{\frac{(C_{A\alpha})_H}{C_{A\alpha}}}_{\frac{(C_{A\alpha})_{FR}}{C_{A\alpha}}} \quad (\text{vgl. Gl. 3.3})$$

- **Momentenänderung** aus (3.8):

$$C_{m\alpha} = \frac{\partial C_m}{\partial \alpha} = -V_H^* \frac{\partial C_{AH}}{\partial \alpha} + \frac{x_S - x_{FR}}{l_\mu} \frac{\partial C_A}{\partial \alpha}$$

mit

$$C_{AH} = C_{AH\alpha H} \alpha_H = C_{AH\alpha H} \left[\left(1 - \frac{\partial \varepsilon}{\partial \alpha} \right) \alpha - \varepsilon_0 + i_H^* \right]$$

$$\frac{\partial C_{AH}}{\partial \alpha} = C_{AH\alpha H} \left(1 - \frac{\partial \varepsilon}{\partial \alpha} \right)$$

wird

$$C_{m\alpha} = C_{A\alpha} \left[\frac{x_S - x_{FR}}{l_\mu} - \left(1 - \frac{\partial \varepsilon}{\partial \alpha} \right) \frac{C_{AH\alpha H}}{C_{A\alpha}} V_H^* \right] \quad (3.13)$$

oder wenn A_{FR} nicht durch A ersetzt wird (vergl. 3.5)

$$C_{m\alpha} = (C_{A\alpha})_{FR} \frac{x_N - x_{FR}}{l_\mu} - \left(1 - \frac{\partial \varepsilon}{\partial \alpha} \right) C_{AH\alpha H} \underbrace{\frac{\overline{q}_H S_H r_H}{\overline{q} S l_\mu}}_{\overline{V}_H} \quad (3.14)$$

3.3 Statische Längsstabilität

3.3.1 Statische Stabilität bei festem Ruder

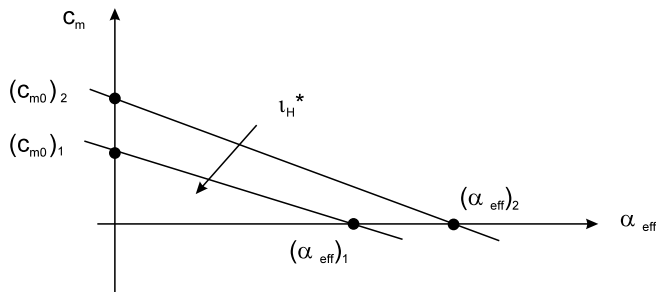
Höhenruderausschlag $\eta = \text{const}$, z. B. durch Stellmotor

Stationärer Flug:

$$C_m = C_{m0} + C_{m\alpha} \alpha_{eff} = 0 \quad (3.15)$$

$$i_H^* = i_{H0} + \frac{\partial \alpha_H}{\partial \eta} \eta$$

$$C_A = C_{A\alpha} \alpha_{eff}$$



Trimzustand: $i_{H2}^* < i_{H1}^*$
(Effektiver Einstellwinkel)

Bild 3.8

- Momentengleichgewicht

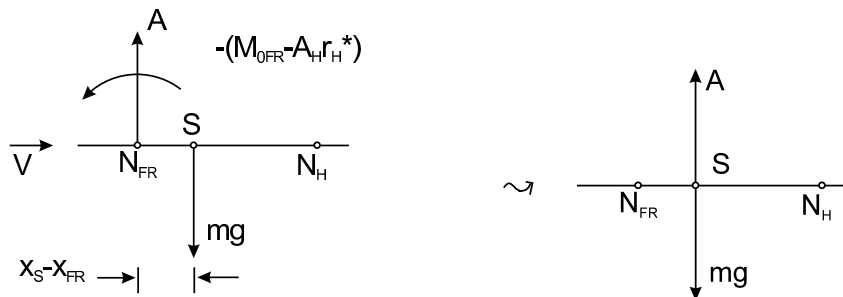


Bild 3.9

- Störung des Gleichgewichts

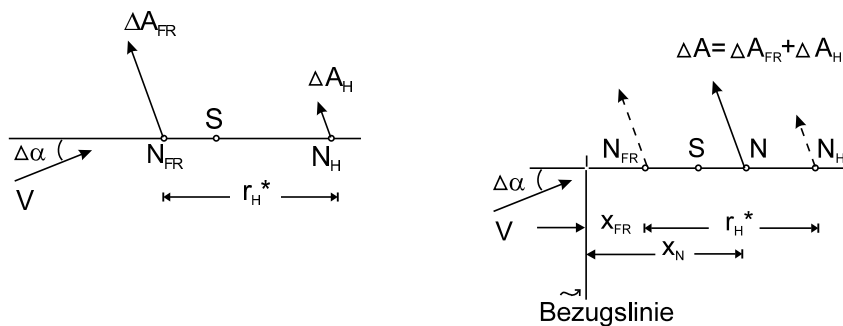


Bild 3.10

- Lage des Flugzeugneutralpunkts

$$\Delta A = \Delta A_{FR} + \Delta A_H$$

$$\Delta A_{FR} (x_N - x_{FR}) - \Delta A_H [r_H^* - (x_N - x_{FR})] = 0$$

= 0 da keine Momentenänderung im Neutralpunkt

$$\hookrightarrow x_N - x_{FR} = \frac{\Delta A_H}{\Delta A} r_H^*$$

$$\text{mit } \Delta A = \bar{q} S C_{A\alpha} \Delta \alpha$$

$$\Delta A_H = \left(1 - \frac{\partial \varepsilon}{\partial \alpha}\right) \bar{q} H S_H C_{AH\alpha H} \Delta \alpha \quad ; \quad V_H^* = \frac{r_H^*}{l_\mu} \frac{\bar{q} H}{\bar{q}} \frac{S_H}{S}$$

$$\text{wird } \boxed{\frac{x_N - x_{FR}}{l_\mu} = \left(1 - \frac{\partial \varepsilon}{\partial \alpha}\right) \frac{C_{AH\alpha H}}{C_{A\alpha}} V_H^*} \quad \text{Lage des Neutralpunkts} \quad (3.16)$$

Gleiches Ergebnis für $C_{m\alpha} = 0$ (Gl. (3.13))

- Statische Stabilität

- Schwerpunkt vor Neutralpunkt
Rückführendes Moment \longrightarrow statisch stabil
- Schwerpunkt im Neutralpunkt
Kein Moment \longrightarrow indifferent ("neutral stabil")
- Schwerpunkt hinter Neutralpunkt
Middrehendes Moment \longrightarrow statisch instabil

• Bedingung für statische Stabilität

Störmoment $\Delta M = -(x_N - x_S) \Delta A$

mit $\Delta M = \bar{q} S l_\mu C_{m\alpha} \Delta\alpha$; $\Delta A = \bar{q} S C_{A\alpha} \Delta\alpha$

ist $C_{m\alpha} = -\frac{x_N - x_S}{l_\mu} C_{A\alpha}$ (3.17)

wird $\frac{\partial C_m}{\partial C_A} = -\frac{x_N - x_S}{l_\mu}$

d. h. $\frac{\partial C_m}{\partial C_A} < 0$ oder $C_{m\alpha} < 0$

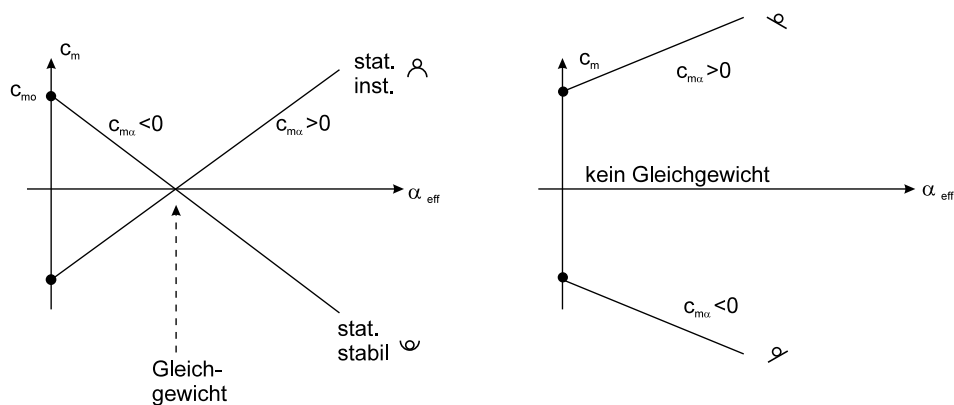


Bild 3.11 (vgl. Bild (57))

$$\begin{array}{l} C_{m0} > 0 \\ C_{m\alpha} < 0 \end{array}$$

Bedingung für statische Stabilität

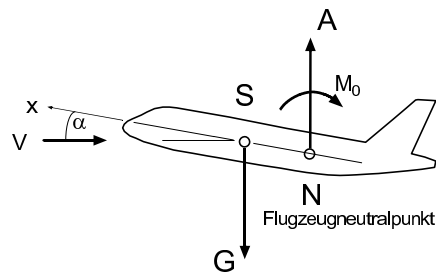
- Aufnicken bewirkt Anstellwinkelzunahme

→ C_m sinkt

→ rückführendes Moment in Richtung der Gleichgewichtslage

- Zusammenfassung**

- Gleichgewicht

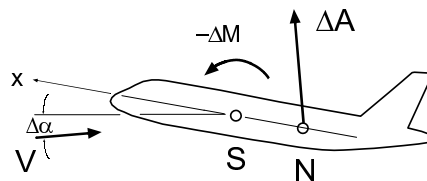


$$M_S = 0$$

$$M_0 > 0$$

Bild 3.12

- Störung $\Delta\alpha$



$$\frac{\partial M}{\partial \alpha} < 0$$

Bild 3.13

Störung erzeugt rückdrehendes Moment

↔ **Statische Stabilität**

3.3.2 Einflussgrößen

Auf die Neutralpunktlage bzw. die statische Stabilität. Es war (3.16)

$$\frac{x_N}{l_\mu} = \frac{x_{FR}}{l_\mu} + \underbrace{\left(1 - \frac{\partial \varepsilon}{\partial \alpha}\right) \frac{C_{AH\alpha H}}{C_{A\alpha}} \frac{r_H^*}{l_\mu} \frac{\overline{q_H}}{\overline{q}} \frac{S_H}{S}}_{\text{Neutralpunktverschiebung durch Höhenleitwerk}}$$

Neutralpunktlage
Flugzeug

Neutralpunktlage
Flügel/Rumpf

Neutralpunktverschiebung
durch Höhenleitwerk

- Neutralpunktverschiebung Flügel**

Verschiebung des Flügelneutralpunkts relativ zu geometrischem Neutralpunkt Geometrischer Neutralpunkt: Bezugspunkt, abhängig von Flügelgeometrie, Definition:

$$x_{N25} = \frac{1}{S} \int_{-\frac{b}{2}}^{\frac{b}{2}} l(y) x_{25}(y) dy \quad y_{N25} = 0$$

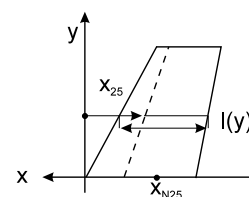


Bild 3.14

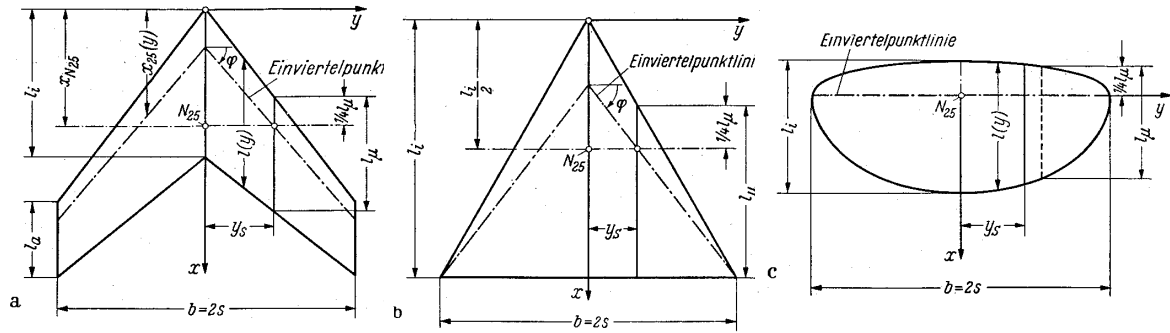


Bild 3.15 Geometrischer Neutralpunkt /9/

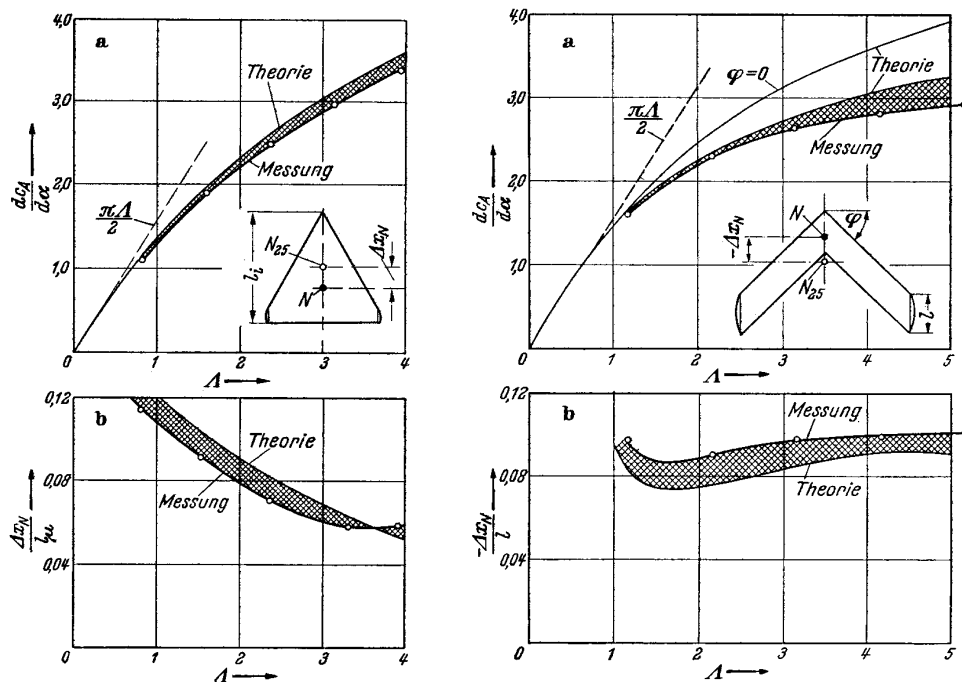


Bild 3.16 Einfluss der Streckung auf die Neutralpunktlage /9/

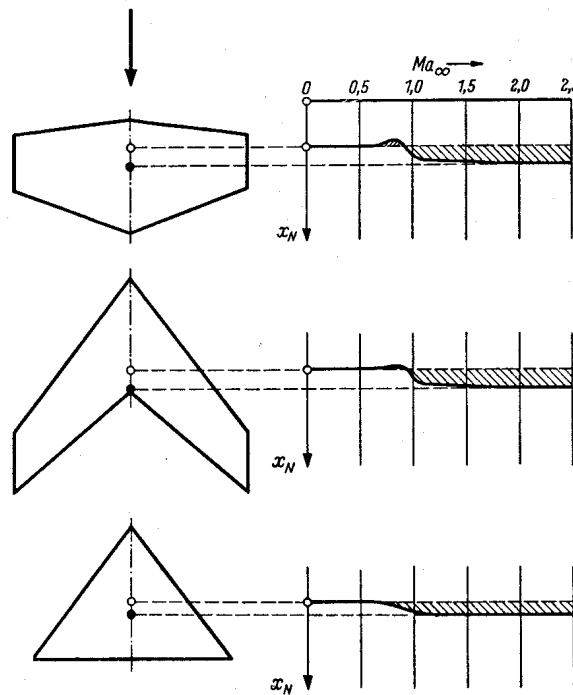


Bild 3.17 Einfluss der Machzahl auf die Neutralpunktlage
Im Überschall (bzw. ab Ma_{krit}) → andere Strömungsphysik (z.B. Stöße) und somit andere Druckverteilung

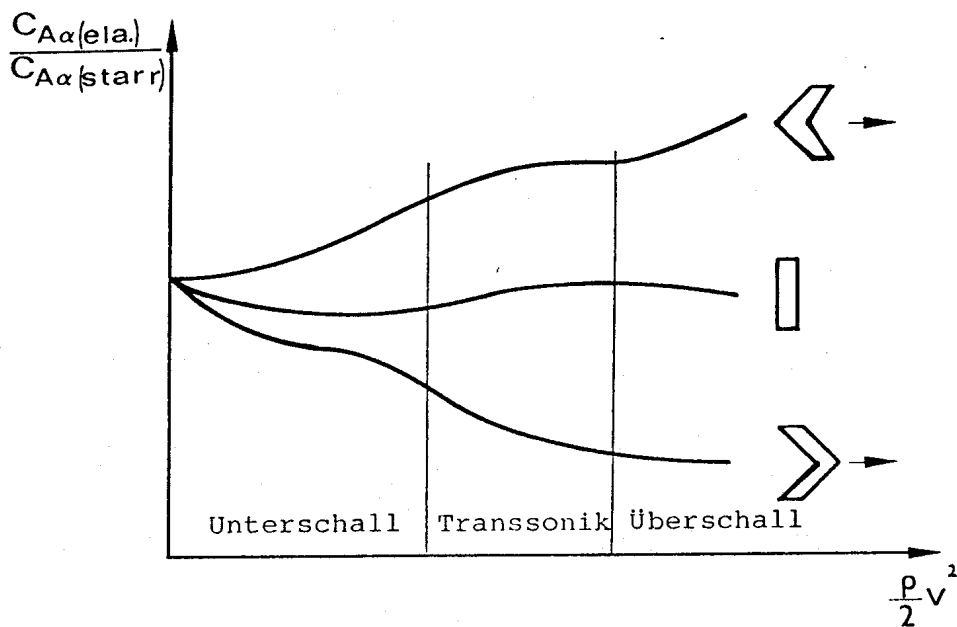


Bild 3.18 Einfluss der Aeroelastizität auf $C_{A\alpha}$

3.3.3 Höhenleitwerksauslegung

Anforderungen:*)

1. Statische Stabilität: Schwerpunkt vor Neutralpunkt
2. Nickmomentenausgleich bei vorderster Schwerpunktlage

1. Stabilitätsgrenze: $x_N = x_S$ (vgl. (3.14))

$$C_{m\alpha} = 0 = (C_{A\alpha})_{FR} \frac{x_N - x_{FR}}{l_\mu} - \underbrace{\left(1 - \frac{\partial \varepsilon}{\partial \alpha}\right) C_{AH\alpha H} \frac{\bar{q}_H S_H r_H}{\bar{q} S l_\mu}}_{(C_{A\alpha})_H \frac{r_H}{l_\mu}}$$

$$r_H = r_H^* - (x_S - x_{FR}) = r_H^* - (x_N - x_{FR})$$

$$\left. \frac{S_H}{S} \right|_{C_{m\alpha}=0} = \frac{\frac{(C_{A\alpha})_{FR}}{C_{AH\alpha H}}}{\left(1 - \frac{\partial \varepsilon}{\partial \alpha}\right) \frac{\bar{q}_H}{\bar{q}}} \frac{(x_N - x_{FR}) \frac{1}{r_H^*}}{1 - (x_N - x_{FR}) \frac{1}{r_H^*}} \quad (3.18)$$

*) zusätzlich: Flugleistungs-Gesichtspunkte

2. Steuerbarkeitsgrenze: (vgl. (3.10))

$$C_m = 0 = (C_{m0})_{FR} + (C_A)_{FR} \frac{x_S - x_{FR}}{l_\mu} - C_{AH} \frac{\bar{q}_H S_H r_H}{\bar{q} S l_\mu}$$

$$\hookrightarrow \left. \frac{S_H}{S} \right|_{C_m=0} = \frac{(C_A)_{FR}}{C_{AH}} \frac{\bar{q}}{\bar{q}_H} \frac{x_S - x_{FR} + l_\mu \frac{(C_{m0})_{FR}}{(C_A)_{FR}}}{r_H^* - (x_S - x_{FR})} \quad (3.19)$$

Auftriebsbereich Leitwerk $C_{AH,min} \leq C_{AH} \leq C_{AH,max}$

Kritischer Fall:

- vordere Schwerpunktlage x_{SV}
- $C_{AH,min}$; unterer Extremwert Höhenleitwerksauftrieb
- $(C_A)_{FR,max}$; Hochauftriebskonfiguration

$$\hookrightarrow \left. \frac{S_H}{S} \right|_{C_m=0} = \frac{(C_A)_{FR,max}}{C_{AH,min}} \frac{\bar{q}}{\bar{q}_H} \frac{\frac{x_{SV} - x_{FR}}{r_H^*} + \frac{l_\mu}{r_H^*} \frac{(C_{m0})_{FR}}{(C_A)_{FR,max}}}{1 - \frac{x_{SV} - x_{FR}}{r_H^*}} \quad (3.20)$$

Steuerbarkeitsgrenze Landeanflug

- Erforderliche Leitwerksgröße bei natürlicher Stabilität

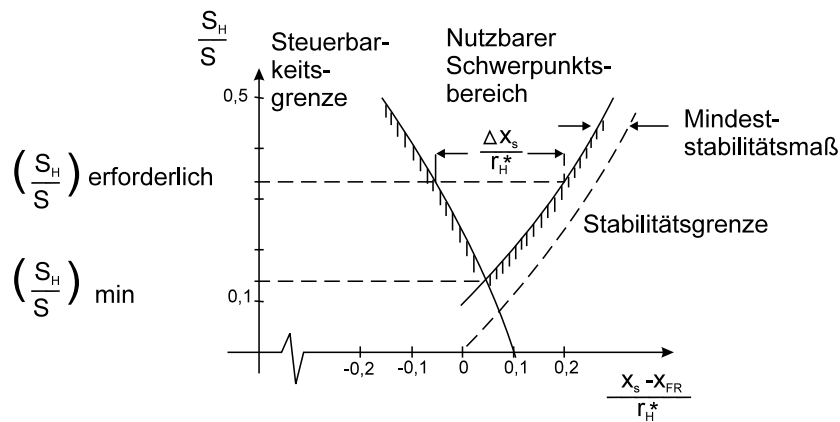


Bild 3.19 Auslegungsfall Landeanflug /6/

Andere Auslegungsfälle : Manöverflug
Bugradabheben

Maßgebend : $\left(\frac{S_H}{S}\right)$ ungünstigster Fall

- bei Leitwerksauslegung spielen dessen Position/Hebelarm sowie die Größe eine Rolle
- je größer das Leitwerk, desto größer der Bereich in dem es angebracht werden kann

3.3.4 Höhenruderausschlag

- Zusammenhang zwischen statischer Stabilität und Höhenruder - Trimm Ausschlag

Wirkung Höhenruderausschlag

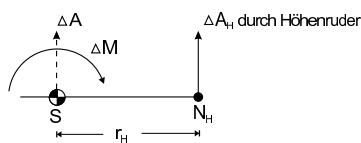


Bild 3.20

$$\begin{aligned}
 \Delta A &= \Delta A_H & \Delta M &= -r_H \Delta A_H \\
 \bar{q} S C_{A\eta} \eta &= \bar{q}_H S_H C_{AH\alpha_H} \alpha_H & \bar{q} S l_\mu C_{m\eta} \eta &= -r_H \bar{q}_H S_H C_{AH\alpha_H} \alpha_H \\
 C_{A\eta} &= \frac{\bar{q}_H S_H}{\bar{q} S} C_{AH\alpha_H} \frac{\partial \alpha_H}{\partial \eta} & C_{m\eta} &= -\frac{\bar{q}_H S_H}{\bar{q} S} \frac{r_H}{l_\mu} C_{AH\alpha_H} \frac{\partial \alpha_H}{\partial \eta} \quad (3.21)
 \end{aligned}$$

Für $\eta = 0$ gilt $C_A = C_{A\alpha} \alpha_{eff, \eta=0}$
 $C_m = C_{m0, \eta=0} + C_{m\alpha} \alpha_{eff, \eta=0}$

für $\eta \neq 0$ ist $C_A = C_{A\alpha} \alpha_{eff, \eta=0} + C_{A\eta} \eta$
 $C_m = C_{m0, \eta=0} + C_{m\alpha} \alpha_{eff, \eta=0} + C_{m\eta} \eta$

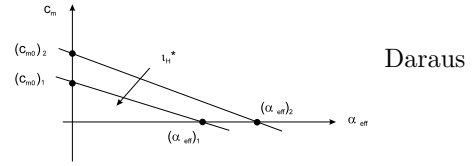


Bild 3.21

für $C_m = 0$ (Gleichgewicht), $\alpha_{eff, \eta=0}$ eliminiert:

$$\eta = \frac{-C_{m0, \eta=0} - C_A \frac{C_{m\alpha}}{C_{A\alpha}}}{C_{m, \eta} - C_{A\eta} \frac{C_{m\alpha}}{C_{A\alpha}}}$$

und mit $\frac{C_{m\alpha}}{C_{A\alpha}} = -\frac{(x_N - x_S)}{l_\mu}$

$$\eta = -\frac{C_{m0, \eta=0} - C_A \frac{(x_N - x_S)}{l_\mu}}{C_{m\eta} + C_{A\eta} \frac{(x_N - x_S)}{l_\mu}} \quad (3.22)$$

Umformung mit

$$C_{m\eta, N} = -\frac{\bar{q}_H S_H}{\bar{q} S} \frac{r_{HN}}{l_\mu} C_{AH\alpha H} \frac{\partial \alpha_H}{\partial \eta} \quad \text{* Ableitung wie (3.21) mit N statt S}$$

$$r_{HN} = r_H - (x_N - x_S)$$

ergibt $C_{m\eta, N} = C_{m\eta} + C_{A\eta} \frac{x_N - x_S}{l_\mu}$ vgl. (3.21)

und $\eta = -\underbrace{\frac{C_{m0, \eta=0}}{C_{m\eta, N}}}_{\eta_0} + \frac{C_A}{C_{m\eta, N}} \frac{x_N - x_S}{l_\mu}$ (3.23)

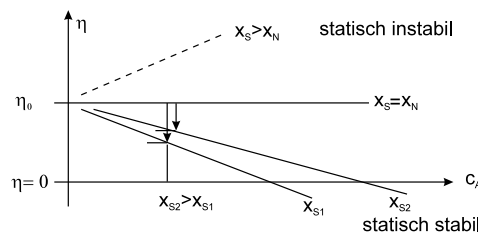


Bild 3.22

Aussage: – Größere statische Stabilität (Schwerpunktverschiebung nach vorn) erfordert größeren (negativen) Höhenruderausschlag ("Ziehen")

- **Fahrteinfluss** stationär $A = G$

$$\hookrightarrow C_A = \frac{m g}{\frac{\rho}{2} V^2 S} \quad (3.24)$$

$$\hookrightarrow \eta = -\frac{C_{m0, \eta=0}}{C_{m\eta, N}} + \underbrace{\frac{2 m g}{S \rho V^2} \frac{x_N - x_S}{l_\mu}}_{\sim -\frac{1}{V^2}} \quad (3.25)$$

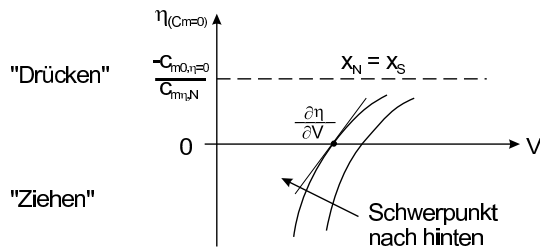


Bild 3.23

Geschwindigkeitszunahme → Drücken

Fahrtänderung durch Schwerpunktverschiebung

• Fahrtstabilität

$$\frac{\partial \eta}{\partial V} = -\frac{\frac{4 m g}{S}}{C_{m\eta,N} \rho V^3} \frac{x_N - x_S}{l_\mu} \stackrel{!}{>} 0 \quad \text{Flugeigenschaftsmaß!} \quad (3.26)$$

Bestimmung der statischen Stabilität durch Flugversuche

1. $\frac{\partial \eta}{\partial V}$ für verschiedene x_S erfliegen
2. Schnittpunkt für $\frac{\partial \eta}{\partial V} = 0 \rightarrow$ Neutralpunkt-lage

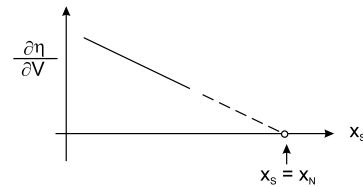


Bild 3.24

stationäre Fahrt nicht mehr mit dem Höhenruder steuerbar

Die Aussagen gelten bei Flossentrimmung entsprechend

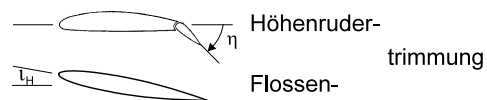


Bild 3.25

• Kompressibilitätseinfluss

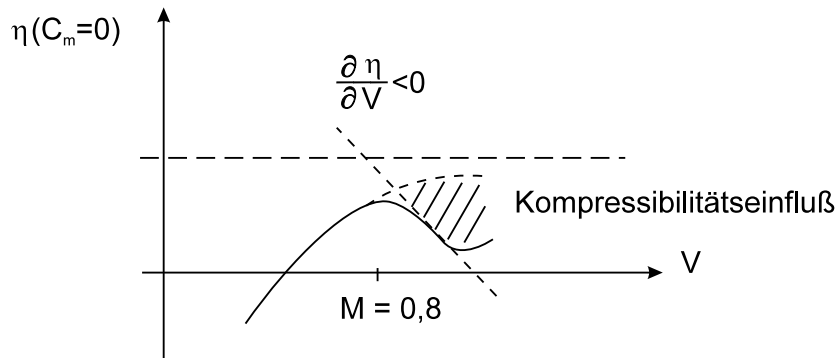


Bild 3.26

- Änderung der aerodynamischen Beiwerte mit wachsender Machzahl durch Einfluss der Kompressibilität (örtliches Erreichen der kritischen Machzahl)
- $\frac{\partial \eta}{\partial V} < 0$, d. h. Geschwindigkeitsinstabilität, nicht erlaubt im zugelassenen Geschwindigkeitsbereich

3.3.5 Stabilität bei freiem Ruder

- Servosteuerung: Hydraulischer Stellmotor , praktisch rückwirkungsfrei
(Elastizität Gestänge vernachlässigt)
- Handkraftsteuerung: Rückwirkung der aerodynamischen Lasten
Keine Handkraft: freies Ruder (Reibung Gestänge vernachlässigt)
→ Einfluss auf statische Stabilität

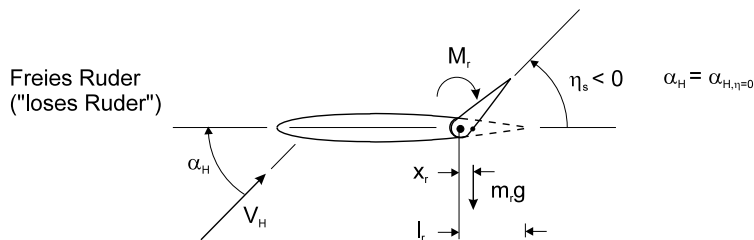


Bild 3.27

Moment um Drehachse (Scharniermoment)

$$M_r = \frac{\partial M_r}{\partial \alpha_H} \alpha_H + \frac{\partial M_r}{\partial \eta} \eta + m_r g x_r \quad (m_r g x_r \text{ klein, z.B. durch Massenausgleich})$$

Ausweichen heißt

$$M_r = 0 \rightarrow \eta_S = - \frac{\frac{\partial M_r}{\partial \alpha_H}}{\frac{\partial M_r}{\partial \eta}} \alpha_H = - \frac{C_{r\alpha H}}{C_{r\eta}} \alpha_H \quad \eta_S: \text{Schwimmwinkel} \quad (3.27)$$

$$C_{r\eta} < 0, \quad C_{r\alpha H} < 0 \quad \rightarrow \quad \frac{\partial \eta_S}{\partial \alpha_H} < 0$$

d. h. Verminderung des Leitwerksauftriebs durch loses Ruder (Index: l)

$$A_{H,l} = \frac{\partial A_H}{\partial \alpha_H} \alpha_H + \frac{\partial A_H}{\partial \eta} \eta_S$$

In Beiwerten und η_S eingesetzt

$$C_{AH,l} = C_{AH\alpha H} \alpha_H - C_{AH\eta} \frac{C_{r\alpha H}}{C_{r\eta}} \alpha_H$$

Auftriebsanstieg

$$C_{AH\alpha H,l} = C_{AH\alpha H} - C_{AH\eta} \frac{C_{r\alpha H}}{C_{r\eta}}$$

daraus

$$\frac{C_{AH\alpha H,l}}{C_{AH\alpha H}} = 1 - \frac{C_{AH\eta}}{C_{AH\alpha H}} \frac{C_{r\alpha H}}{C_{r\eta}} = \delta_l \quad \text{Auswehfaktor} < 1 \quad (3.28)$$

d. h. Abminderung des Auftriebsanstiegs für loses Ruder:

$$C_{AH\alpha H,l} = \delta_l C_{AH\alpha H}$$

$$\delta_l = 1 - \frac{\partial \alpha_H}{\partial \eta} \frac{C_{r\alpha H}}{C_{r\eta}}$$

- **Auswirkung loses Ruder auf Gesamtflugzeug**

- Auftriebsanstieg (3.3)

$$C_{A\alpha,l} = (C_{A\alpha})_{FR} + \delta_l \left(1 - \frac{\partial \varepsilon}{\partial \alpha} \right) \frac{\overline{q_H}}{\overline{q}} \frac{S_H}{S} C_{AH\alpha H} = (C_{A\alpha})_{FR} + \delta_l (C_{A\alpha})_H \quad (3.29)$$

- Momentenanstieg (3.13)

$$C_{m\alpha,l} = C_{A\alpha,l} \left\{ \frac{x_S - x_{FR}}{l_\mu} - \delta_l \left(1 - \frac{\partial \varepsilon}{\partial \alpha} \right) \frac{C_{AH\alpha H}}{C_{A\alpha,l}} V_H^* \right\}$$

$$= C_{A\alpha,l} \left\{ \frac{x_S - x_{FR}}{l_\mu} - \delta_l \frac{(C_{A\alpha})_H}{C_{A\alpha,l}} \frac{r_H^*}{l_\mu} \right\} \quad (3.30)$$

- Neutralpunktlage ($C_{m\alpha,l} = 0$)

$$\frac{x_{N,l} - x_{FR}}{l_\mu} = \delta_l \frac{(C_{A\alpha})_H}{C_{A\alpha,l}} \frac{r_H^*}{l_\mu} \quad (3.31)$$

- Abstand Schwerpunkt – Neutralpunkt (3.17)

$$\frac{x_{N,l} - x_S}{l_\mu} = - \left(\frac{\partial C_m}{\partial C_A} \right)_l = \frac{C_{m\alpha,l}}{C_{A\alpha,l}} \quad (3.32)$$

- Nullmoment (3.12)

$$C_{m0,l} = (C_{m0})_{FR} - \delta_l C_{AH\alpha H} \frac{(C_{A\alpha})_{FR}}{C_{A\alpha,l}} V_H^* (i_H - \varepsilon_0) < C_{m0} \quad (3.33)$$

Differenz Neutralpunktlage festes/loses Ruder (3.16)

$$\frac{x_N - x_{N,l}}{l_\mu} = \left(1 - \frac{\partial \varepsilon}{\partial \alpha} \right) \frac{C_{AH\alpha H}}{C_{A\alpha}} V_H^* \left\{ 1 - \delta_l \frac{C_{A\alpha}}{C_{A\alpha,l}} \right\}$$

$$= \frac{(C_{A\alpha})_H}{C_{A\alpha}} \frac{r_H^*}{l_\mu} \left\{ 1 - \delta_l \frac{C_{A\alpha}}{C_{A\alpha,l}} \right\}$$

$C_{A\alpha}$, $C_{A\alpha,l}$ und δ_l eingesetzt ergibt (3.3), (3.31), (3.30)

$$\frac{x_N - x_{N,l}}{l_\mu} = \frac{(C_{A\alpha})_H}{C_{A\alpha}} \frac{r_H^*}{l_\mu} \frac{\partial \alpha_H}{\partial \eta} \frac{C_{r\alpha H}}{C_{r\eta}} > 0 \quad (3.34)$$

$$\hookrightarrow x_N > x_{N,l}$$

d. h. Neutralpunkt (loses Ruder) liegt vor Neutralpunkt (festes Ruder)

• **Auswirkungen loses Ruder**

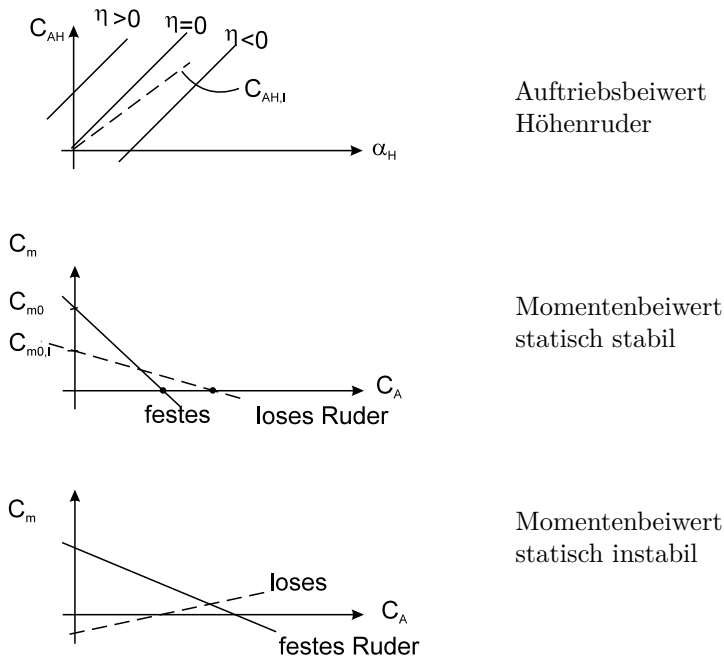


Bild 3.28

• **Zusammenfassung**

- loses/freies Ruder weht aus
- Auftriebsänderung am Höhenruder bei Störung geringer
- Neutralpunkt wandert nach vorne
- Destabilisierung

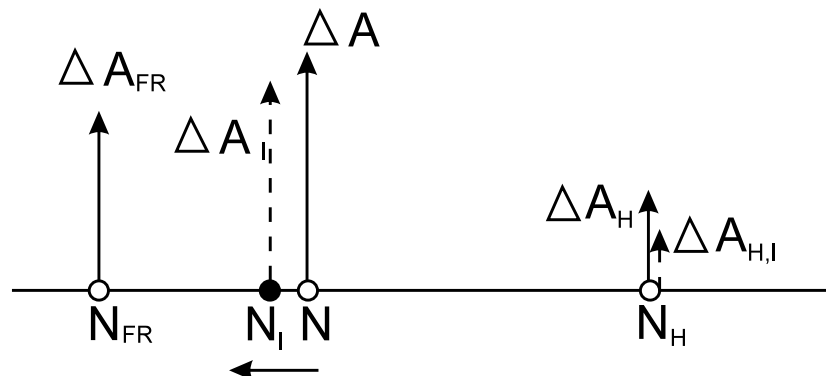


Bild 3.29

3.3.6 Manöverstabilität

Manövrieren in der Längsbewegung: Abfangen (Flug auf gekrümmter Bahn)

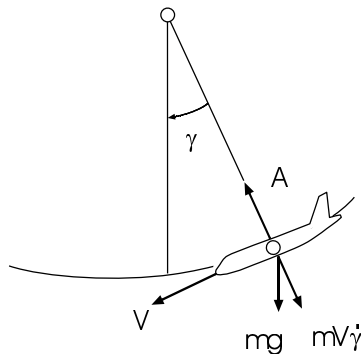


Bild 3.30

quasistationär:

- γ klein und damit
 $m g \cos \gamma \approx \text{const.}$
- X-Kräfte im Gleichgewicht
d. h. $V = \text{const.}$

- **Gleichgewicht** senkrecht zur Bahn:

$$m g \cos \gamma + m V \dot{\gamma} - A = 0$$

- **Stationärer Horizontalflug**

$$m g - A_0 = 0$$

- **Lastvielfaches**

Definition

$$n = \frac{A}{G} \quad ; G = m g \quad ; (n = n_z)$$

Stat. Horizontalflug

$$n_0 = \frac{A_0}{G} = 1$$

Abfangen

$$\cos \gamma \approx 1, \dot{\gamma} = \dot{\theta} - \dot{\alpha} \approx \dot{\theta} \approx q$$

$$m g + m V q - A = 0$$

Differenz zu

$$m g - A_0 = 0$$

ergibt

$$\Delta A = m V q$$

Zusatzlastvielfaches

$$\Delta n = \frac{\Delta A}{m g} = \frac{V q}{g} \quad (3.35)$$

- **Auftriebsänderung**

$$\Delta A = \bar{q} S \Delta C_A$$

- **Momentenänderung**

$$\Delta M = \bar{q} S l_\mu \Delta C_m$$

- **Beiwerte**

$$C_A = C_{A\alpha} \Delta \alpha + C_{Aq} \frac{l_\mu}{V} q + C_{A\eta} \Delta \eta$$

$$C_m = C_{m\alpha} \Delta \alpha + C_{mq} \frac{l_\mu}{V} q + C_{m\eta} \Delta \eta$$

(3.36)

mit $C_{Aq} = \frac{\partial C_A}{\partial (q \frac{l_\mu}{V})} \quad ; \quad C_{mq} = \frac{\partial C_m}{\partial (q \frac{l_\mu}{V})}$ Nickdämpfungsderivativ

- **Zusatzanblasung** durch Drehung Hauptbeitrag zu C_{mq} durch Höhenleitwerk

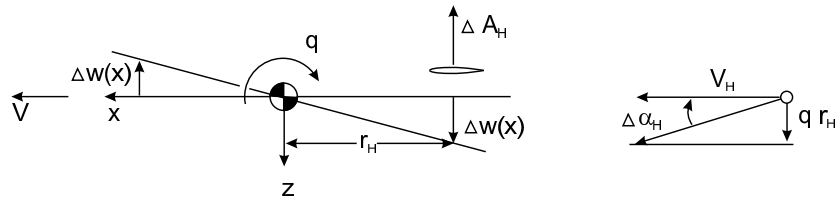


Bild 3.31

Anstellwinkeländerung $\Delta w = -x \cdot q$

$$\Delta \alpha = \frac{\Delta w}{V} = -\frac{x q}{V} \quad \hookrightarrow \quad \Delta \alpha_H = \frac{r_H}{V_H} q$$

- Auftriebsänderung am Höhenleitwerk

$$\begin{aligned} \Delta A_H &= \bar{q}_H S_H C_{AH\alpha H} \frac{r_H}{V_H} q \\ \Delta (C_A)_H &= C_{AH\alpha H} \bar{V}_H q \frac{l_\mu}{V_H} \\ \bar{V}_H &= \frac{r_H}{l_\mu} \frac{S_H}{S} \frac{\bar{q}_H}{\bar{q}} \end{aligned} \quad \text{Abkürzung (Leitwerksfaktor)}$$

- Momentenänderung durch Auftriebsänderung

$$\begin{aligned} \Delta M_H &= -r_H \Delta A_H \\ \Delta (C_m)_H &= -\Delta (C_A)_H \frac{r_H}{l_\mu} \end{aligned}$$

- Damit Beiwert-Derivative für q $\left(\partial / \partial \left(q \frac{l_\mu}{V} \right) \right)$

$$\begin{aligned} C_{Aq} &= C_{AH\alpha H} \bar{V}_H \frac{V}{V_H} = C_{AH\alpha H} \sqrt{\frac{\bar{q}_H}{\bar{q}}} \cdot \frac{S_H}{S} \cdot \frac{r_H}{l_\mu} \\ C_{mq} &= -C_{Aq} \frac{r_H}{l_\mu} = -C_{AH\alpha H} \bar{V}_H \frac{V}{V_H} \frac{r_H}{l_\mu} = -C_{AH\alpha H} \sqrt{\frac{\bar{q}_H}{\bar{q}}} \cdot \frac{S_H}{S} \cdot \left(\frac{r_H}{l_\mu} \right)^2 \end{aligned}$$

- Aus (3.36) ergibt sich für $\Delta C_m = 0$ der für das Abfangen erforderliche Höhenruderausschlag

$$\Delta \eta = - \frac{\Delta C_A C_{m\alpha} + (C_{mq} C_{A\alpha} - C_{Aq} C_{m\alpha}) q \frac{l_\mu}{V}}{C_{m\eta} C_{A\alpha} - C_{A\eta} C_{m\alpha}} \quad (3.37)$$

Umformung

$$q \frac{l_\mu}{V} = \Delta n \frac{g l_\mu}{V^2} = \Delta n \frac{C_A^*}{\mu} \quad (C_A^* = C_{A,n=1}) \quad (3.38)$$

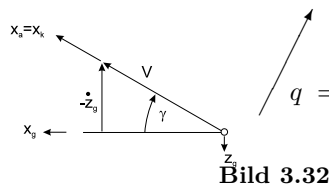


Bild 3.32

$$\gamma = - \frac{\dot{z}_g}{V}$$

$$\dot{\gamma} = - \frac{\ddot{z}_g}{V}$$

$$\Delta n = - \frac{\ddot{z}_g}{g} = \frac{V}{g} \dot{\gamma} \approx \frac{V}{g} q$$

$$\frac{g l_\mu}{V^2} = \frac{C_A^*}{\mu}$$

$$C_A^* = \frac{m g}{\frac{\rho}{2} V^2 S} = \mu \frac{g}{V^2} l_\mu$$

$$\text{mit } \mu = \frac{m}{\frac{\rho}{2} S l_\mu}$$

Normierte Masse

Es war : Moment um Neutralpunkt durch Ruderausschlag

$$C_{m\eta,N} = C_{m\eta} + C_{A\eta} \underbrace{\frac{x_N - x_S}{l_\mu}}_{-\frac{C_{m\alpha}}{C_{A\alpha}}} \quad (\text{vgl. 3.23})$$

Ergebnis der Umformung

$$\frac{\Delta \eta}{\Delta n} = - \frac{C_A^*}{C_{m\eta,N}} \left\{ \frac{C_{m\alpha}}{C_{A\alpha}} \left(1 - \frac{C_{Aq}}{\mu} \right) + \frac{C_{mq}}{\mu} \right\}$$

$$\text{Mit } C_{mq,N} = C_{mq} + C_{Aq} \frac{x_N - x_S}{l_\mu}$$

$$= C_{mq} - C_{Aq} \frac{C_{m\alpha}}{C_{A\alpha}}$$

Nickgeschwindigkeits-Momentenbeiwert
bezogen auf Neutralpunkt

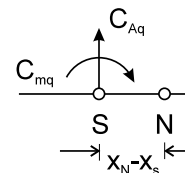


Bild 3.33

$$\text{Wird } \frac{\Delta \eta}{\Delta n} = \frac{C_A^*}{C_{m\eta,N}} \underbrace{\left\{ \frac{x_N - x_S}{l_\mu} - \frac{C_{mq,N}}{\mu} \right\}}_{\frac{x_M - x_S}{l_\mu}}$$

$$\text{und} \quad \frac{\Delta \eta}{\Delta n} = \frac{C_A^*}{C_{m\eta, N}} \frac{x_M - x_s}{l_\mu} \quad (3.39)$$

$$x_M = x_{S, \eta=0}$$

Lage des Manöverpunktes M
(Schwerpunktlage, für die $\Delta \eta$ verschwindet)

• **Aussagen:**

- Manöverpunkt liegt wegen $C_{mq} < 0$ hinter Neutralpunkt
- M wandert mit zunehmender Höhe nach vorn ($\mu \sim \frac{1}{\rho}$)
- Ruderausschlag pro Lastvielfachem ist proportional zum Abstand Schwerpunkt/Manöverpunkt

↪ Stabilitätserhöhung durch Abfangmanöver

Analog: Loses Ruder (Definition!)

$$\frac{x_{M,l}}{l_\mu} = \frac{x_{N,l}}{l_\mu} - \frac{C_{mq, N,l}}{\mu}$$

↪ geringere Stabilitätserhöhung

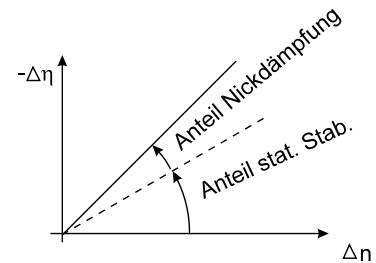


Bild 3.34

• **Anschaulich:**

Gleichgewicht

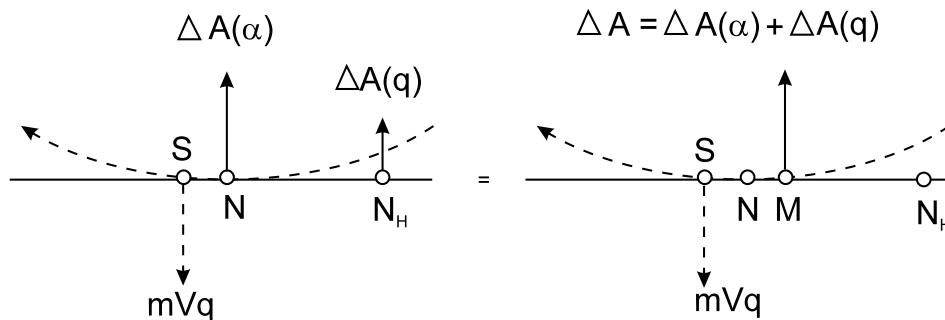


Bild 3.35

- Zusatzauftrieb durch Anstellwinkel
im Flugzeugneutralpunkt

- Zusatzauftrieb durch Nickgeschwindigkeit
(im wesentlichen) im Neutralpunkt
des Höhenleitwerks

- Gesamter Zusatzauftrieb
im Manöverpunkt

- Größerer Hebelarm der
rückstellenden Kraft
d. h. Stabilitätserhöhung

3.3.7 Zusammenfassung

- Statische Stabilität in der Längsbewegung erfordert

$$C_{m0} > 0$$

$$C_{m\alpha} < 0$$

$$\text{bzw.} \quad x_S < x_N$$

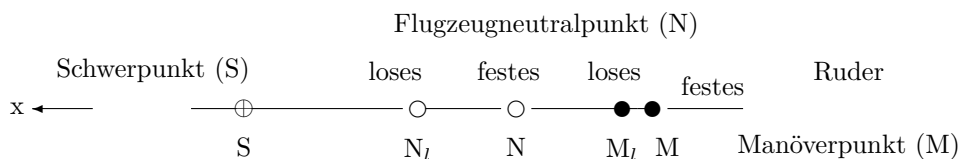
- Loses Ruder verringert die statische Längsstabilität

$$x_{N,l} < x_N$$

- Der erforderliche Trimm-Höhenruderausschlag wächst mit der statischen Stabilität
- Beim Flug auf gekrümmter Bahn wächst die Stabilität (Statische Stabilität + Nickdämpfung)

$$x_M > x_N$$

$$x_{M,l} < x_M$$



3.4 Steuerung

- Höhenrudersteuerung: Erzeugung von Nickmomenten zum Ändern des stationären Flugzustandes (Trimmen) und zum Manövrieren.
- Gute Steuerbarkeit: Anpassung der Eigenschaften des Steuerungssystems (Weg, Kraft) an Pilotenwünsche.

- **Handkraftsteuerung**

"Aerodynamische" Steuerung, Steuerkräfte am Bedienelement und Momente am Ruder stehen im Zusammenhang.

Steuerkraft-Charakteristik wichtig für Flugzeugeigenschaften-Beurteilung :

- Änderung der Steuerkraft mit Änderung der Geschwindigkeit im stationären Geradeausflug (Stabilitätshandkraft).
- Änderung der Steuerkraft mit Lastvielfachem beim Abfangen (Abfanghandkraft).

- **Servosteuerung**

Steuerkräfte unabhängig von aerodynamischen Lasten durch Verwendung von Stellmotoren. Steuerkrafterzeugung künstlich (z. B. Feder).

3.4.1 Höhenruder-Scharniermoment

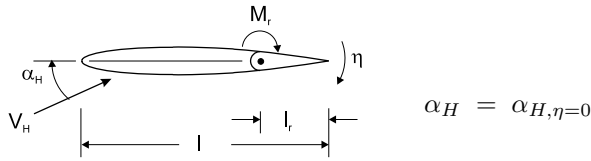


Bild 3.36

$$M_r = \bar{q}_H S_r l_r C_r \quad ; \quad C_r = C_{r\alpha_H} \alpha_H + C_{r\eta} \eta \quad (3.40)$$

$C_r < 0$, d. h. rückdrehendes Moment

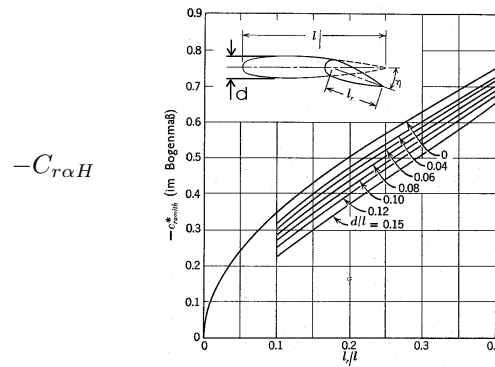


Bild 3.37 Scharniermomentenbeiwert /1/

3.4.2 Steuerkräfte

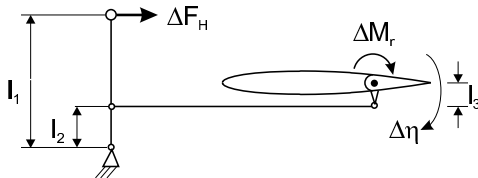


Bild 3.38

- **Stabilitätshandkraft** (stationärer Geradeausflug)

- Änderung der Handkraft mit der Geschwindigkeit
- im Trimpunkt ist die Steuerkraft $F_H = 0$

$$\text{Steuerkraft} \quad \Delta F_H = K_{\ddot{u}} \cdot \Delta M_r \quad K_{\ddot{u}} = \frac{l_2}{l_1 l_3} \quad (3.41)$$

$$\begin{aligned} &= K_{\ddot{u}} \bar{q}_H S_r l_r \Delta C_r \\ \text{Es war} \quad \Delta C_r &= C_{r\alpha_H} \Delta \alpha_H + C_{r\eta} \Delta \eta \quad (3.40) \end{aligned}$$

$$\alpha_H = \left(1 - \frac{\partial \varepsilon}{\partial \alpha}\right) \alpha + i_H - \varepsilon_0 \quad (3.2)$$

$$\Delta \alpha = \frac{C_A}{C_{A\alpha}}; \quad \Delta \alpha_H = \left(1 - \frac{\partial \varepsilon}{\partial \alpha}\right) \Delta \alpha$$

$$\Delta \eta_{Cm=0} = \frac{-C_{m0, \eta=0} - C_A \frac{C_{m\alpha}}{C_{A\alpha}}}{C_{m\eta} - C_{A\eta} \frac{C_{m\alpha}}{C_{A\alpha}}} \quad (3.22)$$

Damit wird

$$\begin{aligned}\Delta C_r &= \frac{C_{r\eta}}{C_{m\eta}} \left\{ \frac{C_{m\eta}}{C_{r\eta}} \frac{C_{r\alpha H}}{C_{A\alpha}} \left(1 - \frac{\partial \varepsilon}{\partial \alpha}\right) C_A - C_{m\eta} \frac{C_{m0,\eta=0} + C_A \frac{C_{m\alpha}}{C_{A\alpha}}}{C_{m\eta}} \right\} \\ &= -\frac{C_{r\eta}}{C_{m\eta}} \left\{ C_{m0,\eta=0} + \left[\frac{C_{m\alpha}}{C_{A\alpha}} - \frac{C_{r\alpha H}}{C_{r\eta}} \frac{C_{m\eta}}{C_{A\alpha}} \left(1 - \frac{\partial \varepsilon}{\partial \alpha}\right) \right] C_A \right\}\end{aligned}$$

Einsetzen von

$$C_{m\eta} = -C_{AH\alpha H} \bar{V}_H \frac{\partial \alpha_H}{\partial \eta} \quad ; \quad \bar{V}_H = V_H^* + \frac{S_H}{S} \frac{\bar{q}_H}{\bar{q}} \frac{x_{FR} - x_S}{l_\mu} \quad (3.21)$$

$$C_{m\alpha} = -C_{A\alpha} \left\{ \frac{x_{FR} - x_S}{l_\mu} + \frac{C_{AH\alpha H}}{C_{A\alpha}} V_H^* \left(1 - \frac{\partial \varepsilon}{\partial \alpha}\right) \right\} \quad (3.13)$$

ergibt

$$\Delta C_r = -\frac{C_{r\eta}}{C_{m\eta}} \left\{ C_{mo,l} - \frac{x_{N,l} - x_S}{l_\mu} \cdot \underbrace{\frac{C_{A\alpha,l}}{C_{A\alpha}}}_{\approx 1} \cdot C_A \right\} \quad (3.42)$$

gute Näherung
bei Heckleitwerk

Damit wird die Handkraft (3.41)

$$\begin{aligned}\Delta F_H &= -K_F \bar{q} \left\{ C_{mo,l} - C_A \frac{x_{N,l} - x_S}{l_\mu} \right\} \\ \text{mit} \quad K_F &= K_{\ddot{u}} S_r l_r \frac{\bar{q}_H}{\bar{q}} \left\{ \frac{C_{r\eta}}{C_{m\eta,N}} - \frac{C_{r\alpha H}}{C_{A\alpha}} \frac{C_{A\eta}}{C_{m\eta,N}} \left(1 - \frac{\partial \varepsilon}{\partial \alpha}\right) \right\}\end{aligned}$$

↪ - K_F enthält flugzeugspezifische Parameter, d.h. sie können als konstant betrachtet werden

- Handkraftcharakteristik wird durch Momentengleichung für den Fall "loses Ruder" bestimmt

Wegen $A = m g \quad \hookrightarrow \quad C_A = \frac{m g}{\bar{q} S}$

kann man auch schreiben

$$\begin{aligned}\Delta F_H &= -K_F \left\{ C_{mo,l} \frac{\rho}{2} V^2 - \frac{m g}{S} \frac{x_{N,l} - x_S}{l_\mu} \right\} \\ &= F_{H0} + F_{H1}(V)\end{aligned} \quad (3.43)$$

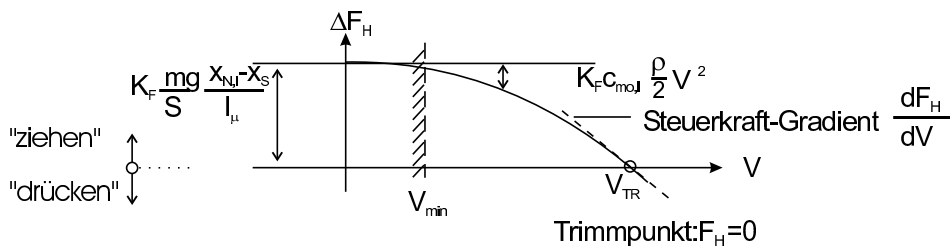


Bild 3.39

Steuerkraft-Gradient im Trimpunkt

$$\frac{dF_H}{dV} = -K_F C_{mo,l} \rho V_{TR}$$

und aus (3.43) für $\Delta F_H = 0$

$$V_{TR}^2 = \frac{2mg}{\rho S C_{mo,l}} \frac{x_{N,l} - x_S}{l_\mu}$$

ergibt

$$\frac{dF_H}{dV} = -2K_F \frac{\frac{mg}{S}}{V_{TR}} \frac{x_{N,l} - x_S}{l_\mu} \quad (3.44)$$

Stabilitätshandkraft

• **Erkenntnisse :**

- Steuerkraftgradient proportional dem Maß für statische Stabilität bei losem Ruder ("stabiler" / "instabiler" Gradient)
- Bestimmung von N_l durch Messung von $\frac{dF_H}{dV}$ in Flugversuchen möglich
- $\frac{dF_H}{dV}$ ist der Flächenbelastung $\frac{mg}{S}$ proportional
- $\frac{dF_H}{dV}$ ist umgekehrt proportional zur Trimmgeschwindigkeit
- $\frac{dF_H}{dV}$ hängt nicht von der Flughöhe (ρ) ab
- $\frac{dF_H}{dV}$ wächst wegen $K_F \sim S_r l_r$ mit der dritten Potenz der Längenabmessungen.[0.2cm] Bei größeren Flugzeugen Maßnahmen zur Reduktion des Rudermomentes[0.2cm] erforderlich (s. Kap. 3.4.3) gegebenenfalls Servosteuerung.

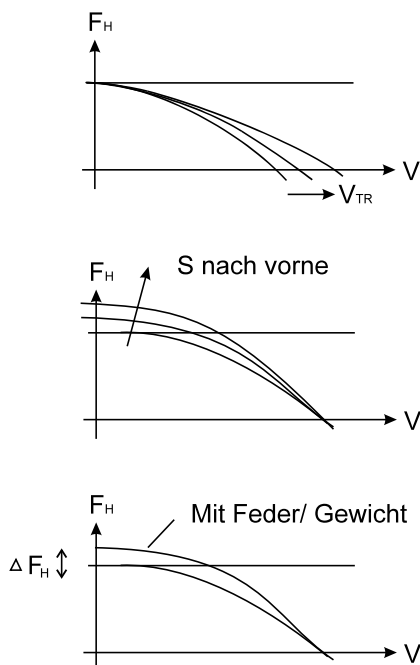


Bild 3.40

- Einfluss der Trimmgeschwindigkeit :
 $\frac{dF_H}{dV}$ nimmt bei höherer Trimmgeschwindigkeit ab
- Einfluss der Schwerpunktlage:
Höhere Stabilität
→ steilerer Gradient
- Beeinflussung der Kraftcharakteristik:

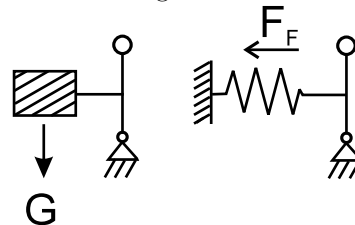


Bild 3.41

• **Abfanghandkraft**

- Gradient von Steuerkraft zu Lastvielfachen gibt an, mit welcher Handkraft der Pilot beim Abfangen ein definiertes Lastvielfaches erreicht

- Maß für Manövrierfähigkeit
- abhängig von flugzeugspezifischen Parametern (K_f), der Flächenbelastung ($\frac{G}{S}$) und der Schwerpunktlage

Zusatz-Handkraft zum Abfangen

$$\begin{aligned}
 \Delta F_H &= K_{\ddot{u}} \bar{q}_H S_r l_r \Delta C_r & (3.45) \\
 \text{mit } \Delta C_r &= C_{r\alpha H} \Delta \alpha_H + C_{r\eta} \Delta \eta & \text{Scharnierzugmomenten-Beiwert} \\
 \Delta \alpha_H &= \left(1 - \frac{\partial \varepsilon}{\partial \alpha}\right) \Delta \alpha + \frac{r_H}{V_H} q & \text{Anstellwinkeländerung HLW}
 \end{aligned}$$

Umformung

$$\begin{aligned}
 \text{Mit } \Delta \alpha &= \frac{1}{C_{A\alpha}} (\Delta C_A - C_{Aq} \frac{l_\mu}{V} q - C_{A\eta} \Delta \eta) \\
 \text{Lastvielfachenänderung : } \Delta n &= \frac{\Delta C_A}{C_A} & C_A = C_{A,n=1} \\
 \frac{r_H}{V_H} q &= \Delta n \frac{r_H}{l_\mu} \frac{C_A}{\mu} ; \quad \mu = \frac{m}{\frac{\rho}{2} S l_\mu} & \text{Normierte Masse}
 \end{aligned}$$

wird

$$\begin{aligned}
 \Delta C_r &= \frac{C_{r\eta}}{C_{m\eta,N}} \Delta n C_A \left\{ \overbrace{\left[1 - \left(1 - \frac{\partial \varepsilon}{\partial \alpha}\right) \frac{C_{r\alpha}}{C_{r\eta}} \frac{C_{A\eta}}{C_{A\alpha}} \right]}^{C_{A\alpha,l}/C_{A\alpha}} \left[\frac{x_{N,l} - x_S}{l_\mu} - \frac{C_{mq,N}}{\mu} \right] \right. \\
 &\quad \left. + \frac{C_{r\alpha}}{C_{r\eta}} \frac{C_{m\eta,N}}{C_{A\alpha}} \left[\left(1 - \frac{\partial \varepsilon}{\partial \alpha}\right) \left(1 - \frac{C_{Aq}}{\mu}\right) + \frac{r_H}{l_\mu} \frac{C_{A\alpha}}{\mu} \right] \right\} \\
 \text{und } \Delta C_r &= \frac{C_{r\eta}}{C_{m\eta,N}} \frac{C_{A\alpha,l}}{C_{A\alpha}} \Delta n C_A \left\{ \underbrace{\frac{x_N - x_S}{l_\mu} + \left(1 - \frac{\partial \varepsilon}{\partial \alpha}\right) \frac{C_{m\eta,N}}{C_{A\alpha,l}} \frac{C_{r\alpha}}{C_{r\eta}}}_{\frac{x_{N,l} - x_S}{l_\mu}} \right. \\
 &\quad \left. - \frac{C_{mq,N}}{\mu} + \frac{1}{\mu} \frac{C_{r\alpha}}{C_{r\eta}} \frac{C_{m\eta,N}}{C_{A\alpha,l}} \underbrace{\left[\frac{r_H}{l_\mu} C_{A\alpha} - \left(1 - \frac{\partial \varepsilon}{\partial \alpha}\right) C_{Aq} \right]}_{\frac{r_H}{l_\mu} (C_{A\alpha})_{FR}} \right\} \otimes
 \end{aligned}$$

Mit

$$\begin{aligned}
 C_{mq,N} &= C_{mq,N,FR} - C_{AH\alpha H} V_{HN} \frac{r_H}{l_\mu} \frac{V}{V_H} \\
 C_{m\eta,N} &= \frac{\partial \alpha_H}{\partial \alpha} C_{AH\alpha H} V_{HN} \quad ; \quad V_{HN} = \frac{r_{HN}}{l_\mu} \frac{\bar{q}_H}{q} \frac{S_H}{S} \\
 (C_{A\alpha})_{FR} &\approx C_{A\alpha,l} \\
 -C_{mq,N} + C_{m\eta,N} \frac{C_{r\alpha}}{C_{r\eta}} \frac{r_H}{l_\mu} &= -C_{mq,N,FR} + \delta_l C_{AH\alpha H} V_{HN} \frac{r_H}{l_\mu} \quad \left. \vphantom{\frac{r_H}{l_\mu}} \right\} \otimes \\
 &\approx -C_{mq,N,l} \quad (V_{HN} \approx V_{HN,l}) \\
 x_{M,l} &= x_{N,l} - C_{mq,N,l} \frac{l_\mu}{\mu}
 \end{aligned}$$

$$\text{wird} \quad \Delta C_r = \frac{C_{r\eta}}{C_{m\eta,N}} \frac{C_{A\alpha,l}}{C_{A\alpha}} \Delta n C_A \frac{x_{M,l} - x_S}{l_\mu} \quad (3.46)$$

$$\text{und} \quad \Delta F_H = K_F \frac{m g}{S} \frac{x_{M,l} - x_S}{l_\mu} \Delta n$$

$$\frac{d F_H}{d n} = K_F \frac{m g}{S} \frac{x_{M,l} - x_S}{l_\mu} \quad \text{Abfanghandkraft} \quad (3.47)$$

• Erkenntnisse :

- Änderung der Steuerkraft mit dem Lastvielfachen $\frac{d F_H}{d n}$ hängt von der Manöverstabilität bei losem Ruder ab ($x_{M,l} - x_S$)
- Größere Flächenbelastung \rightarrow größere Abfanghandkraft
- Flugeigenschaftsforderungen $\left(\frac{d F_H}{d n} \right)_{min,max}$

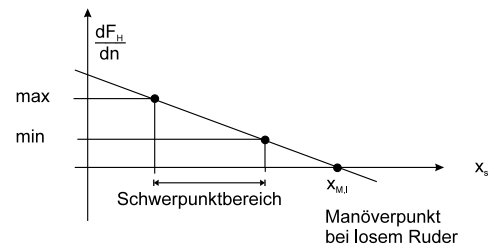


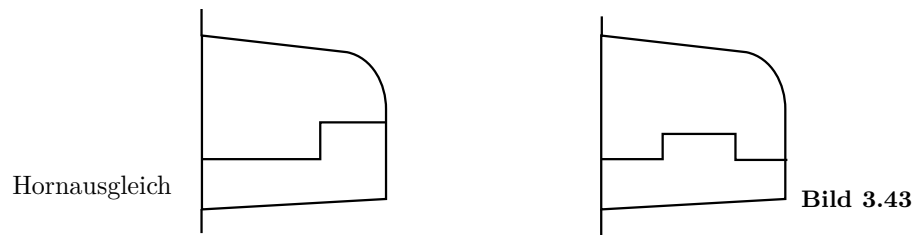
Bild 3.42

3.4.3 Steuerhilfen

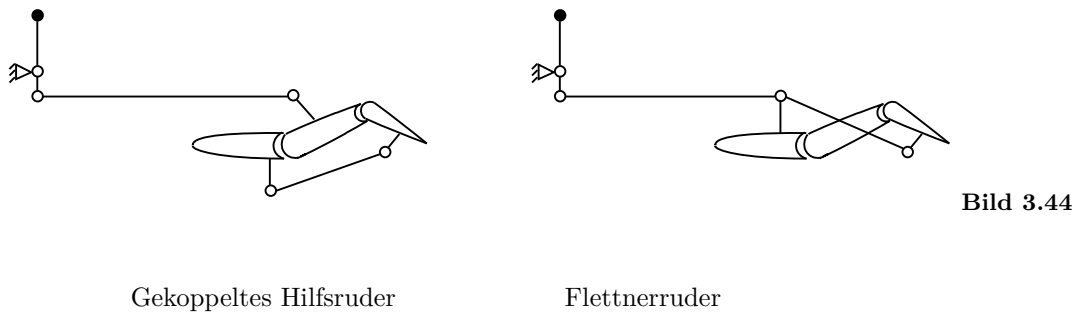
Anstieg der Steuerkräfte mit der 3. Potenz der Längenmaße

→ Maßnahme zur Verringerung der Ruderscharniermomente ($C_{r\eta}$)

– Ruderform



– Hilfsruder



• Servosteuerung

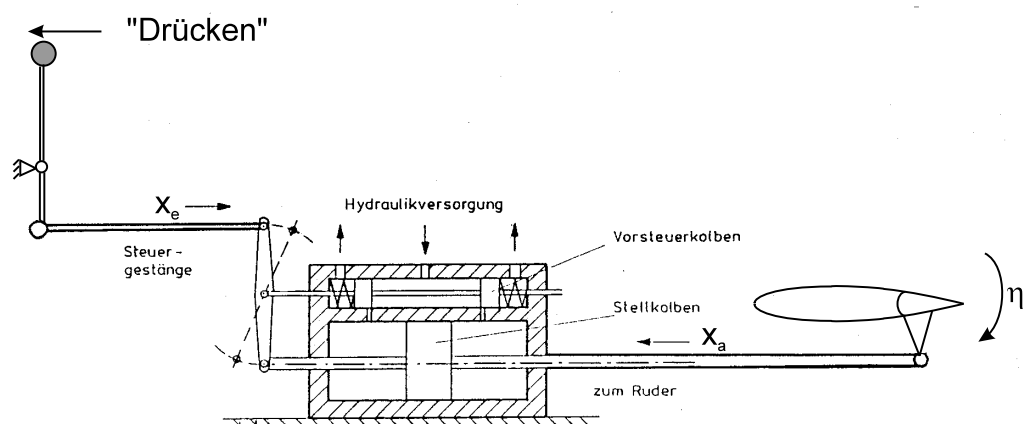


Bild 3.45 Hydraulischer Stellantrieb

3.4.4 Trimmung

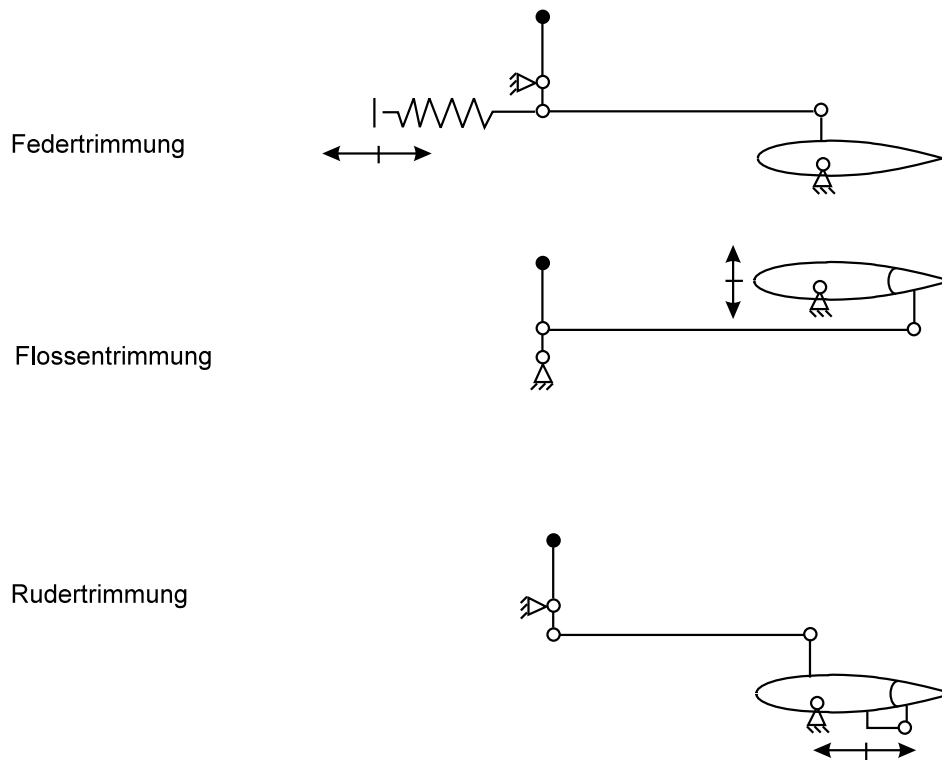


Bild 3.46

3.5 Derivative der Längsbewegung

Übersicht : Beiwertderivative (dimensionslos)

	Anstellwinkel α	Nickgeschwindigkeit q	Höhenruder η
Widerstand	$C_{W\alpha}$	C_{Wq}	$C_{W\eta}$
Auftrieb	$C_{A\alpha}$ Kap. 3.1	C_{Aq} Kap. 3.3.6	$C_{A\eta}$ Kap. 3.3.4
Nickmoment	$C_{m\alpha}$ Kap. 3.3	C_{mq} Kap. 3.3.6	$C_{m\eta}$ Kap. 3.3.4

$$C_A = C_{A0} + C_{A\alpha} \alpha + C_{Aq} q \frac{l_\mu}{V} + \dots ; A = \frac{\rho}{2} V^2 S C_A \quad (3.48)$$

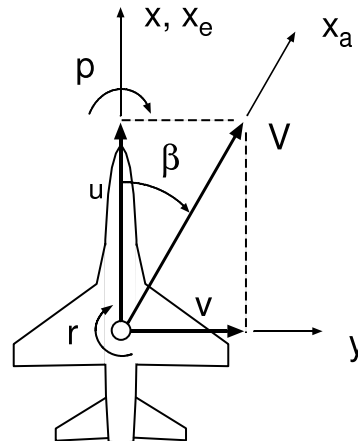
Weitere Derivative (z. B. C_{WM} , $C_{m\dot{\alpha}}$) siehe Kap. 5

4 Stationäre Seitenbewegung

4.1 Definitionen

- Bewegungsgrößen (ohne Wind)

Schiebewinkel $\beta \approx \frac{v}{V}$
 Rollgeschwindigkeit p
 Giergeschwindigkeit r



- Steuergrößen

Querruder ξ
 Seitenruder ζ

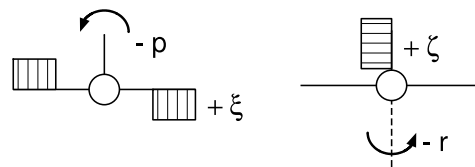


Bild 4.1

- Kräfte und Momente (Experimentelles Koordinatensystem)

Seitenkraft $Y = \bar{q} S C_Y$ $\bar{q} = \frac{\rho}{2} V^2$
 Rollmoment $L = \bar{q} S s C_l$ $s = \frac{b}{2}$
 Giermoment $N = \bar{q} S s C_n$ Bezugslänge : Halbspannweite

- Derivative

- Beiwertderivative (dimensionslos) : z. B. $C_{Y\beta} = \frac{\partial C_Y}{\partial \beta}$; $C_{Yp} = \frac{\partial C_Y}{\partial (\frac{s}{V} p)}$

$$\begin{aligned} C_Y &= C_{Y\beta} \beta + C_{Yp} \frac{s}{V} p + C_{Yr} \frac{s}{V} r + C_{Y\xi} \xi + C_{Y\zeta} \zeta + \dots \\ C_l &= C_{l\beta} \beta + C_{lp} \frac{s}{V} p + C_{lr} \frac{s}{V} r + C_{l\xi} \xi + C_{l\zeta} \zeta + \dots \\ C_n &= C_{n\beta} \beta + C_{np} \frac{s}{V} p + C_{nr} \frac{s}{V} r + C_{n\xi} \xi + C_{n\zeta} \zeta + \dots \end{aligned} \quad (4.1)$$

- Direkte Derivative (dimensionsbehaftet)

$$\begin{aligned} Y &= Y_\beta \beta + Y_p p + \dots \quad z. B. \quad Y_\beta = \frac{\partial Y}{\partial \beta} = \bar{q} S C_{Y\beta} \\ L &= L_\beta \beta + L_p p + \dots \quad Y_p = \frac{\partial Y}{\partial p} = \bar{q} S C_{Yp} \cdot \frac{s}{V} \\ N &= N_\beta \beta + N_p p + \dots \end{aligned} \quad (4.2)$$

- Bezeichnung : $L_\beta \rightarrow$ Schiebe-Rollmoment

↓ ↑ ↑ ↓ ↑ - Ursache ↓ - Wirkung

4.2 Gierbewegung

4.2.1 Statische Richtungsstabilität

Definition: Bei Änderung der Anströmrichtung (d. h. Änderung des Schiebewinkels) wird ein Giermoment erzeugt, das das Flugzeug in die Anströmrichtung dreht.

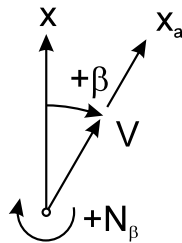


Bild 4.2

Vergleich :

$$C_{m\alpha} < 0$$

„Anstellwinkelstabilität“

$$N = \bar{q} S s C_{n\beta} \beta$$

$$N_\beta = \frac{\partial N}{\partial \beta} > 0$$

Forderung für statische
Richtungsstabilität

oder $C_{n\beta} > 0$

Anteile: $N_\beta = (N_\beta)_{SLW \rightarrow S} + (N_\beta)_{Rumpf \rightarrow R} + (N_\beta)_{Flügel \rightarrow F}$

Seitenleitwerk

Das Seitenleitwerk erzeugt bei einer schrägen Anströmung unter dem Winkel β ein Giermoment N_s , welches das Flugzeug in die Anströmrichtung dreht

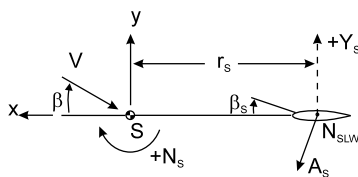


Bild 4.3

S_s Seitenleitwerks-
Fläche

Giermoment $N_s = A_s r_s$

Seitenkraft $Y_s \approx -A_s \quad (\beta_s \text{ klein})$

$\rightarrow N_s = -\bar{q}_s S_s r_s C_{Ys} \quad ; \quad C_{Ys} = \frac{\partial C_{Ys}}{\partial \beta_s} \beta_s$

Örtliche Anströmung

$$\beta_s = \beta - \varepsilon_s = \left(1 - \frac{\partial \varepsilon_s}{\partial \beta}\right) \beta \quad (4.3)$$

Schiebe-Giermomentenbeiwert

$$(C_{n\beta})_s = -\left(1 - \frac{\partial \varepsilon_s}{\partial \beta}\right) \frac{\partial C_{Ys}}{\partial \beta_s} \frac{\bar{q}_s}{\bar{q}} \frac{S_s}{S} \frac{r_s}{s} = -(C_{Y\beta})_s \frac{r_s}{s} \quad (4.4)$$

wegen $(N_\beta)_s = \frac{\partial N_s}{\partial \beta} \quad ; \quad \bar{q} S s (C_{n\beta})_s = -\bar{q}_s S_s r_s \frac{\partial C_{Ys}}{\partial \beta_s} \left(1 - \frac{\partial \varepsilon_s}{\partial \beta}\right)$

$(C_{n\beta})_s > 0$ Windfahnenstabilität, wächst mit wachsendem S_s und r_s

• **Einflussfaktoren** für die Wirksamkeit des Seitenleitwerks

- Hebelarm

- Größe
- Streckung

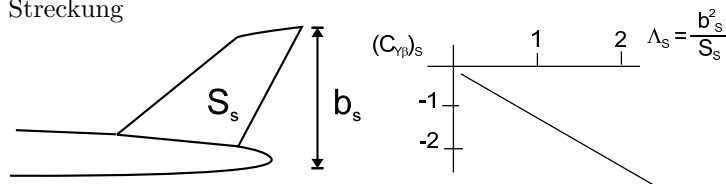


Bild 4.4

- Höhenleitwerkslage

$$\frac{\Lambda_{s\,eff}}{\Lambda_s} :$$

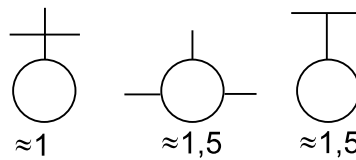


Bild 4.5

- Rumpfform

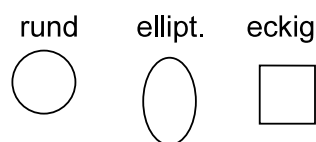
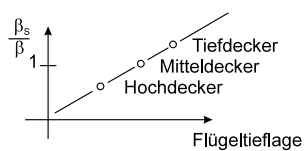


Bild 4.6

Zunahme der Seitenleitwerks-Effektivität

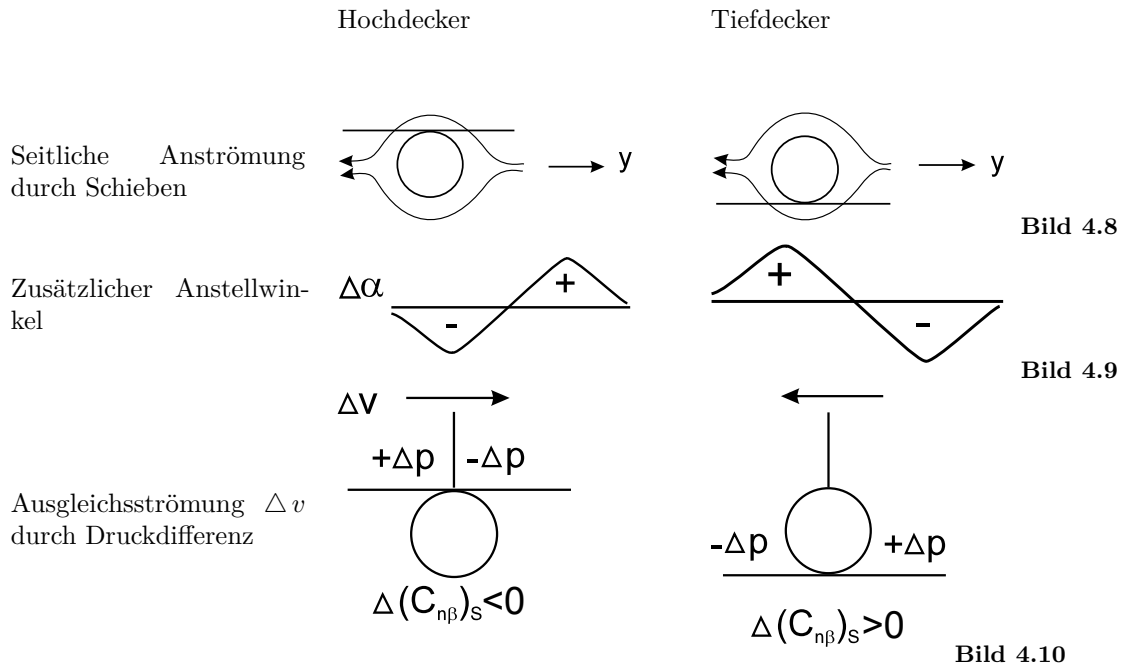
- Flügelage

$$\frac{\beta_s}{\beta} = 1 - \frac{\partial \varepsilon_s}{\partial \beta}$$



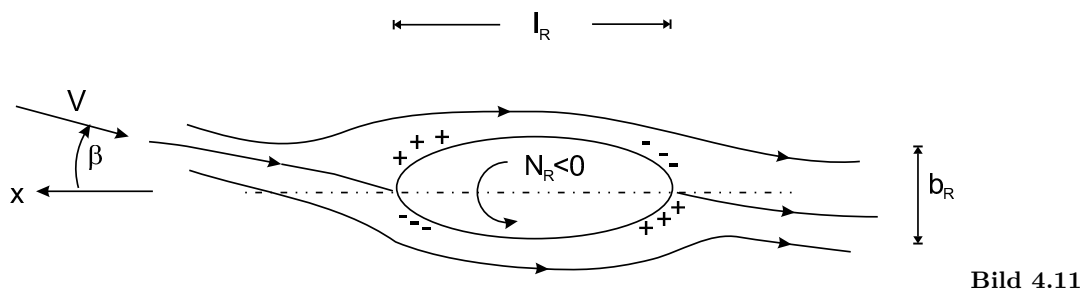
gleiches C_A
gleiche SLW-Lage

Bild 4.7



Höhere Windfahnenstabilität bei Tiefdecker

Rumpf



- Schiebe-Giermoment

$$N_R = -2 k^* V_R^* \bar{q} \beta$$

$$V_R^* = \frac{\pi}{4} \int_0^{l_R} b_R^2(x) dx \quad \text{Volumen Rotationskörper}$$

k^* Einflussfaktor für Rumpfform

- Schiebe-Giermomentenbeiwert

$$(C_{n\beta})_R = -2 k^* \frac{V_R^*}{S_S} < 0 \quad \hookrightarrow \text{destabilisierend} \quad (4.5)$$

Flügel

Einfluss auf Richtungsstabilität im Vergleich zum Seitenleitwerk gering, d. h. $(C_{n\beta})_F \ll (C_{n\beta})_S$

- Streckung
($C_{n\beta})_F$ sinkt mit wachsender Streckung; Differenz des induzierten Widerstandes links/rechts durch Schräganblasung nimmt ab.
- V-Form: stabilisierend ($\nu > 0$)
Höherer Anstellwinkel auf angeblasener Seite, dadurch höherer Auftrieb und Widerstand
Rückführendes Giermoment durch Widerstandsdifferenz
- Pfeilform : stabilisierend ($\varphi > 0$)
Höhere Anströmgeschwindigkeit auf angeblasener Seite, dadurch höherer Auftrieb und Widerstand

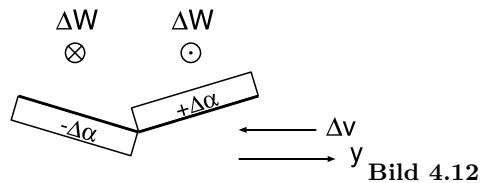


Bild 4.12

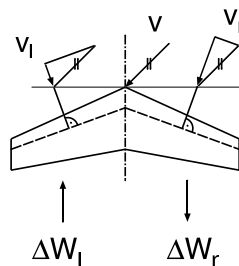


Bild 4.13

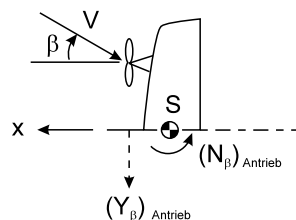
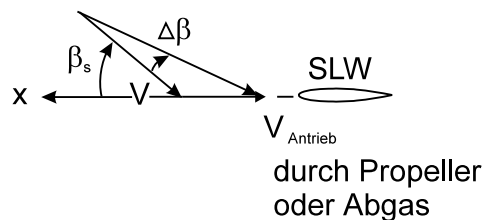
Antrieb

Bild 4.14

- Verringerung von β_s
Verringerung der Windfahnenstabilität
- Erhöhung des Staudrucks am Seitenleitwerk : Stabilitätserhöhung
- Seitenkraft durch Propeller-Schräganblasung :
destabilisierend Y_β vor Schwerpunkt
stabilisierend Y_β hinter Schwerpunkt

Machzahl

vgl. Kap. 2.5.2
(Bild 41)

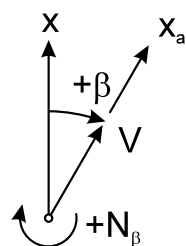


Bild 4.15

Unterschall : Prandtl-Glauert
Überschall : Ackeret

zur Berechnung der Beiwerte

4.2.2 Gierdämpfung

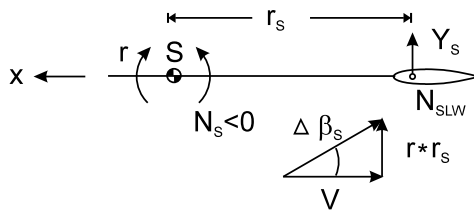


Bild 4.16

Giermoment durch Giergeschwindigkeit

Haupteinfluss : Seitenleitwerk

$$\begin{aligned}
 \text{Zusatz-Schiebewinkel :} \quad \Delta \beta_s &\approx \frac{-r \cdot r_s}{V} \quad (\Delta \beta_s \text{ klein}) \\
 \text{Seitenkraft} \quad Y_s &= -C_{Ys\beta_s} \frac{r \cdot r_s}{V} \bar{q}_s S_s \\
 \text{Dämpfendes Giermoment} \quad N_s &= -Y_s r_s = (N_r)_s r \\
 \text{Gierdämpfungsbeiwert} \quad \left(\frac{\partial C_n}{\partial \left(\frac{r \cdot r_s}{V} \right)} \right)_s &= (C_{nr})_s = C_{Ys\beta_s} \frac{\bar{q}_s}{\bar{q}} \frac{S_s}{S} \left(\frac{r_s}{s} \right)^2 \quad (4.6) \\
 &\text{des Seitenleitwerks}
 \end{aligned}$$

4.2.3 Giersteuerung

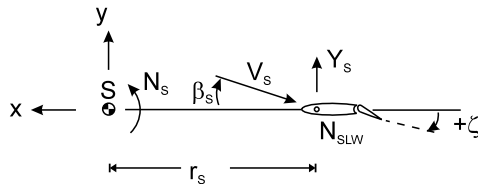


Bild 4.17

- **Giermoment** durch Seitenruderausschlag

$$\begin{aligned}
 N_S &= -Y_s r_s = -\bar{q}_s S_s r_s C_{Ys} \\
 C_{Ys} &= -C_{Ys\beta_s} \frac{\partial \beta_s}{\partial \zeta} \zeta \quad \text{da} \quad \beta_s = -\frac{\partial \beta_s}{\partial \zeta} \zeta, \text{ Seitenruderwirksamkeit} \\
 N_S &= \bar{q}_s S_s r_s C_{Ys\beta_s} \frac{\partial \beta_s}{\partial \zeta} \zeta \\
 &= \bar{q} S s C_{n\zeta} \zeta \\
 C_{n\zeta} &= \frac{\bar{q}_s}{\bar{q}} \frac{S_s}{S} \frac{r_s}{s} C_{Ys\beta_s} \frac{\partial \beta_s}{\partial \zeta} \quad (4.7)
 \end{aligned}$$

Seitenruder-Giermomentenbeiwert $C_{n\zeta} < 0$ wegen $C_{Ys\beta_s} < 0$

- **Richtungsstabilität bei losem Ruder**

Rudermoment (vgl. Längsbewegung, Gleichung 3.4-1)

$$C_{rs} = C_{r\beta_s} \beta_s + C_{r\zeta} \zeta$$

Schwimmwinkel ($C_{rs} = 0$)

$$\zeta_S = - \frac{C_{r\beta_S}}{C_{r\zeta}} \beta_S$$

damit

$$C_{Ys\beta_S,l} = \delta_{ls} C_{Ys\beta_S}$$

$$\delta_{ls} = 1 - \frac{C_{r\beta_S}}{C_{r\zeta}} \frac{\partial \beta_S}{\partial \zeta} \quad (\text{Ausweh-Faktor} < 1)$$

Ebenso Schiebegiermomentenbeiwert

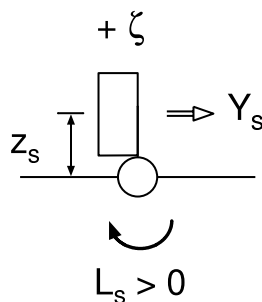
$$C_{n\beta_S,l} = \delta_{ls} C_{n\beta_S}$$

Reduktion der Windfahnenstabilität durch loses Ruder

Steuerkräfte analog zur Längsbewegung: Die Pedalkräfte hängen von der Stabilität bei losem Ruder ab (vgl. Kap. 3.4.2)

- **Seitenruder-Rollmoment**

- Höhendifferenz z_s des Seitenleitwerks-Druckpunktes zum Schwerpunkt des Flugzeugs \rightarrow Seitenruder ausschlag bewirkt Rollmoment



Ableitung wie bei
Giermoment durch Seitenruder

Bild 4.18

$$C_{l\zeta} = - \frac{\bar{q}_S}{\bar{q}} \frac{S_S}{S} \frac{z_S}{s} C_{Ys\beta_S} \frac{\partial \beta_S}{\partial \zeta} \quad ; \quad C_{l\zeta} > 0 \quad (4.8)$$

- **Seitenleitwerksgröße**

Bestimmend:

- Statische Richtungsstabilität ($C_{n\beta} > 0$)
- Start/Landung: Ausgleich von Seitenwind
- Einseitiger Antriebsausfall: Ausgleich des Gier-Störmomentes

4.3 Rollbewegung

4.3.1 Statische Rollstabilität

- **Auslenkung** aus der Horizontallage (Hängewinkel, Rollwinkel) Kein rückstellendes aerodynamisches Moment aufgrund des Rollwinkels:

$$\left. \begin{array}{ll} C_{l\phi} = 0 & \text{Rollbewegung} \\ C_{m\alpha} < 0 & \text{Nickbewegung} \\ C_{n\beta} > 0 & \text{Gierbewegung} \end{array} \right\} \text{ zum Vergleich}$$

(daher stationärer Kurvenflug ohne große Steuereingabe möglich) Künstliches $C_{l\phi}$ durch Regelung ("Rollagehaltung")

- **"Rollstabilität"** durch Kopplung von Rollen und Schieben

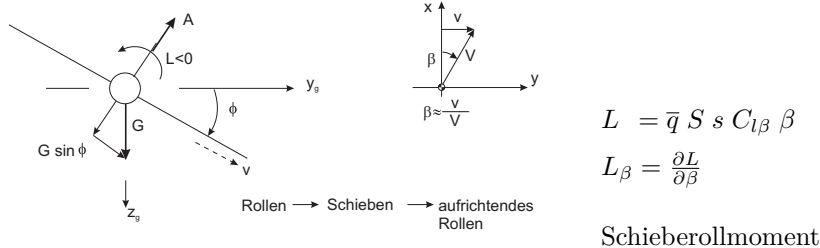


Bild 4.19

- **Forderung** für Rollstabilität Gesamtflugzeug

$$C_{l\beta} < 0 \quad (4.9)$$

- **Anteile**

$$C_{l\beta} = \underbrace{(C_{l\beta})_F}_{\text{Flügel}} + \underbrace{(C_{l\beta})_R}_{\text{Rumpf}} + \underbrace{(C_{l\beta})_S}_{\text{Seitenleitwerk}}$$

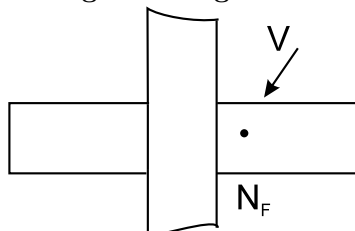
Flügel

- Wichtigste Flugzeug-Komponente für Entstehung von L_β

- Einflussgrößen

Streckung	Λ
Geometrie	
V-Stellung	ν
Pfeilung	φ

- **Schräganblasung**



Neutralpunktverschiebung in Anströmrichtung durch Schräganblasung
→ aufrichtendes Moment, abhängig von C_A

Bild 4.20

- Geometrie

 $|C_{l\beta})_F|$ wächst

- je kleiner Streckung Λ
- je größer Auftriebsbeiwert C_A
- je größer Pfeilwinkel φ

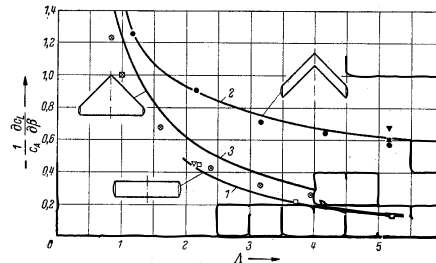


Bild 4.21 /9/

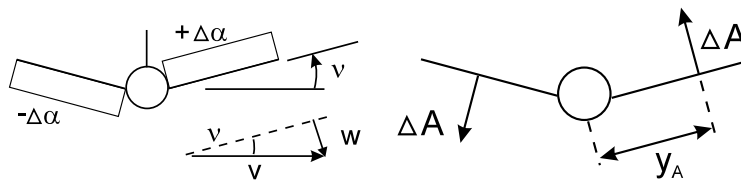


Bild 4.22

Geschwindigkeitskomponente w :	$-v \sin \nu$	$+v \sin \nu$
Anstellwinkel $\Delta\alpha$:	$-\frac{v}{V} \sin \nu$	$+\frac{v}{V} \sin \nu$
	$-\beta\nu$	$+\beta\nu$

Auftriebsänderung pro Flügel

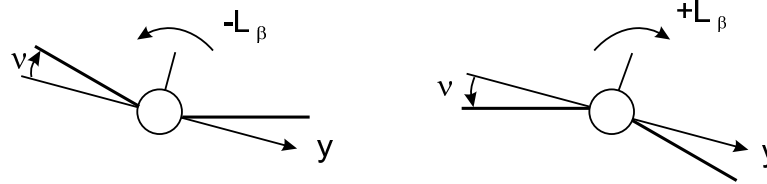
$$\Delta A = \frac{1}{2} C_{A\alpha} \Delta\alpha \bar{q} S = \frac{1}{2} C_{A\alpha} \beta\nu \bar{q} S$$

• Schieberollmoment durch V-Form

- $\nu > 0$: hängender Flügel erzeugt mehr Auftrieb woraus ein Schieberollmoment resultiert → Reduzierung des Hängewinkels
- $\nu < 0$: hängender Flügel erzeugt weniger Auftrieb → Vergrößerung des Hängewinkels

$$\begin{aligned} (L_\beta)_\nu &= (C_{l\beta})_\nu \bar{q} S s = -C_{A\alpha} \bar{q} S y_A \nu \\ \hookrightarrow (C_{l\beta})_\nu &= -C_{A\alpha} \frac{y_A}{s} \nu \end{aligned} \quad (4.10)$$

y_A : Angriffspunkt ΔA aus Auftriebsverteilung berechnen (z. B. elliptische Auftriebsverteilung: $\frac{y_A}{s} = 0,424$)



$v > 0$
 $C_{l\beta} < 0$
negatives

$v < 0$
 $C_{l\beta} > 0$
positives

Schieberollmoment
Rollbewegung

Vorzeichen: stabilisierend

destabilisierend

Bild 4.23

- Pfeilung

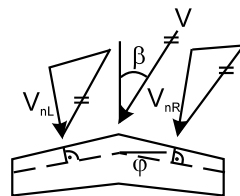


Bild 4.24

Maßgebend für Auftrieb:

Anströmgeschwindigkeit \perp zur $\frac{1}{4}$ -Linie

$$\begin{aligned} \text{Auftriebsanteile:} \quad A_R &= \frac{\rho}{2} V_{nR}^2 \frac{S}{2} C_A \quad ; \quad V_{nR} = V \cos(\varphi - \beta) \\ A_L &= \frac{\rho}{2} V_{nL}^2 \frac{S}{2} C_A \quad ; \quad V_{nL} = V \cos(\varphi + \beta) \end{aligned}$$

$$\begin{aligned} \text{Rollmoment} \quad L &= L_\beta \beta = A_L y_A - A_R y_A \\ &= \frac{\rho}{2} V^2 \frac{S}{2} \left\{ \cos^2(\beta + \varphi) - \cos^2(\beta - \varphi) \right\} C_A y_A \end{aligned}$$

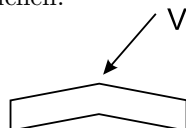
$$\text{mit} \quad \cos^2(a + b) - \cos^2(a - b) = -2 a \tan b$$

$$\text{wird} \quad (L_\beta)_\varphi = (C_{l\beta})_\varphi \bar{q} S s = -\frac{\rho}{2} V^2 S C_A \tan \varphi y_A$$

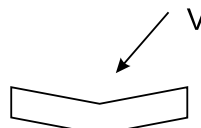
$$(C_{l\beta})_\varphi = -\tan \varphi \frac{y_A}{s} C_A \quad (4.11)$$

$\varphi > 0$: größere effektive Anströmgeschwindigkeit (senkrecht zur $\frac{1}{4}$ -Linie) auf Seite des hängenden Flügels
→ höherer Auftrieb auf angeströmter Seite woraus ein Schieberollmoment resultiert
→ Reduzierung des Hängewinkels

Vorzeichen:



$\varphi > 0$
 $\Delta C_{l\beta} < 0$
stabilisierend



$\varphi < 0$
 $\Delta C_{l\beta} > 0$
destabilisierend

Bild 4.25

Rumpf

Durch Rumpf alleine aufgrund Symmetrie kein Schieberollmoment Rumpf beeinflusst örtlichen Anstellwinkel am Flügel (vgl. Kap. 4.2.1)

• Flügellage

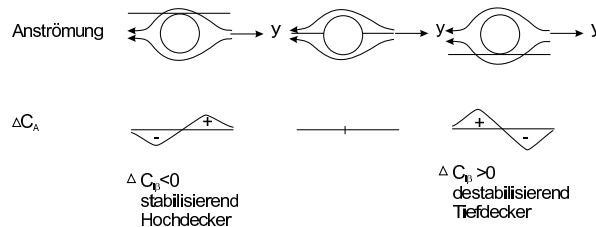


Bild 4.26

• Einfluss Rumpfquerschnitt /9/

Zusätzliches Schieberollmoment von Flügel-Rumpf-Anordnungen in Abhängigkeit von der Flügelhochlage für verschiedene Rumpfquerschnittsformen

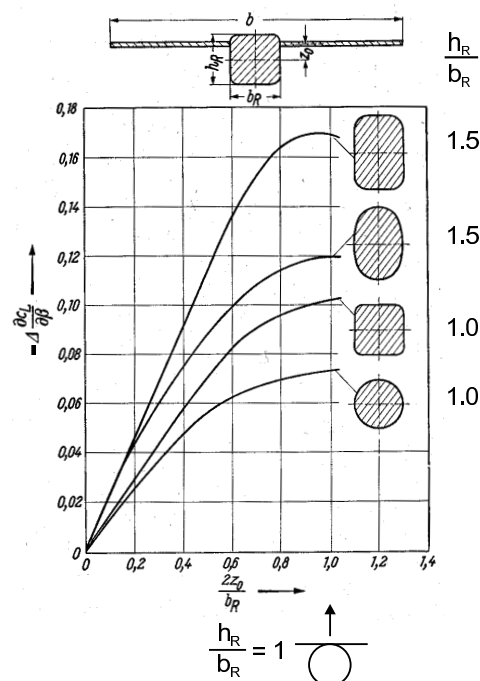


Bild 4.27

Seitenleitwerk

Rollmoment aufgrund der Seitenkraft des SLW beim Schieben

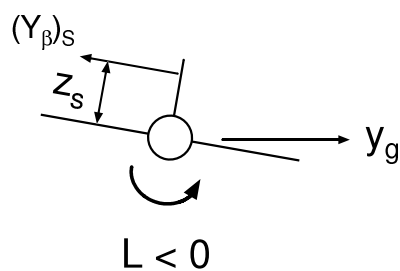


Bild 4.28

Rollmoment

$$\begin{aligned}
 (L_\beta)_S &= (Y_\beta)_S z_S \\
 &= (C_{Y\beta})_S \left(1 - \frac{\partial \varepsilon_S}{\partial \beta}\right) \bar{q}_S S_S z_S \\
 (C_{l\beta})_S &= (C_{Y\beta})_S \left(1 - \frac{\partial \varepsilon_S}{\partial \beta}\right) \frac{\bar{q}_S}{\bar{q}} \frac{S_S}{S} \frac{z_S}{s}
 \end{aligned}
 \quad (4.12)$$

$(C_{l\beta})_S < 0$ für $z_S > 0$ wegen $(C_{Y\beta})_S < 0$
 \rightarrow stabilisierend

Antrieb

Positives L_β durch
höheren Staudruck
→ destabilisierend

höherer
Staudruck \bar{q}

Propellernachlauf
beim Schieben

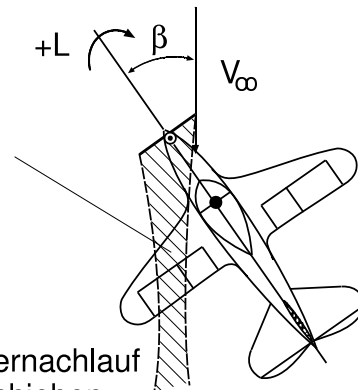
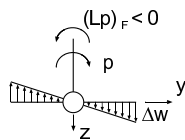


Bild 4.29

4.3.2 Rolldämpfung

- Der Rollbewegung entgegengerichtetes Rollmoment aufgrund der Rollgeschwindigkeit: Rolldämpfung L_p Anteile: Flügel, Seitenleitwerk



- Flügel

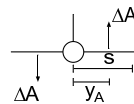


Bild 4.30

$$\Delta A = C_{A\alpha} \Delta \bar{\alpha} \bar{q} \frac{S}{2}$$

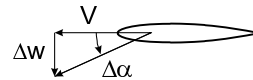


Bild 4.31

$$\begin{aligned} \Delta w &= p y \\ \Delta \alpha &= \frac{p y}{V} \\ \Delta \bar{\alpha} &= \frac{p s}{2 V} \end{aligned}$$

Mittlerer Anstellwinkel

Rollmoment

$$(L)_F = (L_p)_F p = -2 \Delta A y_A = -C_{A\alpha} \frac{p s}{2 V} \bar{q} S y_A = \left(\frac{\partial C_l}{\partial \left(\frac{p s}{V} \right)} \right)_F \frac{p s}{V} \bar{q} S s \quad (4.13)$$

$$\left(\frac{\partial C_l}{\partial \left(\frac{p s}{V} \right)} \right)_F = (C_{lp})_F = -C_{A\alpha} \frac{1}{2} \frac{y_A}{s} \quad \text{Rolldämpfungsbeiwert des Flügels} \quad (4.14)$$

Annahme : $y_A = \frac{1}{2} s$

Rolldämpfungsbeiwert: $(C_{lp})_F = -\frac{1}{4} C_{A\alpha} < 0$

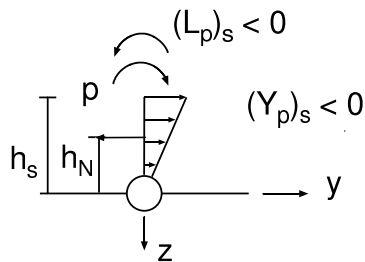
Traglinientheorie: Ungepfeilter Flügel mit elliptischer Auftriebsverteilung (vgl. Kap. 2.5.2)

$$(C_{lp})_F = -\frac{1}{4} \frac{C_{A\alpha, \Lambda=\infty}}{1 + \frac{C_{A\alpha, \Lambda=\infty}}{\pi \Lambda}} \quad (4.15)$$

Rolldämpfung wächst mit zunehmender Streckung Λ und mit zunehmendem Auftriebsbeiwert $C_{A\alpha}$.

Gute Roll-Manövrierfähigkeit: Geringe Streckung, geringes $C_{A\alpha}$

- Seitenleitwerk



$$\bar{\beta} = \frac{h_s p}{2V}$$

Mittlerer Schiebewinkel des Seitenleitwerks durch Rollgeschwindigkeit

Bild 4.32

Seitenkraft durch Rollgeschwindigkeit

$$(Y)_S = (Y_p)_S p = (C_{Y\beta})_S \bar{\beta} \bar{q}_S S_S = (C_{Y\beta})_S \frac{h_s p}{2V} \bar{q}_S S_S$$

Rollmoment

$$(L)_S = (L_p)_S p = \left(\frac{\delta C_l}{\delta \frac{p}{V}} \right)_S \frac{ps}{V} \bar{q} S s = (C_{Y\beta})_S \frac{h_s p}{2V} \bar{q}_S S_S h_N$$

Rolldämpfungsbeiwert des Seitenleitwerks

$$\left(\frac{\delta C_l}{\delta \frac{p}{V}} \right)_S = (C_{lp})_S = (C_{Y\beta})_S \frac{\bar{q}_S}{\bar{q}} \frac{S_S}{S} \frac{h_N}{2s^2} \quad (4.16)$$

Rolldämpfungsanteil wächst mit S_S , h_N , h_S

Hauptanteil Rolldämpfung durch Flügel

4.3.3 Rollsteuerung

- Querrudersteuerung - gegenseitiger Ausschlag der Querruder zur Auftriebsänderung an beiden Flügeln
- Spoilersteuerung - Spoilerausschlag zur Auftriebsreduzierung

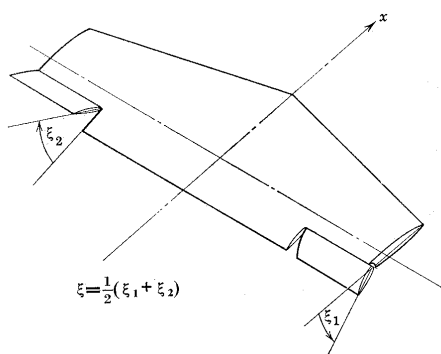


Bild 4.33

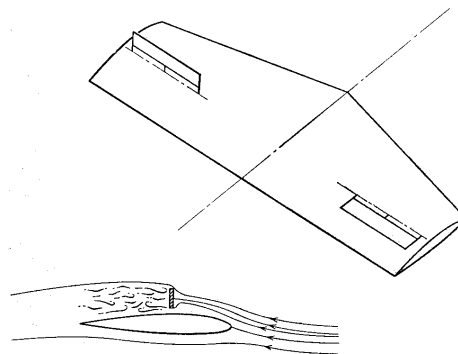
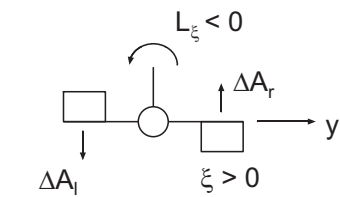


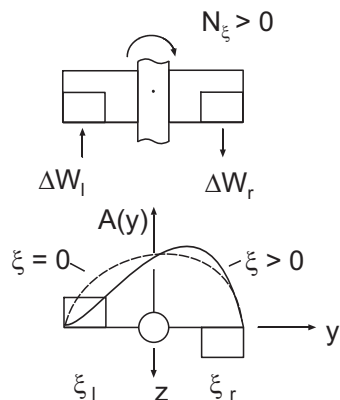
Bild 4.34

• Querrudersteuerung



- Rollmoment durch gegenseitigen Querruderausschlag

$$L(\xi) = C_{l\xi} \xi \bar{q} S s \quad (4.17)$$



- Giermoment durch Querruder (Widerstandsdifferenz)

$$N(\xi) = C_{n\xi} \xi \bar{q} S s \quad (4.18)$$

- Änderung der Auftriebsverteilung durch Querruderausschlag

Größerer Auftrieb → größerer Widerstand
hier $\Delta W_r > \Delta W_l$

Bild 4.35

→ Rollen bewirkt Gieren

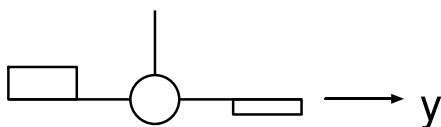
• Wirkung

$C_{l\xi} < 0$ Negatives Rollen durch Auftriebsänderung

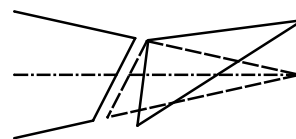
$C_{n\xi} > 0$ Positives Gieren durch Widerstandsänderung

$\frac{C_{l\xi}}{C_{n\xi}} < 0$ "Gegengieren": unerwünscht

Gegenmaßnahmen



Differenzierung



Fraseruder (Spoilerwirkung)

Bild 4.36

Kurvenkoordinierung durch zusätzlichen Seitenruderausschlag

$$\frac{\zeta}{\xi} > 0$$

• Spoilersteuerung

- Spoilerausschlag bewirkt Auftriebsreduzierung und Widerstandszunahme
- Rollmoment durch Auftriebsdifferenz
- Giermoment durch Widerstandsdifferenz

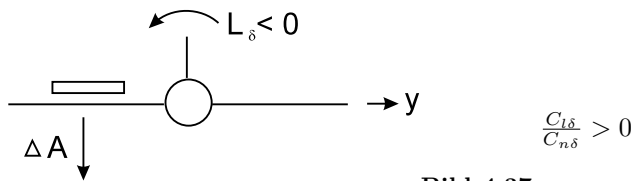
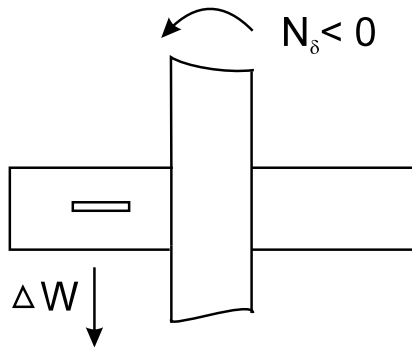


Bild 4.37



Positive Roll-Gierkopplung erwünscht
Nachteil: Widerstandserhöhung

Bild 4.38

Realisierung: Kopplung von Querruder- und Spoilersteuerung,
Abhängig von Fluggeschwindigkeit

4.3.4 Stationäres Rollen

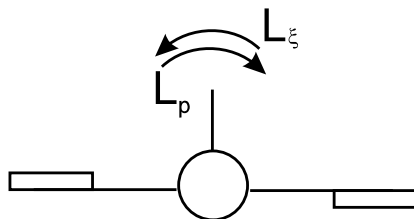


Bild 4.39

Gleichgewicht zwischen Rollmoment durch Querruderausschlag und Rollmoment durch Rollgeschwindigkeit (Rolldämpfung)

$$L_p p + L_\xi \xi = 0 \quad \text{d. h. Keine Rollbeschleunigung}$$

$$L_p p = \frac{\delta C_l}{(\delta \frac{p s}{V})} \frac{p s}{V} \bar{q} S s$$

$$L_\xi \xi = C_{l\xi} \xi \bar{q} S s$$

$$p = - \frac{C_{l\xi}}{C_{lp}} \frac{V}{s} \xi$$

Flugeigenschaftsanforderungen: $12^\circ/s - 130^\circ/s$

(Transport-, Kampfflugzeuge)

4.4 Kopplungen

4.4.1 Roll-Seitenkraft

- Seitenleitwerk

$$\beta_S = \frac{p h_s}{V} \cdot \frac{1}{2} \quad (4.19)$$

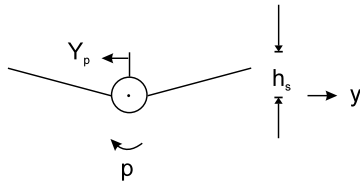


Bild 4.40

$$(Y)_S = (Y_p)_S p = (C_{Y\beta})_S \frac{p h_s}{2V} \bar{q}_S S_S$$

$$\left(\frac{\delta C_Y}{\delta \frac{p h_s}{V}} \right)_S = (C_{Yp})_S = \frac{1}{2} (C_{Y\beta})_S \frac{\bar{q}_S}{q} \frac{S_S}{S} \frac{h_S}{s} \quad (4.20)$$

Roll-Seitenkraft-Beiwert (vgl. Kap. 4.3.2 Rolldämpfung)

- Flügel

Seitenkraft durch
V-Form

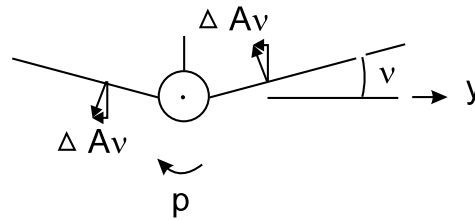


Bild 4.41

4.4.2 Gier-Rollmoment

- Flügel

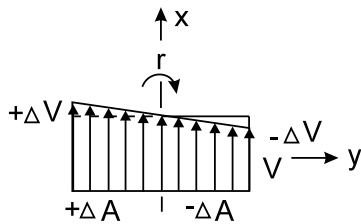


Bild 4.42

Änderung der Anströmung
durch Gierbewegung

$$(C_{lr})_F = \left(\frac{\delta C_l}{\delta \frac{r}{V}} \right)_F > 0 \quad \text{Abhängig von } C_A \text{ und } \Lambda$$

- Seitenleitwerk

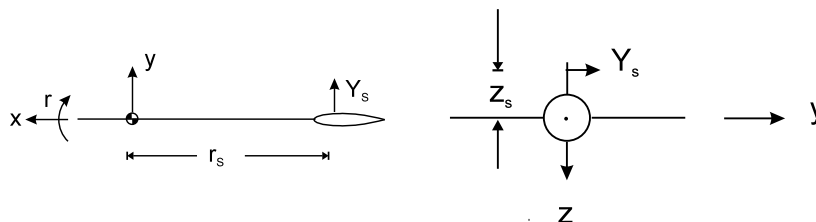


Bild 4.43

$$(C_{lr})_S = \left(\frac{\delta C_l}{\delta \frac{r}{V}} \right)_S > 0 \quad \text{Abhängig von } r_S \text{ und } z_S$$

4.4.3 Roll-Giermoment

- Flügel

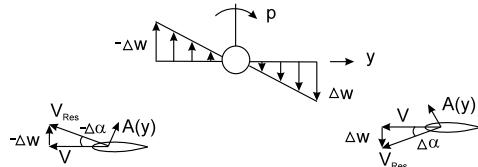


Bild 4.44

$$(C_{np})_F = \left(\frac{\delta C_n}{\left(\delta \frac{p}{V} \right)} \right)_F > 0 \quad \begin{array}{l} - \text{Positiver Anteil durch höheren} \\ \text{induzierten Widerstand } (C_{Wi} \sim C_A^2) \\ - \text{Negativer Anteil durch} \\ \text{Kippen des Auftriebsvektors} \end{array} \quad (4.21)$$

- Seitenleitwerk

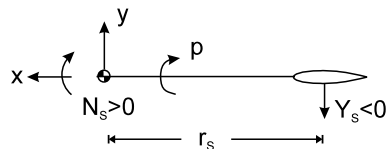


Bild 4.45

$$(C_{np})_S = \left(\frac{\delta C_n}{\left(\delta \frac{r}{V} \right)} \right)_S > 0 \quad - \text{Positives Giermoment durch positive Rollgeschwindigkeit}$$

4.5 Derivative der Seitenbewegung

Übersicht: Direkte Derivative, Kapitelnummer

	β	p	r	ξ	ζ
Y	Y_β 4.2.1	Y_p 4.4.1	Y_r 4.2.2	Y_ξ 4.3.3	Y_ζ 4.2.3
L	L_β 4.3.1	L_p 4.3.2	L_r 4.4.2	L_ξ 4.3.3	L_ζ 4.2.3
N	N_β 4.2.1	N_p 4.4.3	N_r 4.2.2	N_ξ 4.3.3	N_ζ 4.2.3

$$N = N_\beta \beta + N_p p + \dots \quad (4.22)$$

4.6 Stationärer Flug

- Konstante Fluggeschwindigkeit ($V = V_0$)
- Keine Beschleunigungen ($\dot{\beta} = \dot{p} = \dot{r} = 0$); Konstanter Hängewinkel ($\dot{\phi} = p = 0$)

- Aerodynamische Kräfte und Momente, vereinfacht

	β	p	r	ξ	ζ
Y	Y_β	—	—	—	—
L	L_β	—	L_r	L_ξ	—
N	N_β	—	N_r	—	N_ζ

4.6.1 Kurvenflug

Kein Wind $V = V_0 = \text{const}$
Hängewinkel $\phi = \text{const}$
Azimutänderung $\dot{\psi} = \text{const}$
Giergeschwindigkeit $r = \text{const}$
Schiebewinkel $\beta = 0$
(idealer Kurvenflug)

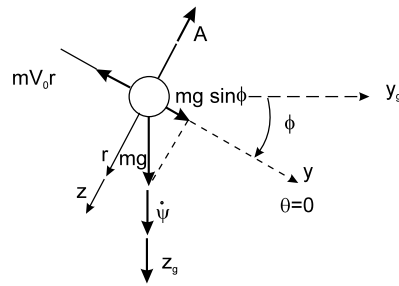


Bild 4.46

- Gleichgewicht:

$$\begin{aligned} Y = 0 &= -m V_0 r + m g \sin \phi \\ L = 0 &= L_r r + L_\xi \xi \\ N = 0 &= N_r r + N_\zeta \zeta \end{aligned} \quad (4.23)$$

- Querkräfte: $\sin \phi = \frac{V_0}{g} r$; $r = \dot{\psi} \cos \phi$; $\tan \phi = \frac{V_0}{g} \dot{\psi}$
- Vertikalkräfte: $A \cos \phi = m g$
- Lastvielfaches

$$\begin{aligned} n = \frac{A}{G} &= \frac{1}{\cos \phi} = \sqrt{1 + \tan^2 \phi} \\ \tan \phi &= \sqrt{n^2 - 1} = \frac{V_0}{g} \dot{\psi} \end{aligned} \quad (4.24)$$

Mit zunehmender Fluggeschwindigkeit werden Hängewinkel ϕ und Lastvielfaches n bei gleicher Drehgeschwindigkeit $\dot{\psi}$ größer

- Querruderausschlag

$$\xi = -\frac{C_{lr}}{C_{l\xi}} \frac{s}{V_0} r = -\frac{s}{V_0} \frac{C_{lr}}{C_{l\xi}} \dot{\psi} \cos \phi = -\frac{sg}{V_0^2} \frac{C_{lr}}{C_{l\xi}} \sin \phi \quad (4.25)$$

- Seitenruderausschlag

$$\zeta = -\frac{C_{nr}}{C_{n\zeta}} \frac{s}{V_0} r = -\frac{s}{V_0} \frac{C_{nr}}{C_{n\zeta}} \dot{\psi} \cos \phi = -\frac{sg}{V_0^2} \frac{C_{nr}}{C_{n\zeta}} \sin \phi \quad (4.26)$$

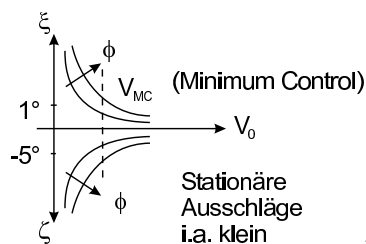


Bild 4.47

- Erforderliche Ruderausschläge nehmen mit abnehmender Fluggeschwindigkeit zu

$$\zeta = \frac{C_{nr}}{C_{lr}} \frac{C_{l\xi}}{C_{n\zeta}} < 0$$

$$\begin{array}{ll} C_{l\xi} < 0 & C_{n\zeta} < 0 \\ C_{nr} < 0 & C_{lr} > 0 \end{array}$$

Gierdämpfung

4.6.2 Schiebeflug

Geradeausflug mit großem Schiebewinkel bei

- Seitenwindlandung
- Steilanflug (Widerstandsvergrößerung $\gamma \sim \frac{C_W}{C_A}$) \rightarrow "Slip"

Bedingungen

Kein Rollen $p = 0$

Kein Gieren $r = 0$

$$\rightarrow \dot{\psi} = 0$$

Bahnazimut-
änderung $\chi = \psi + \beta = 0$

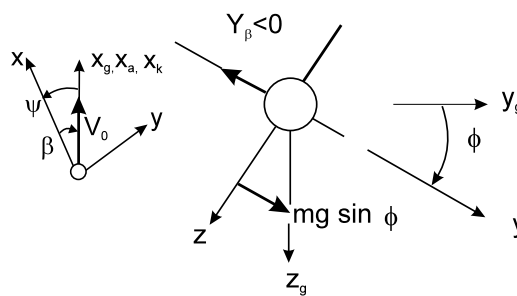


Bild 4.48

• Gleichgewicht

$$Y = 0 = Y_\beta \beta + m g \sin \phi$$

$$L = 0 = L_\beta \beta + L_\xi \xi$$

$$N = 0 = N_\beta \beta + N_\zeta \zeta \quad (4.27)$$

• Querkräfte

$$\sin \phi = -\frac{Y_\beta}{m g} \beta = -\frac{Y_\beta}{A} n \beta = -\frac{C_{Y\beta}}{C_A} n \beta$$

$$\beta = -\frac{C_A \sin \phi}{n C_{Y\beta}} \approx -\frac{C_A}{C_{Y\beta}} \frac{1}{n} \phi \quad (4.28)$$

Flugeigenschaftsforderung: positives Schieben \rightarrow positiver Hängewinkel

$$\hookrightarrow \frac{\phi}{\beta} > 0, \text{ wegen } C_{Y\beta} < 0 \text{ i. a. erfüllt}$$

• Querruderausschlag

$$\xi = -\frac{C_{l\beta}}{C_{l\xi}} \beta = \frac{C_{l\beta}}{C_{l\xi}} \frac{C_A}{n} \frac{\sin \phi}{C_{Y\beta}} \quad (4.29)$$

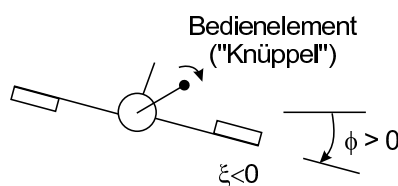


Bild 4.49

Flugeigenschaftsforderung: positiver Hängewinkel \rightarrow Knüppel nach rechts

$\hookrightarrow \frac{\xi}{\phi} < 0$, wegen $C_{l\xi} < 0$ und $C_{Y\beta} < 0$ folgt $C_{l\beta} < 0$ "Rollstabilität"

- Seitenruderausschlag

$$\zeta = -\frac{C_{n\beta}}{C_{n\zeta}} \beta = \frac{C_{n\beta}}{C_{n\zeta}} \frac{C_A}{n} \frac{\sin \phi}{C_{Y\beta}} \quad (4.30)$$

Wegen $C_{n\beta} > 0$ (Windfahnenstabilität) $C_{n\zeta} < 0$

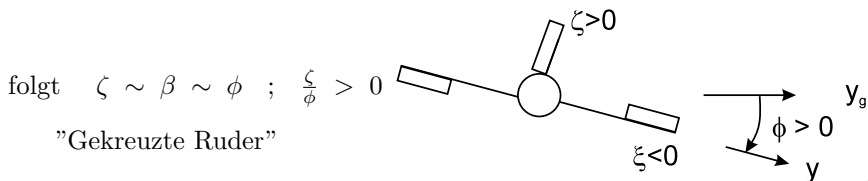


Bild 4.50

4.6.3 Einmotorenflug

Aufgabe: Nach Ausfall stationärer Geradeausflug, d. h. $p = 0$, $r = 0$

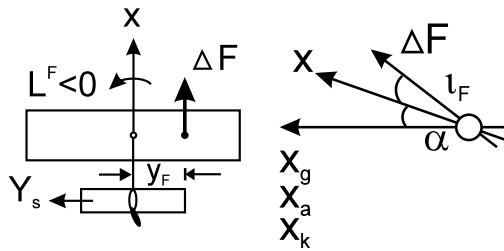


Bild 4.51

- Störungen durch Ausfall

Schub $\Delta F = C_f \bar{q} S$, $f = \Delta F$

Rollmoment $L^F = -\Delta F y_F \sin(\alpha + i_F)$ $\frac{\delta L^F}{(\Delta F)} = L_f$

Giermoment $N^F = -\Delta F y_F \cos(\alpha + i_F)$ $\frac{\delta N^F}{(\Delta F)} = N_f$

- Gleichgewicht

$$\begin{aligned} Y = 0 &= Y_\beta \beta + m g \sin \phi \\ L = 0 &= L_\beta \beta + L_f f + L_\xi \xi \\ N = 0 &= N_\beta \beta + N_f f + N_\zeta \zeta \end{aligned} \quad (4.31)$$

... Gleichgewicht

$$\begin{aligned} 0 &= C_{Y\beta} \beta + C_A \sin \phi \\ 0 &= C_{l\beta} \beta - C_f \frac{y_F}{s} \sin(\alpha + i_F) + C_{l\xi} \xi \\ 0 &= C_{n\beta} \beta - C_f \frac{y_F}{s} \cos(\alpha + i_F) + C_{n\zeta} \zeta \end{aligned}$$

- Anforderung: Reiseflug $\beta = 0 \hookrightarrow \phi = 0$ (s. Seitenkräfte)

- Querruderausschlag

$$\xi = \frac{C_f}{C_{l\xi}} \frac{y_F}{s} \sin(\alpha + i_F) < 0 \quad \text{wegen } C_{l\xi} < 0$$

- **Seitenruderausschlag**

$$\zeta = \frac{C_f}{C_{n\zeta}} \frac{y_F}{s} \cos(\alpha + i_F) < 0 \quad \text{wegen } C_{n\zeta} < 0$$

$$\hookrightarrow \frac{\xi}{\zeta} = \frac{C_{n\zeta}}{C_{l\xi}} \tan(\alpha + i_F) > 0$$

- **Beispiel:** Triebwerksausfall linke Seite

- durch Triebwerksausfall auf linker Seite giert das Flugzeug aufgrund ΔF
- entgegenwirkendes Giermoment durch Seitenruderausschlag
- Seitenruderausschlag erzeugt Rollmoment
- entgegenwirkendes Rollmoment durch Querruderausschlag

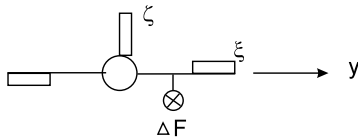


Bild 4.52

Seitenruderausschlag

Schub: $\Delta F \sim V^{n_F}$

$$\hookrightarrow C_f = \frac{\Delta F}{\frac{\rho}{2} V^2 S} \sim \frac{1}{V^2}$$

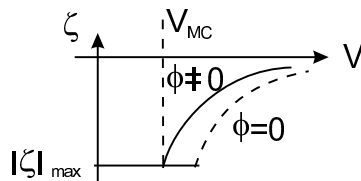
 $n_F = -1$ Propeller-/Fantriebwerk $n_F = 0$ Turboluftstrahltriebwerk $n_F = 2$ StaustrahltriebwerkFür $\phi \neq 0$ d. h. $\beta \neq 0$
kann V_{MC} gesenkt werden

Bild 4.53

5 Bewegungsgleichungen

5.1 Grundlagen

- **Stationäre Flugzustände**
 - Bedingungen für Gleichgewicht von Kräften/Momenten ("Statik")
 - Zeitunabhängig
 - Beschreibung durch algebraische Gleichungen
- **Dynamische Vorgänge**
 - Beschreibung der Bewegung bei Störung des Gleichgewichts
 - Zeitabhängig
 - Beschreibung durch Differentialgleichungen

- **Bewegungsgleichung**, allgemeiner Fall:

Nichtlineare Differentialgl. mit nichtlinearen, zeitvariablen Koeffizienten

↓

z. B. Kopplungen von
Drehgeschwindigkeiten

↓

z. B. geschwindigkeits-
abhängige Kräfte

↓

z. B. durch
Massenänderung

- **Vereinfachungen**
 - Betrachtung von kleinen Abweichungen zu Bezugszustand (Linearisierung)
 - Trennen von schwach gekoppelten, schnellen/langsamen Bewegungen
- **Betrachtung primärer Einflussgrößen**

	Moment	Derivativ	Dämpfung	Anregung
x	L	$C_{l\beta}$	C_{lp}	$C_{l\xi}$
y	M	$C_{m\alpha}$	C_{mq}	$C_{m\eta}$
z	N	$C_{n\beta}$	C_{nr}	$C_{n\zeta}$

5.1.1 Beschreibungsformen

5.1.1.1 Differentialgleichung

- Gewöhnliche Differentialgleichung

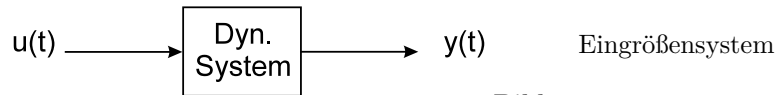


Bild 5.1

$$a_n y^{(n)} + a_{n-1} y^{(n-1)} + \dots + a_0 = b_m u^{(m)} + b_{m-1} u^{(m-1)} + \dots + b_0 \quad (5.1)$$

$$y = y(t), \quad u = u(t), \quad y^{(n)} = \frac{d^n y}{dt^n} \quad \text{etc.}$$

- Beispiel: Schwinger

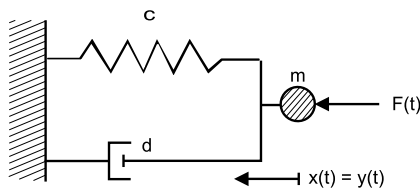


Bild 5.2

$$\begin{aligned} m \ddot{x}(t) &= F(t) - d \dot{x}(t) - c x(t) \\ \ddot{x}(t) + \frac{d}{m} \dot{x}(t) + \frac{c}{m} x(t) &= \frac{F(t)}{m} \\ \ddot{x}(t) + a_1 \dot{x}(t) + a_0 x(t) &= b_0 u(t) \end{aligned} \quad (5.2)$$

Lineare Dgl. 2. Ordnung mit konst. Koeffizienten

- Zustandsgleichung

Umformung mit $x_1 = x$, $x_2 = \dot{x}$ in 2 Dgln. 1. Ordnung

$$\begin{aligned} \text{ergibt} \quad \begin{bmatrix} \dot{x}_1 \\ \dot{x}_2 \end{bmatrix} &= \begin{bmatrix} 0 & 1 \\ -a_0 & -a_1 \end{bmatrix} \begin{bmatrix} x_1 \\ x_2 \end{bmatrix} + \begin{bmatrix} 0 \\ b_0 \end{bmatrix} u \\ y &= x_1 \end{aligned} \quad (5.3)$$

Zustandsgleichung in Regelungs-Normalform

- Signalflussdiagramm

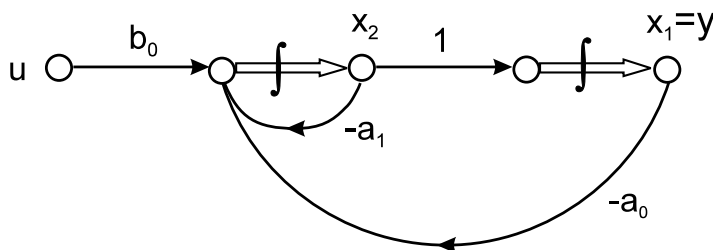
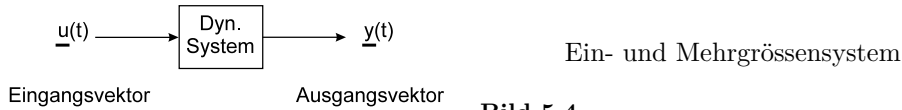


Bild 5.3

- 5.1.1.2 Zustandsgleichung

- Allgemeiner Fall:

Vektor-Differentialgleichung nichtlinear, zeitvariabel



$$\begin{aligned}\dot{\underline{x}} &= \underline{f}(\underline{x}, \underline{u}, t) && \text{– Zustandsdifferentialgleichung} \\ \underline{x}(n) &\text{Zustandsvektor, } \underline{u}(l) \text{ Eingangs-, Stellvektor} \\ \underline{y} &= \underline{g}(\underline{x}, \underline{u}, t) && \text{– Ausgangsgleichung} \\ \underline{y}(m) &\text{Ausgangsvektor}\end{aligned}\tag{5.4}$$

- Linearisierung (Beispiel: Zeitinvariant)

$$\begin{aligned}\underline{x} &= \underline{x}_0 + \Delta \underline{x} && x_0, u_0 : \text{stationärer Zustand} \\ \underline{u} &= \underline{u}_0 + \Delta \underline{u}\end{aligned}$$

$$\begin{aligned}(\underline{x}_0 + \Delta \underline{x})^\bullet &= \underline{f}[(\underline{x}_0 + \Delta \underline{x}), (\underline{u}_0 + \Delta \underline{u})] \\ &= \underline{f}(\underline{x}_0, \underline{u}_0) + \left(\frac{\delta \underline{f}}{\delta \underline{x}}\right)_0 \Delta \underline{x} + \left(\frac{\delta \underline{f}}{\delta \underline{u}}\right)_0 \Delta \underline{u} + \dots\end{aligned}\quad \text{Taylor-Reihe}$$

mit

$$\begin{aligned}\left(\frac{\underline{f}}{\underline{x}}\right)_0 &= \begin{bmatrix} \frac{\delta f_1}{\delta x_1} & \dots & \frac{\delta f_1}{\delta x_n} \\ \vdots & & \vdots \\ \frac{\delta f_n}{\delta x_1} & & \frac{\delta f_n}{\delta x_n} \end{bmatrix}_0 && \left(\frac{\delta \underline{f}}{\delta \underline{u}}\right)_0 = \begin{bmatrix} \frac{\delta f_1}{\delta u_1} & \dots & \frac{\delta f_1}{\delta u_l} \\ \vdots & & \vdots \\ \frac{\delta f_n}{\delta u_1} & & \frac{\delta f_n}{\delta u_l} \end{bmatrix}_0 \\ &= \underline{A}(n, n) && = \underline{B}(n, l) \\ &\text{Dynamikmatrix} && \text{Eingangsmatrix}\end{aligned}$$

ebenso

$$\begin{aligned}\left(\frac{\delta \underline{g}}{\delta \underline{x}}\right)_0 &= \underline{C}(m, n) && \left(\frac{\delta \underline{g}}{\delta \underline{u}}\right)_0 = \underline{D}(m, l) \\ &\text{Ausgangsmatrix} && \text{Durchgangsmatrix}\end{aligned}$$

Ergebnis: n lineare Differentialgleichungen 1. Ordnung
für die Abweichungen vom stationären Zustand

$$\begin{aligned}\dot{\underline{x}}(t) &= \underline{A} \underline{x}(t) + \underline{B} \underline{u}(t) && \Delta \text{ weggelassen!} \\ \underline{y}(t) &= \underline{C} \underline{x}(t) + \underline{D} \underline{u}(t)\end{aligned}\tag{5.5}$$

- Darstellung

Signalflussdiagramm

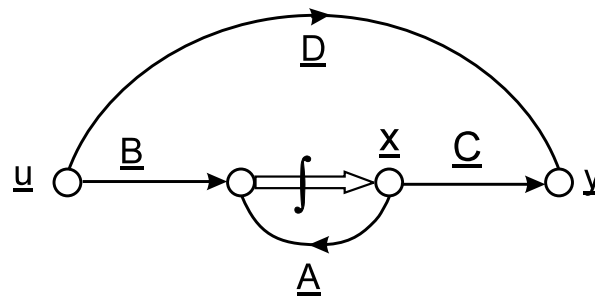


Bild 5.5

Blockschaltbild

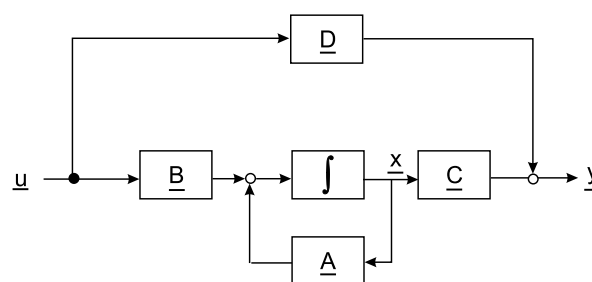


Bild 5.6

5.1.2 Lösungsverfahren

5.1.2.1 Simulation

Integration der Zustands(differential)gleichungen

$$\dot{\underline{x}} = \underline{f}(\underline{x}, \underline{u})$$

$$\underline{x}(t_{k+1}) = \underline{x}(t_k) + \Delta \underline{x}(t_k)$$

$$\text{mit} \quad \Delta \underline{x}(t_k) = \int_{t_k}^{t_{k+1}} \underline{f}(\underline{x}, \underline{u}) d\tau \quad k = 0, 1, 2 \dots N$$

$$\underline{y}(t_{k+1}) = \underline{g}(\underline{x}, \underline{u}) \quad (5.6)$$

- Da $\Delta \underline{x}$ numerisch berechnet wird, ist das Lösungsverfahren auch für nichtlineare und zeitvariable Systeme anwendbar
- Durch numerische Integration vergleichsweise langsam (besonders bei großen Systemen)

5.1.2.2 Zeitbereich

- **Skalare Dgl**

$$\dot{x}(t) = a x(t) + b u(t)$$

Lösung $x(t) = e^{at} x(0) + \int_0^t e^{a(t-\tau)} b u(\tau) d\tau$ (Euler)

- **Vektor-Dgl**

$$\dot{\underline{x}} = \underline{A} \underline{x} + \underline{B} \underline{u}$$

Lösung $\underline{x}(t) = e^{\underline{A}(t-t_0)} \underline{x}(t_0) + \int_{t_0}^t e^{\underline{A}(t-\tau)} \underline{B} \underline{u}(\tau) d\tau$

$$\underline{\phi} = e^{\underline{A}(t-t_0)} \quad \text{Transitionsmatrix}$$

$$e^{\underline{A}t} = \underline{I} + \underline{A}t + \underline{A}^2 \frac{t^2}{2!} + \dots = \sum_{\nu=0}^{\infty} \frac{(\underline{A}t)^\nu}{\nu!}$$

Matrixexponentialfunktion

5.1.2.3 Frequenzbereich (Laplace-Bereich, Bild-Bereich)

- **Laplace-Transformation**

$$f(t) \xrightarrow{\bullet} F(s): \quad F(s) = \mathcal{L}\{f(t)\} = \int_0^{\infty} f(t) e^{-st} dt \quad (5.7)$$

$$F(s) \xrightarrow{\bullet} f(t): \quad f(t) = \mathcal{L}^{-1}\{F(s)\} = \frac{1}{2\pi j} \int_{c-j\infty}^{c+j\infty} F(s) e^{st} dt \quad (5.8)$$

$$\begin{array}{ll} s = \sigma \pm j\omega & \text{Komplexe Variable (Laplace-Variable)} \\ c & \text{Positive Konstante} \\ f(t) = 0 & \text{für } t \leq 0 \end{array}$$

- **Eigenschaften**

- Die lineare Differentialgleichung wird in eine algebraische Gleichung mit der komplexen Variablen s umgeformt
- Man erhält in einem Schritt die Lösung im Frequenzbereich unter Berücksichtigung von Anregung und Anfangsbedingung
- Einfaches Zusammenschalten mehrerer Elemente
- Einfache Stabilitätsbetrachtungen
- Rücktransformation i. d. Zeitbereich mit Korrespondenztabelle

- **Rechenregeln**

- Linearität: $c_1 f_1(t) + c_2 f_2(t) \quad \circ \longrightarrow \bullet \quad c_1 F_1(s) + c_2 F_2(s)$
- Verschiebung: $f(t - \tau) \quad \circ \longrightarrow \bullet \quad F(s) e^{-s\tau} (\tau \geq 0)$
- Differentiation: $\dot{f}(t) \quad \circ \longrightarrow \bullet \quad sF(s) - f(-0)$
- $\ddot{f}(t) \quad \circ \longrightarrow \bullet \quad s^2 F(s) - sf(-0) - \dot{f}(-0)$
- $f^{(n)}(t) \quad \circ \longrightarrow \bullet \quad s^n F(s) - \sum_{k=1}^n s^{n-k} \frac{d^{k-1}}{dt^{k-1}} f(-0)$
- Integration: $\int_0^t f(\tau) d\tau \quad \circ \longrightarrow \bullet \quad \frac{1}{s} F(s)$
- Grenzwerte: $\lim_{t \rightarrow 0} f(t) = \lim_{s \rightarrow \infty} sF(s)$
 $\lim_{t \rightarrow \infty} f(t) = \lim_{s \rightarrow 0} sF(s)$

- **Einige Korrespondenzen**

Bildbereich, $F(s)$	Zeitbereich, $f(t)$
1	$\delta(t)$
$\frac{1}{s}$	$1(t)$
$\frac{1}{s^2}$	t
$\frac{1}{(s-a)^n}$	$\frac{t^{n-1}}{(n-1)!} e^{at} \quad n = 1, 2, \dots$
$\frac{\omega_0^2}{s^2 + 2D\omega_0 s + \omega_0^2}$	$\left. \begin{aligned} &\frac{\omega_0}{\sqrt{1-D^2}} e^{\sigma t} \sin \omega t \\ &1 - e^{\sigma t} \left[\cos \omega t + \frac{D}{\sqrt{1-D^2}} \sin \omega t \right] \end{aligned} \right\} \begin{aligned} \sigma &= -D\omega_0 \\ \omega &= \omega_0 \sqrt{1-D^2} \\ D &< 1 \end{aligned}$
$\frac{\omega}{s^2 + \omega^2}$	$\sin \omega t$
$\frac{s}{s^2 + \omega^2}$	$\cos \omega t$

• **Übertragungsfunktion** (Eingrößensystem)

Verhältnis des laplacetransformierten Ausgangssignals $Y(s)$ zum laplacetransformierten Eingangssignal $U(s)$



Bild 5.7

Beispiel Schwinger

– Differentialgleichung $\ddot{x}(t) + a_1 \dot{x}(t) + a_0 x(t) = b_0 u(t) \quad y(t) = x(t)$

$x(0) = 0; \dot{x}(0) = 0$

– Laplace-transformiert $X(s) [s^2 + a_1 s + a_0] = b_0 U(s)$

– Übertragungsfunktion $\frac{X(s)}{U(s)} = \frac{b_0}{s^2 + a_1 s + a_0} = G(s) = \frac{Z(s)}{N(s)}$

hier $Y(s) = X(s)$

$Z(s)$ Zählerpolynom

$N(s)$ Nennerpolynom

• **Übertragungsmatrix** (Mehrgrößensystem)

– Zustandsgleichung $\dot{\underline{x}}(t) = \underline{A} \underline{x}(t) + \underline{B} \underline{u}(t) \quad \underline{x}(t_0) = 0$

$\underline{y}(t) = \underline{C} \underline{x}(t) + \underline{D} \underline{u}(t)$

– Laplace-transformiert $s \underline{X}(s) = \underline{A} \underline{X}(s) + \underline{B} \underline{U}(s)$

$\underline{X}(s) = (s \underline{I} - \underline{A})^{-1} \underline{B} \underline{U}(s)$

$\underline{Y}(s) = [\underline{C} (s \underline{I} - \underline{A})^{-1} \underline{B} + \underline{D}] \underline{U}(s) = \underline{G}(s) \underline{U}(s)$

– Übertragungsmatrix $\underline{G}(s) = \frac{1}{|s \underline{I} - \underline{A}|} \underline{C} (s \underline{I} - \underline{A})_{adj} \underline{B} + \underline{D} \quad (\text{ÜM}) \quad (5.9)$

Gemeinsamer Nenner $|\underline{N}(s)| = |s \underline{I} - \underline{A}| \quad (5.10)$

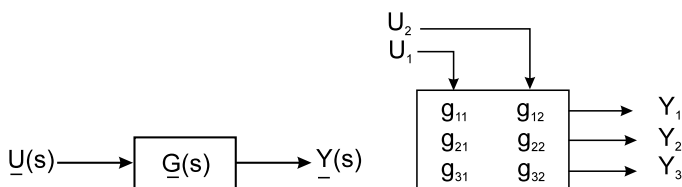


Bild 5.8

$Y_1(s) = g_{11} U_1(s) + g_{12} U_2(s) \quad \text{usw.}$

5.1.3 Dynamisches Verhalten

5.1.3.1 Eigenverhalten Verhalten ohne Anregungsfunktion $u(t)$ (homogene Lösung)

- **Skalare Dgl.**

Charakteristische Gleichung: linke Seite der Dgl bzw. Nenner der Übertragungsfunktion

$$a_n s^n + a_{n-1} s^{n-1} + \dots + a_0 = 0 \quad (5.11)$$

Vektorielle Dgl. (Zustandsgleichung)

Determinante: $|s \underline{I} - \underline{A}| = 0$

$$\text{z. B. } \begin{vmatrix} s - a_{11} & a_{12} \\ a_{21} & s - a_{22} \end{vmatrix} = s^2 + (-a_{11} - a_{22})s + a_{11}a_{22} - a_{12}a_{21} = 0$$

Die Wurzeln der charakteristischen Gleichung sind die Pole der Übertragungsfunktion.

- **Beispiel:** System 1. Ordnung

- Dgl.

$$\dot{y}(t) + a y(t) = b u(t)$$

- L-Transformiert

$$s Y(s) + a Y(s) - y(0) = b U(s)$$

- ÜF

$$Y(s) = \frac{y(0)}{s+a} + \frac{b U(s)}{s+a}$$

homogen partikulär

- Pol

$$s = -a$$

- Komplexe Zahlenebene

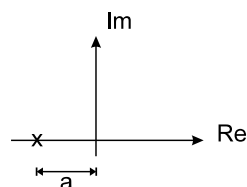


Bild 5.9

- Zeitverlauf

$$y(t) = y(0) e^{-at}$$

(Rücktransformation)

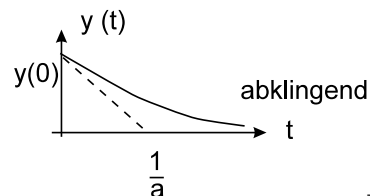


Bild 5.10

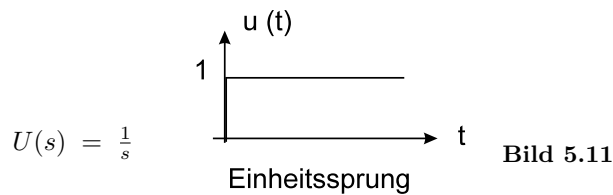
5.1.3.2 Führungsverhalten

Verhalten des Ausgangssignals $y(t)$ auf Eingangssignal $u(t)$ z. B. $y(t) = q(t)$ Nickgeschwindigkeit $u(t) = \eta(t)$ Höhenruder

- Übertragungsfunktion, allgemein

$$G(s) = \frac{Y(s)}{U(s)} = \frac{b_0 + b_1 s + \dots + b_n s^n}{a_0 + a_1 s + \dots + a_n s^n} \quad (5.12)$$

Sprungantwort (Übergangsfunktion)



Grenzwertsatz

$$\lim_{t \rightarrow 0} y(t) = \lim_{s \rightarrow \infty} s Y(s) = \lim_{s \rightarrow \infty} s G(s) \frac{1}{s} = \lim_{s \rightarrow \infty} G(s)$$

$$\lim_{t \rightarrow \infty} y(t) = \lim_{s \rightarrow 0} s Y(s) = \lim_{s \rightarrow 0} s G(s) \frac{1}{s} = \lim_{s \rightarrow 0} G(s)$$

Zeitverlauf

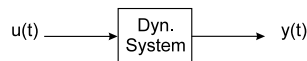


Bild 5.12 Sprungantwort (SA)

- **Beispiel:** System 1. Ordnung, $a = 0$, $y(0) = 0$

- Dgl. $\dot{y}(t) = b u(t)$
- L-Transformiert $Y(s) = \frac{b}{s} U(s)$
- Pol $s = 0$
- Komplexe Zahlenebene - Zeitverlauf, $U(s) = \frac{1}{s}$

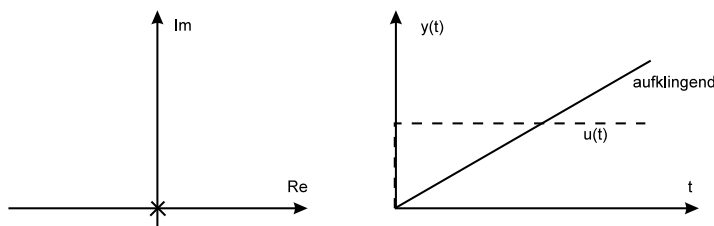


Bild 5.13

- **Stabilität** Ein dynamisches System heißt stabil, wenn jede beschränkte Änderung einer Eingangsgröße auch eine beschränkte Änderung der Ausgangsgröße hervorruft. \rightarrow Die Pole eines stabilen Systems liegen links der imaginären Achse (linke Halbebene)

- **Beispiel:** System 1. Ordnung, $a > 0$, $y(0) = 0$

- ÜF $G(s) = \frac{b}{s+a} = \frac{K}{1+T s} \quad K = \frac{b}{a} \quad \text{Stationärwert, Verstärkung}$

$T = \frac{1}{a} \quad \text{Zeitkonstante}$

- SA $y(t) = K (1 - e^{-\frac{t}{T}})$

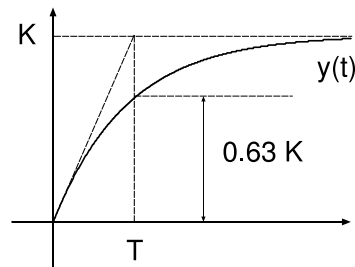


Bild 5.14

- **Beispiel:** System 2. Ordnung (Schwinger)

- ÜF-Schreibweisen

$$G(s) = \frac{K_e}{ms^2 + ds + c} = \frac{b_0}{a_0 + a_1 s + a_2 s^2} = \frac{K \omega_0^2}{s^2 - 2\sigma s + \omega_0^2} = \frac{K \omega_0^2}{s^2 + 2D\omega_0 s + \omega_0^2} \quad (5.13)$$

Pole: $s_{1,2} = \sigma \pm j\omega$ konjugiert komplex ($D < 1$)
 $s_1 = \sigma_1$; $s_2 = \sigma_2$ reell ($D \geq 1$)

- Zusammenhänge

	m, d, c	ω, ω_0, σ	D
ω_0	$\sqrt{\frac{c}{m}}$	$\sqrt{\omega^2 + \sigma^2}$	$-\frac{\sigma}{D}$
ω	$\sqrt{\frac{c}{m} - (\frac{d}{2m})^2}$	$\sqrt{\omega_0^2 - \sigma^2}$	$\omega_0 \sqrt{1 - D^2}$
σ	$-\frac{d}{2m}$	$-\sqrt{\omega_0^2 - \omega^2}$	$-\omega_0 D$
D	$\frac{d}{2\sqrt{mc}}$	$-\frac{\sigma}{\omega_0}$	-

K_e	Verstärkung des Eingangssignals $U(s)$
K	Verstärkungsfaktor
m, d, c	Masse, Dämpfungs-, Federkonstante
ω	Frequenz (freie Schwingung)
ω_0	Eigenfrequenz (System ohne Dämpfung)
σ	Dämpfungsexponent
D	Dämpfungsgrad

- Zeitverhalten

$D = 0$ ungedämpfte Schwingung, Dauerschwingung
 $0 < D < 1$ gedämpfte Schwingung
 $D = 1$ Aperiodische Bewegung
 $D > 1$ Aperiodische Bewegung
 $D < 0$ Instabiles Verhalten

- Zuordnung
Komplexe Zahlenebene
Zeitverhalten
Dämpfungsgrad

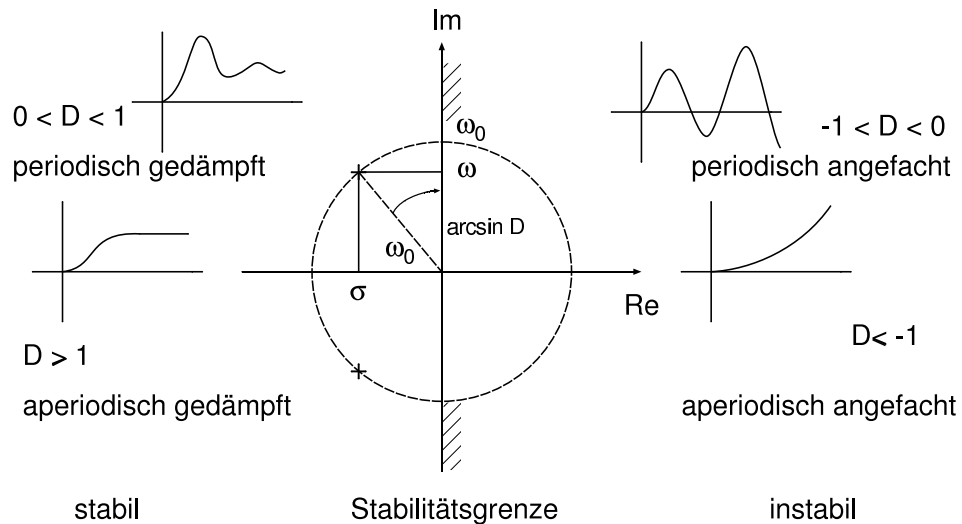


Bild 5.15

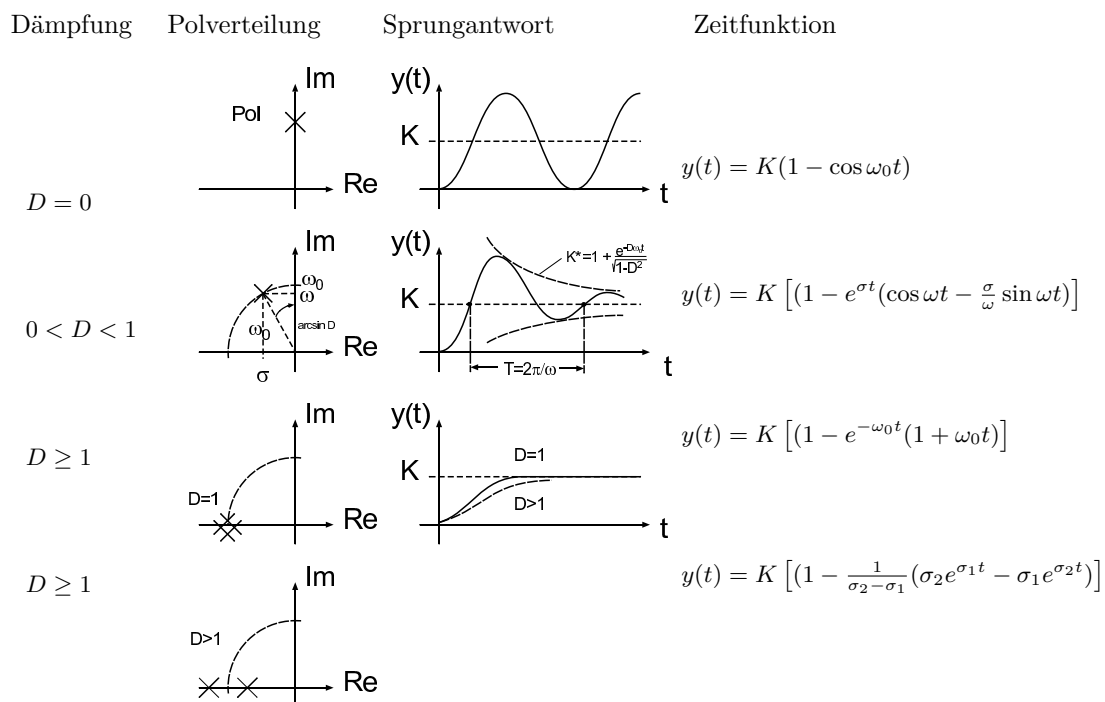
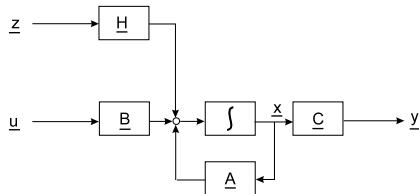


Bild 5.16

5.1.3.3 Störverhalten

- Verhalten des Ausgangssignals $y(t)$ auf ein Störsignal $z(t)$: z. B. Böen, Scherwind
- Beschreibung wie in Kapitel 5.1.3.2 (Führungsverhalten)
- Die ÜF des Störverhaltens unterscheidet sich von der ÜF des Führungsverhaltens nur durch das Zählerpolynom (gleiches Eigenverhalten)
- Beispiel: Mehrgrößensystem



- Führungs-ÜM

$$G_F(s) = \frac{C(sI-A)_{adj}B}{|sI-A|}$$
 - Stör-ÜM

$$G_S(s) = \frac{C(sI-A)_{adj}H}{|sI-A|}$$

Bild 5.17

$$\begin{aligned}\dot{\underline{x}} &= \underline{A} \underline{x} + \underline{B} \underline{u} + \underline{H} \underline{z} \\ \underline{y} &= \underline{C} \underline{x} \\ \underline{Y}(s) &= \underline{C} (s\underline{I} - \underline{A})^{-1} [\underline{B} \underline{U}(s) + \underline{H} \underline{Z}(s)]\end{aligned}\quad (5.14)$$

5.2 Nichtlineare Bewegungsgleichungen

5.2.1 Annahmen

- Vereinfachungen
 - Bezugssystem: Erde, eben, ruhend (Inertialsystem)
 - Flugzeug:
 - starrer Körper
 - Masse, Trägheitsmomente konstant
 - Symmetrisch bezüglich xz -Ebene
 - Kreismomente durch Antrieb vernachlässigt
 - Anströmung: quasistationär
- Kräfte und Momente

Bewegung wird verursacht durch im Schwerpunkt angreifende Kräfte \vec{R} und Momente \vec{Q} durch

- aerodynamische Wirkungen (aerodynamisches/experim. KS)

$$\begin{aligned}\vec{R}_a^A &= f_1(\rho, M, V_A, \alpha, \dot{\alpha}, \beta, \dot{\beta}, p_A, q_A, r_A, \xi, \zeta, \eta, \varkappa, \dots) \\ \vec{Q}_a^A &= f_2(\rho, M, V_A, \alpha, \dot{\alpha}, \beta, \dot{\beta}, p_A, q_A, r_A, \xi, \zeta, \eta, \varkappa, \dots)\end{aligned}$$

- Antrieb (flugzeugfestes KS)

$$\begin{aligned}\vec{R}_f^F &= f_3(\rho, M, \alpha, i_F, \delta_F, \dots) \\ \vec{Q}_f^F &= f_4(\rho, M, \alpha, i_F, y_F, z_F, \delta_F, \dots)\end{aligned}$$

- Flugzeuggewicht (geodätisches KS)

$$\vec{G}_g$$

- **Wahl des Koordinatensystems**

Beschreibung der Kraft- und Momentengleichungen im flugzeugfesten Hauptachsensystem, d.h.

- feste Trägheitsmomente
- Eulerterme enthalten messbare Größen p_K, q_K, r_K
- Transformation der aerodynamische Größen über kleine Winkel α, β

Transformationen

$$\begin{aligned}\vec{R}_f^A &= \underline{M}_{fa} \vec{R}_a^A \\ \vec{Q}_f^A &= \underline{M}_{fa} \vec{Q}_a^A \\ \vec{G}_f &= \underline{M}_{fg} \vec{G}_g\end{aligned}$$

5.2.2 Differentialgleichungen

5.2.2.1 Geschwindigkeiten

- **Schwerpunktsatz, Impulssatz**

$$m \left(\frac{d\vec{V}_K}{dt} \right)^g = m \left[\left(\frac{d\vec{V}_K}{dt} \right)^f + \vec{\Omega}_K \times \vec{V}_K \right]_f = \underline{M}_{fa} \vec{R}_a^A + \vec{R}_f^F + \underline{M}_{fg} \vec{G}_g \quad (5.15)$$

Ableitung im Ableitung im Euler-Term
Inertialsystem körperfesten System

mit

$$\vec{V}_K = \begin{bmatrix} u_K \\ v_K \\ w_K \end{bmatrix} \quad \vec{\Omega}_K = \begin{bmatrix} p_K \\ q_K \\ r_K \end{bmatrix}$$

Bahngeschwindigkeiten Drehgeschwindigkeiten

wird

$$\left(\frac{d\vec{V}_K}{dt} \right)_f^f = \begin{bmatrix} \dot{u}_K \\ \dot{v}_K \\ \dot{w}_K \end{bmatrix}_f = \frac{1}{m} \begin{bmatrix} X^A \\ Y^A \\ Z^A \end{bmatrix}_f + \frac{1}{m} \begin{bmatrix} X^F \\ Y^F \\ Z^F \end{bmatrix}_f + \begin{bmatrix} -\sin \theta \\ \sin \phi \cos \theta \\ \cos \phi \cos \theta \end{bmatrix} g - \begin{bmatrix} q_K w_K & - & r_K v_K \\ r_K u_K & - & p_K w_K \\ p_K v_K & - & q_K u_K \end{bmatrix}_f \quad (5.16)$$

5.2.2.2 Drehgeschwindigkeiten

• Drehimpulssatz, Drallsatz

$$\underline{T}_f \left(\frac{d\vec{\Omega}_K}{dt} \right)^g = \left[\underline{T}_f \left(\frac{d\vec{\Omega}_K}{dt} \right)^f + \vec{\Omega}_K \times \underline{T}_f \vec{\Omega}_K \right]_f = \vec{Q}_f^A + \vec{Q}_f^F \quad (5.17)$$

Ableitung im
InertialsystemAbleitung im
körperfesten System

Euler-Term

$$\text{mit } \underline{T}_f = \begin{bmatrix} I_x & -I_{xy} & -I_{zx} \\ -I_{xy} & I_y & -I_{yz} \\ -I_{zx} & -I_{yz} & I_z \end{bmatrix} = \begin{bmatrix} I_x & 0 & -I_{zx} \\ 0 & I_y & 0 \\ -I_{zx} & 0 & I_z \end{bmatrix} \quad (5.18)$$

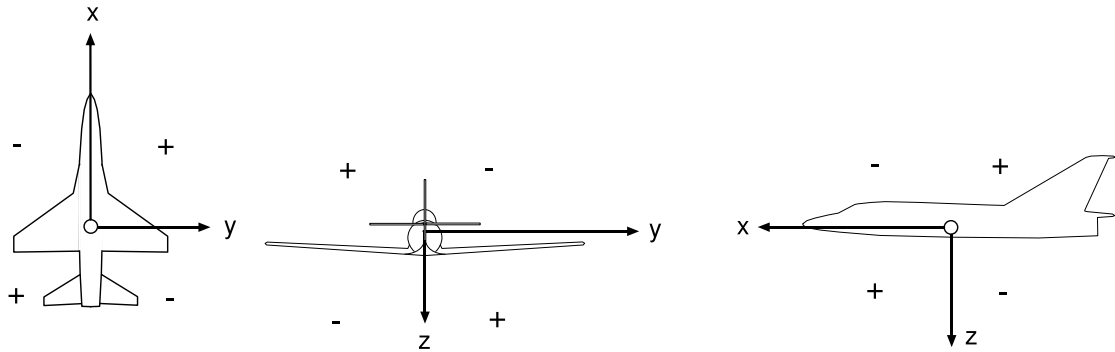
da für ein symmetrisches Flugzeug $I_{xy} = I_{yz} = 0$ gilt

Bild 5.18

$$I_{xy} = I_{yx} = \int xy \, dm = 0 \quad I_{yz} = I_{zy} = \int zy \, dm = 0 \quad I_{xz} = I_{zx} = \int zx \, dm \neq 0$$

Damit wird

$$\left(\frac{d\vec{\Omega}_K}{dt} \right)_f^f = \begin{bmatrix} \dot{p}_K \\ \dot{q}_K \\ \dot{r}_K \end{bmatrix}_f = \underline{T}_f^{-1} \left\{ \begin{bmatrix} L^A + L^F \\ M^A + M^F \\ N^A + N^F \end{bmatrix}_f - \begin{bmatrix} q_K r_K (I_z - I_y) & - & p_K q_K I_{xz} \\ r_K p_K (I_x - I_z) & + & (p_K^2 - r_K^2) I_{xz} \\ p_K q_K (I_y - I_x) & + & q_K r_K I_{xz} \end{bmatrix}_f \right\} \quad (5.19)$$

$$\text{mit } \underline{T}_f^{-1} = \frac{1}{I_y(I_x I_z - I_{zx}^2)} \begin{bmatrix} I_y I_z & 0 & I_y I_{zx} \\ 0 & I_x I_z - I_{zx}^2 & 0 \\ I_y I_{zx} & 0 & I_x I_y \end{bmatrix}$$

5.2.2.3 Lagewinkel

$$\frac{d\vec{\phi}}{dt} = \begin{bmatrix} \dot{\phi} \\ \dot{\theta} \\ \dot{\psi} \end{bmatrix} = \underline{M}_{\phi f} \vec{\Omega}_K = \begin{bmatrix} 1 & \sin \phi \tan \theta & \cos \phi \tan \theta \\ 0 & \cos \phi & -\sin \phi \\ 0 & \sin \phi / \cos \theta & \cos \phi / \cos \theta \end{bmatrix} \begin{bmatrix} p_K \\ q_K \\ r_K \end{bmatrix}_f \quad (5.20)$$

 $\vec{\phi}$: Lagewinkel (Eulerwinkel) $\underline{M}_{\phi f}$: s. Anhang "Koordinatentransformation"

5.2.2.4 Windeinfluss

Die am Flugzeug angreifenden aerodynamischen Kräfte und Momente hängen von der Relativbewegung zwischen dem Flugzeug und der umgebenden Luft ab, d. h.

- von der Relativgeschwindigkeit zwischen Flugzeug (\vec{V}_K) und Luft (\vec{V}_W)

$$\vec{V}_A = \vec{V}_K - \vec{V}_W \quad (5.21)$$

- von der relativen Drehgeschwindigkeit zwischen Flugzeug ($\vec{\Omega}_K$) und Luft ($\vec{\Omega}_W$)

$$\vec{\Omega}_A = \vec{\Omega}_K - \vec{\Omega}_W \quad (5.22)$$

Die Wirkung des Windes auf die Flugzeugdynamik hängt von der Flugzeugbewegung selbst ab, d. h. beide Prozesse sind verkoppelt (vgl. Kap. 5.3.3).

5.2.2.5 Struktur

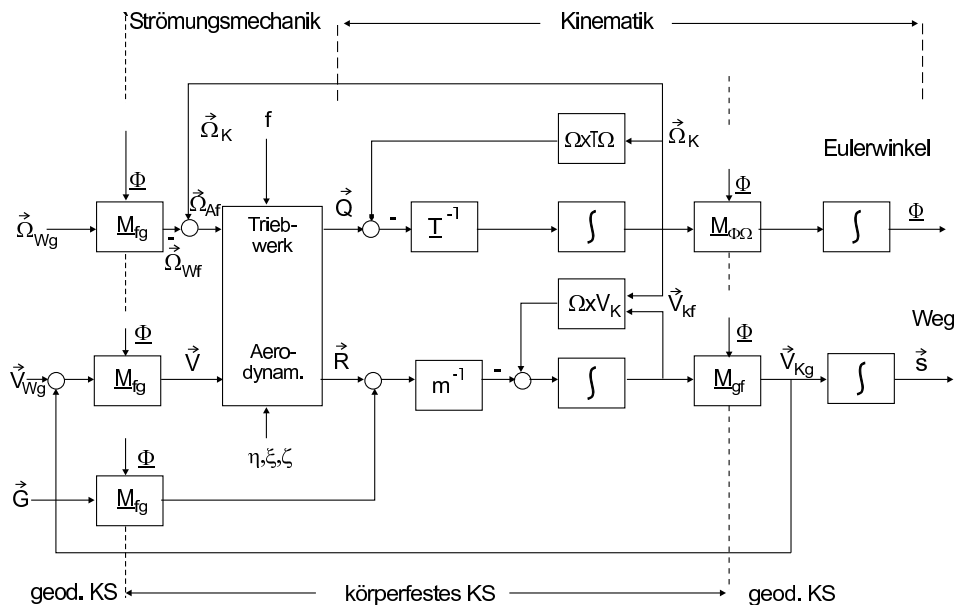


Bild 5.19

• Eigenschaften

6 Freiheitsgrade 6 Differentialgleichungen

Eingangsgrößen : 3 Kräfte
3 Momente } beeinflusst durch :
Steuerflächen, Schub
Wind, Atmosphäre

Ausgangsgrößen : 12 Zustandsgrößen

- Bahngeschwindigkeiten $\vec{V}_K = [u_K \ v_K \ w_K]^T$
- Wegkomponenten $\vec{s} = [x \ y \ z]^T$
- Drehgeschwindigkeiten $\vec{\Omega}_K = [p_K \ q_K \ r_K]^T$
- Lagewinkel $\underline{\phi} = [\phi \ \theta \ \psi]^T$

Rückwirkung der Zustandsvektoren

Zusätzliche Gleichungen für den Windeinfluss

5.3 Lineare Bewegungsgleichungen

- Nichtlineare Bewegungsgleichungen nicht geschlossen lösbar → Numerische Simulation
- Vereinfachungen, damit analytische Rechnungen für Stabilitäts- und Steuerbarkeitsuntersuchungen möglich sind
- Vorgehensweise: Betrachtung von kleinen Abweichungen um einen definierten Betriebszustand (Arbeitspunkt, Flugzustand) → Linearisierung
- Arbeitspunkt: Unbeschleunigter, symmetrischer Geradeausflug. Geschwindigkeitsvektoren liegen in der Symmetrieebene. Stationäre Drehgeschwindigkeiten sind Null
- Linearisierung in 2 Schritten 1. Linearisierung der Dgln (Transformationsmatrizen, Eulerterme)
2. Linearisierung der aerodynamischen Terme

5.3.1 Bezugsflugzustand

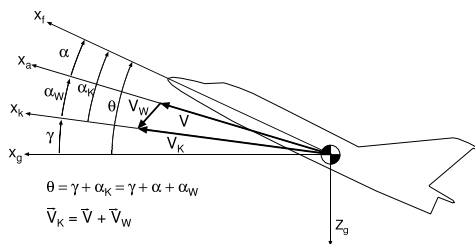


Bild 5.20

$$\begin{aligned}
 \vec{V}_W &= \vec{0} & \vec{\Omega}_W &= \vec{0} \\
 \vec{\Omega}_K &= \vec{0} \\
 \vec{V}_A &= \vec{V}_K = \vec{V}_0 \\
 \beta &= \beta_K = \phi = \Psi = \chi = 0 \\
 \gamma &= \gamma_0 \\
 \alpha &= \alpha_0 \\
 \theta &= \theta_0 = \gamma_0 + \alpha_0
 \end{aligned}$$

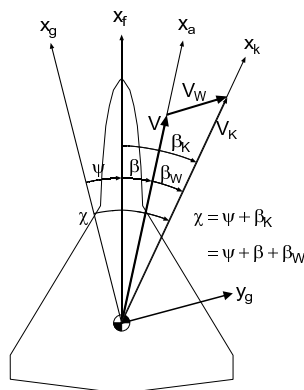


Bild 5.21

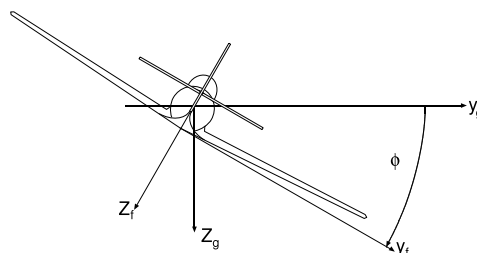


Bild 5.22

5.3.2 Vereinfachte Differentialgleichungen

- Vereinfachungen

- Drehgeschwindigkeitskomponenten p_K, q_K, r_K sind klein

- Winkel, wie α, β

α_K, β_K

α_W, β_W

$\phi, \theta, \Psi, \gamma$ sind klein

- Die Windgeschwindigkeit ist klein im Vergleich zur Anströmgeschwindigkeit ($V_W \ll V$)

- Die Bahnbeschleunigung \dot{V}_K ist klein

dann lassen sich Produkte kleiner Größen vernachlässigen und Winkelfunktionen annähern ($\cos x = 1, \sin x = x$)

- Vereinfachte Transformationen

$$\underline{M}_{fa} = \begin{bmatrix} 1 & -\beta & -\alpha \\ \beta & 1 & 0 \\ \alpha & 0 & 1 \end{bmatrix} \quad \begin{array}{l} \text{aerodynamisch} \\ \longrightarrow \text{flugzeugfest} \end{array}$$

$$\underline{M}_{fe} = \begin{bmatrix} 1 & 0 & -\alpha \\ 0 & 1 & 0 \\ \alpha & 0 & 1 \end{bmatrix} \quad \begin{array}{l} \text{experimentell} \\ \longrightarrow \text{flugzeugfest} \end{array}$$

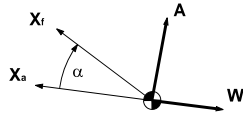
$$\underline{M}_{fg} = \begin{bmatrix} 1 & \psi & -\theta \\ -\psi & 1 & \phi \\ \theta & -\phi & 1 \end{bmatrix} \quad \begin{array}{l} \text{geodätisch} \\ \longrightarrow \text{flugzeugfest} \end{array}$$

$$\underline{M}_{fk} = \begin{bmatrix} 1 & -\beta_K & -\alpha_K \\ \beta_K & 1 & \mu_K \\ \alpha_K & -\mu_K & 1 \end{bmatrix} \quad (5.23) \quad \begin{array}{l} \text{bahnfest} \\ \longrightarrow \text{flugzeugfest} \end{array}$$

$$\underline{M}_{\phi f} = \begin{bmatrix} 1 & 0 & \theta \\ 0 & 1 & -\phi \\ 0 & \phi & 1 \end{bmatrix} \quad \begin{array}{l} \text{flugzeugfeste Drehgeschwindigkeiten} \\ \longrightarrow \text{Eulerwinkel} \end{array}$$

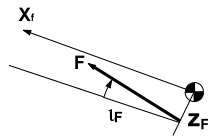
- **Kräfte und Momente**, vereinfacht Längs- und Seitenbewegung entkoppelt

- Aerodynamische Kräfte



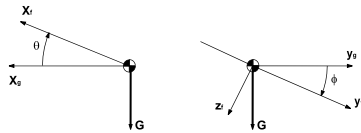
$$\vec{R}_f^A = \begin{bmatrix} X^A \\ Y^A \\ Z^A \end{bmatrix}_f = \begin{bmatrix} -W & + & A \alpha \\ -W \alpha & - & A \end{bmatrix} \quad (5.24)$$

- Schubkraft/-moment



$$\vec{R}_f^F = \begin{bmatrix} X^F \\ Y^F \\ Z^F \end{bmatrix} = \begin{bmatrix} 1 \\ 0 \\ -i_F \end{bmatrix} F \quad \vec{Q}^F = \begin{bmatrix} L^F \\ M^F \\ N^F \end{bmatrix} = \begin{bmatrix} 0 \\ z_F \\ 0 \end{bmatrix} F \quad (5.25)$$

- Gewichtskraft



$$\vec{G}_f = \begin{bmatrix} -\theta \\ \phi \\ 1 \end{bmatrix} m \cdot g \quad (5.26)$$

Bild 5.23

- **Eulerterme, vereinfacht**

- Geschwindigkeiten

$$u_K \approx V_K \begin{bmatrix} q_K w_K - r_K v_K \\ r_K u_K - p_K w_K \\ p_K v_K - q_K u_K \end{bmatrix}_f \approx \begin{bmatrix} 0 \\ r_K V_K \\ -q_K V_K \end{bmatrix}_f$$

- Drehgeschwindigkeiten

$$\begin{bmatrix} q_K r_K (I_z - I_y) - p_K q_K \\ r_K p_K (I_x - I_z) + (p_K^2 - r_K^2) I_{xz} \\ p_K q_K (I_y - I_x) + q_K r_K I_{xz} \end{bmatrix}_f \approx \vec{0} \quad (5.27)$$

- **Vereinfachte nichtlineare Differentialgleichungen**

- Geschwindigkeiten (aus 5.16)

$$\begin{bmatrix} \dot{u}_K \\ \dot{v}_K \\ \dot{w}_K \end{bmatrix}_f = \frac{1}{m} \begin{bmatrix} -W + A\alpha + F \\ Q \\ -W\alpha - A - F_{iF} \end{bmatrix} + \begin{bmatrix} -\theta \\ \phi \\ 1 \end{bmatrix} g + \begin{bmatrix} 0 \\ -r_K V_K \\ q_K V_K \end{bmatrix}$$

- Drehgeschwindigkeiten (aus 5.19)

$$\begin{bmatrix} \dot{p}_K \\ \dot{q}_K \\ \dot{r}_K \end{bmatrix} = \begin{bmatrix} I_z^* & 0 & I_{zx}^* \\ 0 & I_y^* & 0 \\ I_{zx}^* & 0 & I_x^* \end{bmatrix} \begin{bmatrix} L^A \\ M^A + z_F F \\ N^A \end{bmatrix} \quad I^* = \frac{I}{I_x I_z - I_{zx}^2}$$

- Eulerwinkel (aus 5.20)

$$\begin{bmatrix} \dot{\phi} \\ \dot{\theta} \\ \dot{\psi} \end{bmatrix} = \begin{bmatrix} 1 & 0 & \theta \\ 0 & 1 & -\phi \\ 0 & \phi & 1 \end{bmatrix} \begin{bmatrix} p_K \\ q_K \\ r_K \end{bmatrix} \approx \begin{bmatrix} p_K \\ q_K \\ r_K \end{bmatrix} \quad (5.28)$$

5.3.3 Windeinfluss

- Stationärer Wind Verändert die Bahngeschwindigkeit und die Flugbahn, hat aber keinen Einfluss auf das dynamische Verhalten des Flugzeugs (s. Winkel und Geschwindigkeiten)

$$\vec{V}_K = \vec{V} + \vec{V}_W \quad \gamma = \theta - \alpha - \alpha_W \quad \chi = \psi + \beta + \beta_W$$

- Änderung des Windes längs der horizontalen Flugbahn

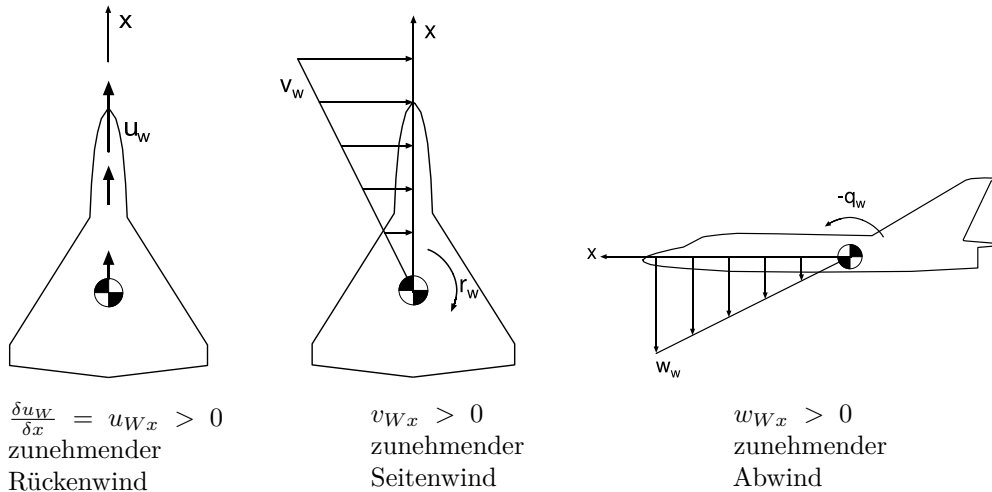


Bild 5.24

Umformung:

z. B.

$$u_{Wx} = \frac{\delta u_W}{\delta x} \frac{dt}{dt} = \dot{u}_W \frac{1}{V_K} \text{ etc.}$$

führt auf:

Translatorischer Wind

$$\dot{\vec{V}}_{Wf} \approx \dot{\vec{V}}_{Wg} = \begin{bmatrix} u_{Wx} \\ v_{Wx} \\ w_{Wx} \end{bmatrix}_g V_K \quad (5.29)$$

Rotatorischer Wind

$$\vec{\Omega}_W = \begin{bmatrix} p_W \\ q_W \\ r_W \end{bmatrix} = \begin{bmatrix} 0 \\ -w_{Wx} \\ v_{Wx} \end{bmatrix} \quad (5.30)$$

5.3.4 Umformung

- Wechsel der Zustandsgrößen (Kartesische Koordinaten \rightarrow Polarkoordinaten)

$$\text{Bahngeschwindigkeit} \quad \vec{V}_{Kf} = \begin{bmatrix} 1 \\ \beta_K \\ \alpha_K \end{bmatrix} V_K \quad (5.31)$$

$$\text{Bahnbeschleunigung} \quad \left(\frac{d\vec{V}_K}{dt} \right)_f = \begin{bmatrix} \dot{V}_K \\ \dot{\beta}_K V_K \\ \dot{\alpha}_K V_K \end{bmatrix} \quad (\dot{V}_K \text{ klein}) \quad (5.32)$$

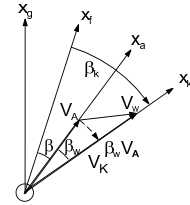


Bild 5.25

$$\text{Windgeschwindigkeit} \quad \vec{V}_{Wf} = \begin{bmatrix} u_W \\ v_W \\ w_W \end{bmatrix}_f = \begin{bmatrix} V_K \\ 0 \\ 0 \end{bmatrix} + \begin{bmatrix} -1 \\ \beta_W \\ \alpha_W \end{bmatrix} V_A \quad (5.33)$$

$$\text{Windbeschleunigung} \quad \dot{\vec{V}}_{Wf} = \begin{bmatrix} \dot{V}_W \\ \dot{\beta}_W V_A \\ \dot{\alpha}_W V_A \end{bmatrix} = \begin{bmatrix} u_{Wx} \\ v_{Wx} \\ w_{Wx} \end{bmatrix} V_K \quad (\dot{V}_A \text{ klein}) \quad (5.34)$$

- Längsbewegung, vereinfacht

$$\begin{bmatrix} \dot{V}_K \\ \dot{\alpha}_K V_K \\ \dot{q}_K \\ \dot{\theta} \\ \text{---} \\ \dot{V}_W \\ \dot{\alpha}_W V_A \end{bmatrix} = \begin{bmatrix} \frac{1}{m} (-W + \alpha A + F) - g \theta \\ -\frac{1}{m} (\alpha W + A + i_F F) + g \\ \frac{1}{I_y} (M^A + z_F F) \\ q_K \\ \text{---} \\ u_{Wx} V_K \\ w_{Wx} V_K \end{bmatrix} \quad \begin{array}{l} \text{x-Kräfte} \\ \text{z-Kräfte} \\ \text{Nickmomente} \\ \text{Eulerwinkel} \\ \text{---} \\ \text{Windänderung horizontal} \\ \text{Windänderung vertikal} \end{array} \quad (5.35)$$

- Seitenbewegung, vereinfacht

$$\begin{bmatrix} \dot{\beta}_K V_K \\ \dot{p}_K \\ \dot{r}_K \\ \dot{\phi} \\ \text{---} \\ \dot{\beta}_W V_A \end{bmatrix} = \begin{bmatrix} \frac{1}{m} Q + \phi g - r_K V_K \\ I_z^* L^A + I_{zx}^* N^A \\ I_{zx}^* L^A + I_x^* N^A \\ p_K \\ \text{---} \\ v_{Wx} V_K \end{bmatrix} \quad \begin{array}{l} \text{y-Kräfte} \\ \text{Rollmomente} \\ \text{Giermomente} \\ \text{Eulerwinkel} \\ \text{---} \\ \text{Windänderung lateral} \end{array} \quad (5.36)$$

5.3.5 Linearisierung

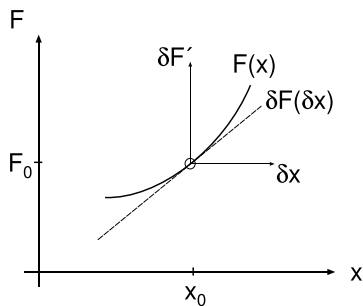
- Aufteilung einer Funktion F in den Wert am Arbeitspunkt F_0 und eine kleine Abweichung δF

$$F = F_0 + \delta F$$

durch Taylorreihen-Entwicklung

$$F(x, y, \dots) = F_0(x, y, \dots) + \left[\frac{\delta F}{\delta x} \delta x + \frac{\delta F}{\delta y} \delta y + \dots \right]_0 + \underbrace{\text{Rest}}_{\rightarrow 0} \quad (5.37)$$

Beispiel



$$\begin{aligned}\delta F &= \left. \frac{\delta F}{\delta x} \right|_0 \delta x \\ &= F_x \delta x\end{aligned}$$

Bild 5.26

- Nur die Abweichung wird weiter betrachtet

5.3.5.1 Längsbewegung

- Linearisierung X-Kraft-Gleichung**

$$\dot{V}_K = \frac{1}{m} (-W + \alpha A + F) - g \theta \quad \text{s. (5.35)}$$

- Kleine Abweichungen ($m, g = \text{const}$)

$$\begin{aligned}(\dot{V}_{K_0} + \delta \dot{V}_K) &= \\ &= \frac{1}{m} [- (W_0 + \delta W) + (\alpha_0 + \delta \alpha) (A_0 + \delta A) + (F_0 + \delta F)] - g (\theta_0 + \delta \theta) \\ &= \frac{1}{m} [- (W_0 + \delta W) + \alpha_0 A_0 + \delta \alpha A_0 + \alpha_0 \delta A + (F_0 + \delta F)] - g (\theta_0 + \delta \theta)\end{aligned}$$

- Arbeitspunkt

$$\dot{V}_{K_0} = 0 = \frac{1}{m} (-W_0 + \alpha_0 A_0 + F_0) - g \theta_0$$

- Differenz

$$\delta \dot{V}_K = \frac{1}{m} (-\delta W + \delta \alpha A_0 + \alpha_0 \delta A + \delta F) - g \delta \theta \quad (5.38)$$

- Abweichungen (Linearisierung der Kräfte)

$$W = \frac{\rho}{2} V_A^2 S C_W (M, \alpha, \dot{\alpha}, q_A, \eta) = W_0 + \delta W$$

$$A = \frac{\rho}{2} V_A^2 S C_A (M, \alpha, \dot{\alpha}, q_A, \eta) = A_0 + \delta A$$

$$\begin{aligned}\delta W &= \left. \frac{\delta W}{\delta V_A} \right|_0 \delta V_A + \left. \frac{W}{M} \right|_0 \delta M + \left. \frac{W}{\alpha} \right|_0 \delta \alpha + \left. \frac{W}{\dot{\alpha}} \right|_0 \delta \dot{\alpha} + \dots \\ &= \rho V_0 S C_{W_0} \delta V_A + \frac{\rho}{2} V_0^2 S \left(\underbrace{\frac{\delta C_W}{\delta M} \frac{\delta M}{\delta V_A}}_{C_{WM} \frac{1}{a}} \delta V_A + \underbrace{\frac{\delta C_W}{\delta \alpha} \delta \alpha}_{C_{W\alpha}} + \underbrace{\frac{\delta C_W}{\delta (\frac{l_\mu}{V_0} \dot{\alpha})}}_{C_{W\dot{\alpha}}} \frac{l_\mu}{V_0} \delta \dot{\alpha} + \dots \right)\end{aligned}$$

$$\delta A = \rho V_0 S C_{A_0} \delta V_A + \frac{\rho}{2} V_0^2 S \left(C_{AM} \frac{1}{a} \delta V_A + C_{A\alpha} \delta \alpha + C_{A\dot{\alpha}} \frac{l_\mu}{V_0} \delta \dot{\alpha} + \dots \right)$$

$$\delta F = \frac{\delta F}{\delta M} \delta M + \frac{\delta F}{\delta f} \delta f = F_M \delta M + F_f \delta f \quad (5.39)$$

- In Gleichung für X-Kraft-Abweichungen eingesetzt

$$\begin{aligned} \delta \dot{V}_K = & - \left\{ \frac{\rho V_0 S}{m} C_{W_0} \delta V_A + \frac{\rho V_0^2 S}{2m} \left[C_{WM} \frac{1}{a} \delta V_A + C_{W\alpha} \delta\alpha + C_{W\eta} \delta\eta + \right. \right. \\ & + \left. \frac{l_\mu}{V_0} (C_{W\dot{\alpha}} \delta\dot{\alpha} + C_{Wq} \delta q_A) \right] \left. \right\} + \frac{\rho V_0^2 S}{2m} C_{A_0} \delta\alpha \\ & + \alpha_0 \left\{ \frac{\rho V_0 S}{m} C_{A_0} \delta V_A + \frac{\rho V_0^2 S}{2m} \left[C_{AM} \frac{1}{a} \delta V_A + C_{A\alpha} \delta\alpha + C_{A\eta} \delta\eta + \right. \right. \\ & + \left. \left. \frac{l_\mu}{V_0} (C_{A\dot{\alpha}} \delta\dot{\alpha} + C_{Aq} \delta q_A) \right] \right\} + \frac{F_f}{m} \frac{1}{a} \delta V_A + F_f \delta f - g \delta\theta \end{aligned}$$

- Terme mit gleichen Variablen zusammengefasst

$$\begin{aligned} \delta \dot{V}_K = & \left\{ \frac{\rho V_0^2 S}{2m} \left[-\frac{2}{V_0} C_{W_0} - \frac{1}{a} C_{WM} + \alpha_0 \left(\frac{2}{V_0} C_{A_0} + \frac{1}{a} C_{AM} \right) \right] + \frac{1}{a} \frac{F_M}{m} \right\} \delta V_A \\ & + \frac{\rho V_0^2 S}{2m} \left[-C_{W\alpha} + C_{A_0} + \alpha_0 C_{A\alpha} \right] \delta\alpha \\ & + \frac{\rho V_0 l_\mu S}{2m} \left[-C_{W\dot{\alpha}} + \alpha_0 C_{A\dot{\alpha}} \right] \delta\dot{\alpha} \\ & + \frac{\rho V_0 l_\mu S}{2m} \left[-C_{Wq} + \alpha_0 C_{Aq} \right] \delta q_A \\ & + \frac{\rho V_0^2 S}{2m} \left[-C_{W\eta} + \alpha_0 C_{A\eta} \right] \delta\eta \\ & + \frac{F_f}{m} \delta f - g \delta\theta \end{aligned}$$

- Abgekürzt

$$\delta \dot{V}_K = X_u \delta V_A + X_\alpha \delta\alpha + X_{\dot{\alpha}} \delta\dot{\alpha} + X_q \delta q_A + X_\eta \delta\eta + X_f \delta f + X_\theta \delta\theta \quad (5.40)$$

X_i : Gleichungskoeffizienten, "Ersatzgrößen" (s. Anhang 9.2)

Dimension z. B. $[X_u] = \frac{m/s^2}{m/s} = \frac{1}{s}$ etc.

• Linearisierung Z-Kraft-Gleichung

- Vorgehen wie bei X-Kraft-Gleichung führt auf

$$V_0 \delta \dot{\alpha}_K + \alpha_0 \delta \dot{V}_K = Z'_u \delta V_A + Z'_\alpha \delta \alpha + Z'_{\dot{\alpha}} \delta \dot{\alpha} + Z'_q \delta q_A + Z'_\eta \delta \eta + Z'_f \delta f + Z'_\theta \delta \theta + V_0 \delta q_K$$

$$\alpha_0 \delta \dot{V}_K \approx 0$$

- Zustandsschreibweise (nur eine Ableitung auf linker Seite)

$$\delta \dot{\alpha}_K = \frac{1}{V_0} [Z'_u \delta V_A + Z'_\alpha \delta \alpha + \dots + V_0 \delta q_K]$$

$$= Z_u \delta V_A + Z_\alpha \delta \alpha + Z_{\dot{\alpha}} \delta \dot{\alpha} + Z_q \delta q_A + Z_\eta \delta \eta + Z_f \delta f + Z_\theta \delta \theta + \delta q_K \quad (5.41)$$

Die Terme mit $\dot{\alpha}$ in X- und Z-Kraftgleichung müssten für eine Zustandsschreibweise ebenfalls eliminiert werden. Da für Drachenflugzeuge $c_{A\dot{\alpha}}$, $c_{W\dot{\alpha}}$ i. a. klein sind, werden $X_{\dot{\alpha}}$ und $Z_{\dot{\alpha}}$ in den linearisierten Gleichungen vernachlässigt. Gleiches gilt für X_q und Z_q .

• Linearisierung Nickmomenten-Gleichung

$$\delta \dot{q}_K = \frac{1}{I_y} \left\{ \frac{\rho}{2} V_0^2 S l_\mu \left[\left(\frac{2}{V_0} C_{m_0} + \frac{1}{a} C_{m_M} \right) \delta V_A + C_{m_\alpha} \delta \alpha + C_{m_\eta} \delta \eta \right. \right.$$

$$\left. \left. + \frac{l_\mu}{V_0} (C_{m_{\dot{\alpha}}} \delta \dot{\alpha} + C_{m_q} \delta q_A) \right] + z_F (F_M \frac{1}{a} \delta V_A + F_f \delta f) \right\}$$

$$= M_u \delta V_A + M_\alpha \delta \alpha + M_{\dot{\alpha}} \delta \dot{\alpha} + M'_q \delta q_A + M_\eta \delta \eta + M_f \delta f$$

Ersetzen von $\delta \dot{\alpha}$: Für $\gamma = 0$ ist

$$\dot{\theta} = q_K \quad \text{s. (5.35)}$$

$$q_A = q_K + w_{Wx} \quad \text{s. (5.30)}$$

$$\dot{w}_{Wg} = w_{Wx} V_K \quad \text{s. (5.29)}$$

$$\alpha = \theta - \frac{1}{V_A} w_{Wg}$$

$$\dot{\alpha} = \dot{\theta} - \frac{\dot{w}_{Wg}}{V_A}$$

$$= q_K - w_{Wx} \quad (\dot{V}_A \text{ klein})$$

Damit

$$M'_q \delta q_A + M_{\dot{\alpha}} \delta \dot{\alpha} = M'_q (\delta q_K + \delta w_{Wx}) + M_{\dot{\alpha}} (\delta q_K - \delta w_{Wx})$$

$$= M_q \delta q_K + M_{Wx} \delta w_{Wx}$$

$$\text{mit } M_q = M'_q + M_{\dot{\alpha}} \quad M_{Wx} = M'_q - M_{\dot{\alpha}}$$

Momentengleichung

$$\delta \dot{q}_K = M_u \delta V_A + M_\alpha \delta \alpha + M_q \delta q_K + M_\eta \delta \eta + M_f \delta f + M_{Wx} \delta w_{Wx} \quad (5.42)$$

• **Windgleichungen**

$$\begin{aligned} \delta \dot{V}_W &= \delta u_{Wx} V_0 \\ \delta \dot{\alpha}_W &= \delta w_{Wx} \end{aligned} \quad (5.43)$$

• **Vereinfachungen**

- δ zur Kennzeichnung kleiner Abweichungen wird weggelassen
- Keine unterschiedliche Bezeichnung für Ersatzgrößen und direkte Derivative, keine Verwechslungsgefahr
- Matrizenschreibweise (lineare Zustandsdifferentialgleichungen) Zustandsvektor \underline{x} , Eingangsvektor \underline{u} , Ausgangsvektor \underline{y} Die Reihenfolge der Zustandsgrößen orientiert sich an den dynamischen Eigenschaften, dazu s. Kap. 6

• **Lineare Zustandsgleichungen der Längsbewegung**

$$(\dot{\underline{x}} = \underline{A} \underline{x} + \underline{B} \underline{u} ; \quad \underline{y} = \underline{C} \underline{x}) \quad (5.44)$$

$$\begin{aligned} \begin{bmatrix} \dot{q}_K \\ \dot{\alpha}_K \\ \dot{V}_K \\ \dot{\theta} \\ \dot{V}_W \\ \dot{\alpha}_W \end{bmatrix} &= \begin{bmatrix} M_q & M_\alpha & M_u & 0 & | & -M_u & -M_\alpha \\ 1 & Z_\alpha & Z_u & 0 & | & -Z_u & -Z_\alpha \\ 0 & X_\alpha & X_u & X_\theta & | & -X_u & -X_\alpha \\ 1 & 0 & 0 & 0 & | & 0 & 0 \\ \hline 0 & 0 & 0 & 0 & | & 0 & 0 \\ 0 & 0 & 0 & 0 & | & 0 & 0 \end{bmatrix} \begin{bmatrix} q_K \\ \alpha_K \\ V_K \\ \theta \\ V_W \\ \alpha_W \end{bmatrix} + \begin{bmatrix} M_f & M_\eta & | & 0 & M_{Wx} \\ Z_f & Z_\eta & | & 0 & 0 \\ X_f & X_\eta & | & 0 & 0 \\ 0 & 0 & | & 0 & 0 \\ \hline 0 & 0 & | & V_0 & 0 \\ 0 & 0 & | & 0 & 1 \end{bmatrix} \begin{bmatrix} f \\ \eta \\ u_{Wx} \\ w_{Wx} \end{bmatrix} \\ \begin{bmatrix} V_A \\ \alpha \\ \gamma \end{bmatrix} &= \begin{bmatrix} 0 & 0 & 1 & 0 & | & -1 & 0 \\ 0 & 1 & 0 & 0 & | & 0 & -1 \\ 0 & -1 & 0 & 1 & | & 0 & 0 \end{bmatrix} \underline{x} \end{aligned}$$

5.3.5.2 Seitenbewegung• **Linearisierung Y-Kraft-Gleichung**

$$\begin{aligned} \delta \dot{\beta}_K V_0 &= \frac{1}{m} \delta Q + g \delta \phi - V_0 \delta r_K \\ Q &= \frac{\rho}{2} V_0^2 S C_Q (\beta, \dot{\beta}, p_A, r_A, \xi, \zeta) \\ \delta \dot{\beta}_K &= Y_\beta \delta \beta + \underbrace{Y_{\dot{\beta}} \delta \dot{\beta} + Y_p \delta p_A + Y_r \delta r_A + Y_\xi \delta \xi + Y_\zeta \delta \zeta}_{\approx 0} + \frac{g}{V_0} \delta \phi - \delta r_K \\ &\approx Y_\beta \delta \beta + Y_\zeta \delta \zeta + \frac{g}{V_0} \delta \phi - \delta r_K \quad \text{Ersatzgrößen s. Anhang 9.2} \end{aligned} \quad (5.45)$$

• **Linearisierung Rollmomenten-Gleichung**

$$\begin{aligned} \delta \dot{p}_K &= I_z^* \delta L^A + I_{zx}^* \delta N^A \\ &= I_z^* \frac{\rho}{2} V_0^2 S s \left[C_{l\beta} \delta \beta + C_{lp} \frac{s}{V_0} \delta p_A + \dots + C_{l\zeta} \delta \zeta \right] \\ &\quad + I_{zx}^* \frac{\rho}{2} V_0^2 S s \left[C_{n\beta} \delta \beta + C_{np} \frac{s}{V_0} \delta p_A + \dots + C_{n\zeta} \delta \zeta \right] \\ &= \frac{\rho/2 V_0^2 S s}{I_x I_z - I_{zx}^2} \left[(C_{l\beta} I_z + C_{n\beta} I_{zx}) \delta \beta + (C_{lp} I_z + C_{np} I_{zx}) \frac{s}{V_0} \delta p_A + \dots \right] \\ &= L_\beta \delta \beta + L_{\dot{\beta}} \delta \dot{\beta} + L_p \delta p_A + L_r \delta r_A + L_\xi \delta \xi + L_\zeta \delta \zeta \end{aligned} \quad (5.46)$$

- **Linearisierung Giermomenten-Gleichung**

$$\begin{aligned}\delta \dot{r}_K &= I_{zx}^* L^A + I_x^* N^A \\ &= \frac{\rho/2 V_0^2 S s}{I_{xz}} - I_{zx}^2 [(C_{l\beta} I_{zx} + C_{n\beta} I_x) \delta\beta + \dots] \\ &= N_\beta \beta + N_{\dot{\beta}} \dot{\beta} + N_p \delta p_A + N_r \delta r_A + N_\xi \delta\xi + N_\zeta \delta\zeta\end{aligned}\quad (5.47)$$

- **Windgleichung**

$$\delta \dot{\beta}_W = v_{Wx} \quad (5.48)$$

- **Umformungen/Vereinfachungen**

$\dot{\beta}$ -Terme vernachlässigt

$$p_A = p_K \quad (p_W = 0)$$

$$r_A = r_K - r_W = r_K - v_{Wx}$$

δ weggelassen

Matrizenschreibweise, Reihenfolge der Zustandsgrößen entsprechend der dynamischen Eigenschaften (vgl. Kap. 7)

- **Lineare Zustandsgleichungen der Seitenbewegung**

$$(\dot{\underline{x}} = \underline{A} \underline{x} + \underline{B} \underline{u} ; \quad \underline{y} = \underline{C} \underline{x})$$

$$\begin{bmatrix} \dot{r}_K \\ \dot{\beta}_K \\ \dot{p}_K \\ \dot{\phi} \\ \vdots \\ \dot{\beta}_W \end{bmatrix} = \begin{bmatrix} N_r & N_\beta & N_p & 0 & | & -N_\beta \\ -1 & Y_\beta & 0 & Y_\phi & | & -Y_\beta \\ L_r & L_\beta & L_p & 0 & | & -L_\beta \\ 0 & 0 & 1 & 0 & | & 0 \\ \vdots & \vdots & \vdots & \vdots & | & \vdots \\ 0 & 0 & 0 & 0 & | & 0 \end{bmatrix} \begin{bmatrix} r_K \\ \beta_K \\ p_K \\ \phi \\ \vdots \\ \beta_W \end{bmatrix} + \begin{bmatrix} N_\xi & N_\zeta & -N_r \\ 0 & Y_\zeta & 0 \\ L_\xi & L_\zeta & 0 \\ 0 & 0 & 0 \\ 0 & 0 & 1 \end{bmatrix} \begin{bmatrix} \xi \\ \zeta \\ v_{Wx} \end{bmatrix} \quad (5.49)$$

$$\beta = [0 \quad 1 \quad 0 \quad 0 \quad -1] \underline{x}$$

5.4 Derivative (Ergänzung)

- **Übersicht** Beiwertderivative

	M	α	$\dot{\alpha}$	q_A	η	β	$\dot{\beta}$	p_A	r_A	ξ	ζ
LB	X	C_{WM}	$C_{W\alpha}$	-	-	$C_{W\eta}$					
	Z	C_{AM}	$C_{A\alpha}$	-	-	$C_{A\eta}$					
	M	C_{mM}	$C_{m\alpha}$	$C_{m\dot{\alpha}}$	C_{mq}	$C_{m\eta}$					
SB	Y					$C_{Q\beta}$	-	-	-	-	$C_{Q\zeta}$
	L					$C_{l\beta}$	-	C_{lp}	C_{lr}	$C_{l\xi}$	$C_{l\zeta}$
	N					$C_{n\beta}$	-	C_{np}	C_{nr}	$C_{n\xi}$	$C_{n\zeta}$

- **Machzahlabhängigkeit** (C_{WM} , C_{AM} , C_{mM})

Kompressibilitätseinfluss Wesentlich erst im hohen Unterschall ($M > 0.7$)

- **Abwindverzögerung** ($C_{m\dot{\alpha}}$)

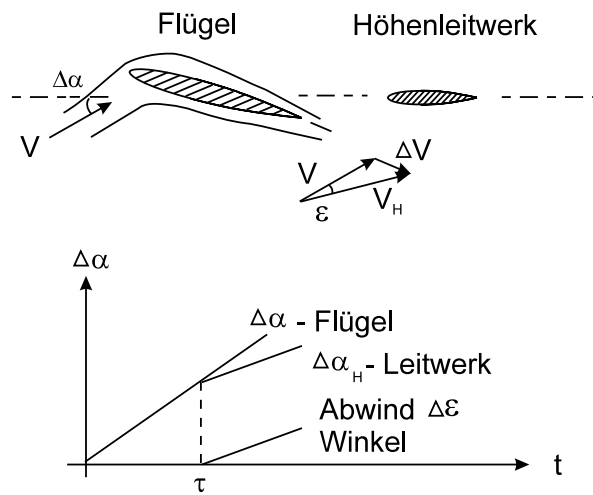


Bild 5.27

Bei Änderung des Anstellwinkels $\Delta\alpha$ tritt die Änderung des Abwindwinkels $\Delta\varepsilon$ durch die Laufzeit τ verzögert auf. Der während der Zeit τ vorhandene zusätzliche Auftrieb wirkt der Nickbewegung entgegen (Dämpfungserhöhung).

6 Dynamik der Längsbewegung

6.1 Signalflussdiagramm

Zustandsgleichung der Längsbewegung, ohne Wind ($V = V_K$)

Längsneigung θ ersetzt durch Bahnwinkel γ ($\theta = \gamma + \alpha$)

$$\begin{bmatrix} \dot{q} \\ \dot{\alpha} \\ \dot{V} \\ \dot{\gamma} \end{bmatrix} = \begin{bmatrix} M_q & M_\alpha & | & M_u & 0 \\ 1 & Z_\alpha & | & Z_u & 0 \\ - & - & - & - & - \\ 0 & X_\alpha - g & | & X_u & -g \\ 0 & -Z_\alpha & | & -Z_u & 0 \end{bmatrix} \begin{bmatrix} q \\ \alpha \\ V \\ \gamma \end{bmatrix} + \begin{bmatrix} (M_f) & (M_\kappa) & M_\eta \\ (Z_f) & Z_\kappa & (Z_\eta) \\ - & - & - \\ X_f & (X_\kappa) & (X_\eta) \\ (-Z_f) & -Z_\kappa & (-Z_\eta) \end{bmatrix} \begin{bmatrix} f \\ \kappa \\ \eta \end{bmatrix} \quad (6.1)$$

\uparrow 2 gekoppelte Schwingungen \uparrow Haupteinflüsse in Stellmatrix ohne Klammern
 κ : Auftriebsklappen-Winkel

- **Signalfluss Längsbewegung** (vereinfacht, ohne Wind)

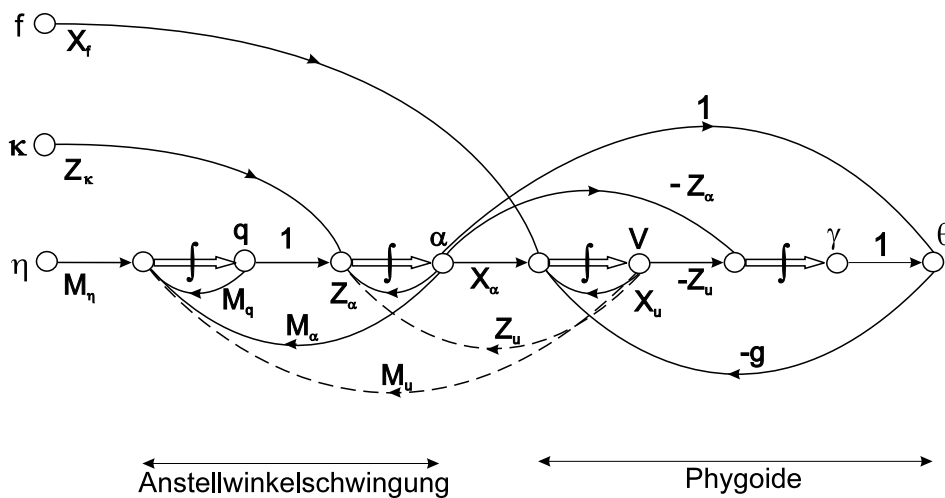


Bild 6.1

6.2 Sprungantworten

Beispielflugzeug Dornier Do 328

- **Flugzeugdaten:**

Flügelfläche $S = 40 \text{ m}^2$

Bezugsflügeltiefe $l_\mu = 2.04 \text{ m}$

Halbspannweite $b/2 = 10.4 \text{ m}$

Masse $m = 10500 \text{ kg}$

Maximalschub $F = 27350 \text{ N}$

- **Flugzustand: Reiseflug**

Höhe $H = 914 \text{ m}$

Geschwindigkeit $V = 144 \text{ m/s}$

Bahnwinkel $\gamma = 0 \text{ grad}$

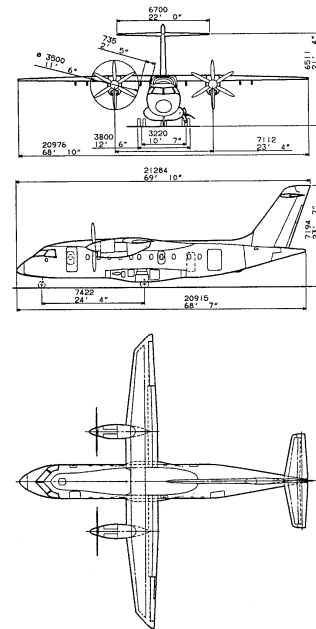


Bild 6.2

- **Sprungantworten Längsbewegung Do 328, Reiseflug**

Kurzzeitverhalten

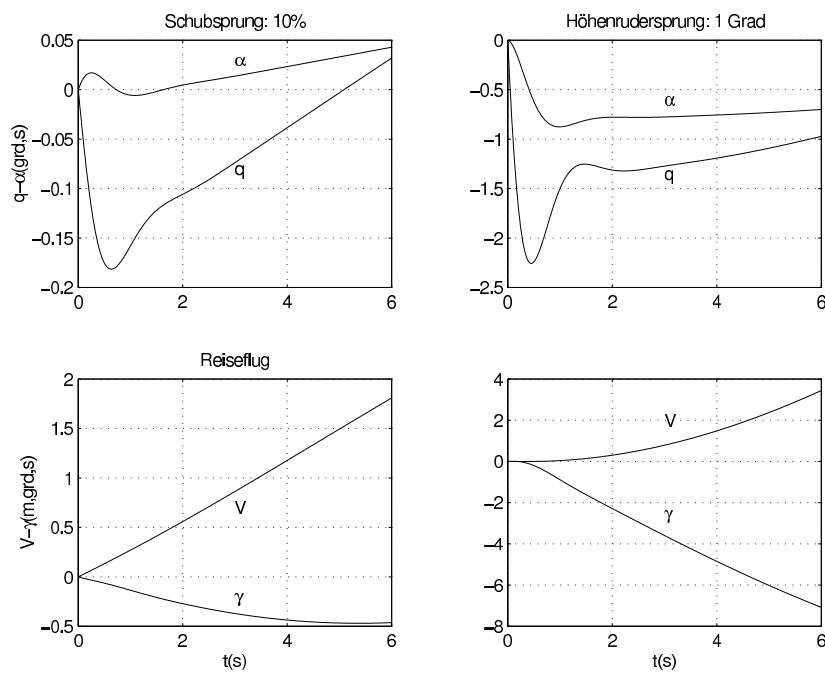


Bild 6.3

- Sprungantworten Längsbewegung Do 328, Reiseflug

Langzeitverhalten

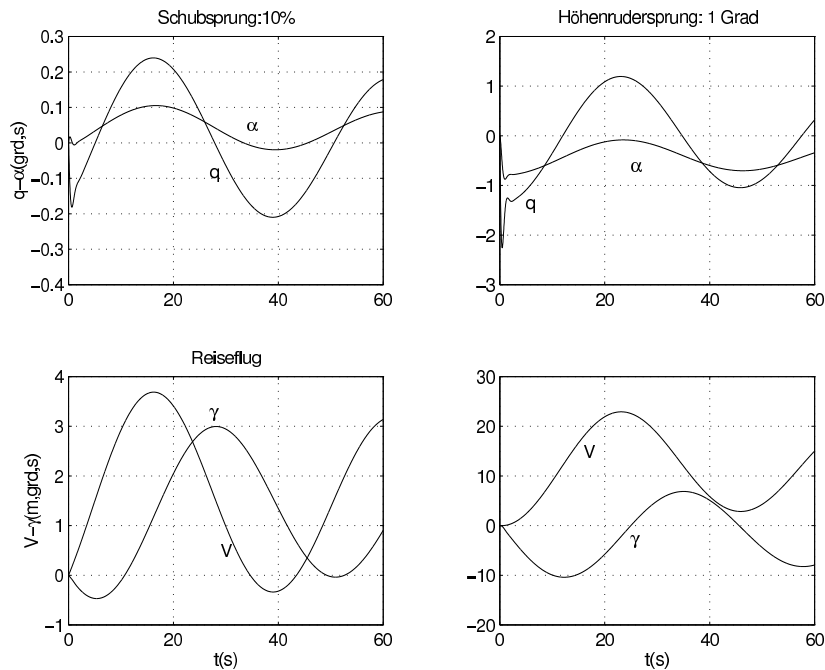
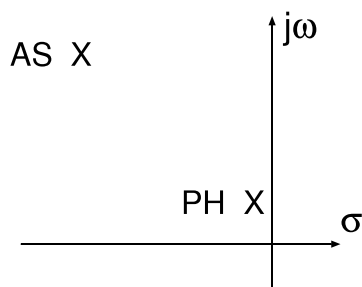


Bild 6.4

6.3 Eigenverhalten

Lösung der charakteristischen Gleichung $|sI - \underline{A}| = 0$:
2 konjugiert komplexe Pol-Paare



Typische Frequenzen:

AS : 0.5 Hz

PH : 0.02 Hz

daher i. a. getrennte
Betrachtung von
Anstellwinkel- und
Bahnbewegung möglich

AS : Anstellwinkelschwingung
Schnelle Drehschwingung um y-Achse
i. a. gut gedämpft

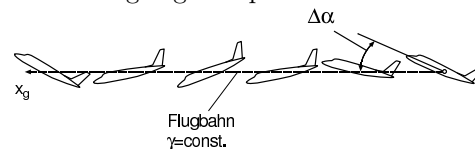


Bild 6.5

PH : Phygoide
Langsame Bahnschwingung
meist schlecht gedämpft

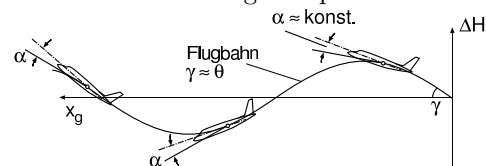


Bild 6.6

6.3.1 Anstellwinkelschwingung

- Zustandsgleichung für die Näherung der AS

$$\begin{bmatrix} \dot{q} \\ \dot{\alpha} \end{bmatrix} = \begin{bmatrix} M_q & M_\alpha \\ 1 & Z_\alpha \end{bmatrix} \begin{bmatrix} q \\ \alpha \end{bmatrix} + \begin{bmatrix} M_\eta & (M_\varkappa) \\ (Z_\eta) & Z_\varkappa \end{bmatrix} \begin{bmatrix} \eta \\ \varkappa \end{bmatrix} \quad (6.2)$$

$$\underline{\dot{x}} = \underline{A} \cdot \underline{x} + \underline{B} \cdot \underline{u}$$

- Do 328 Kurzzeitverhalten 4. Ordnung, Näherung 2. Ordnung

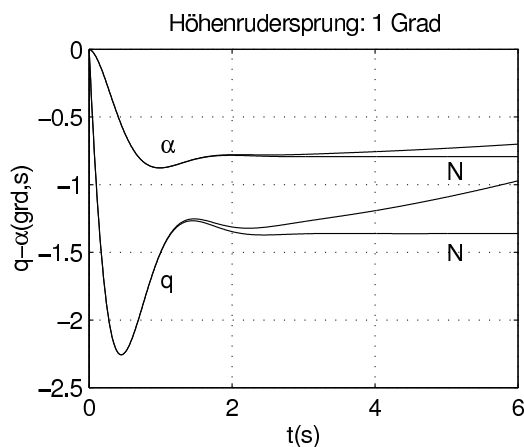


Bild 6.7

- Signalflussdiagramm AS-Näherung

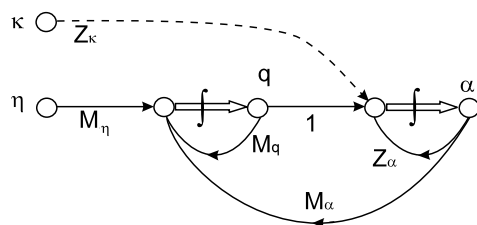


Bild 6.8

Kopplung zwischen den Integratoren (M_α) bestimmt Frequenz

Rückkopplung über die Integratoren (M_q, Z_α) bestimmt die Dämpfung (vgl. Schwinger, Bild 5.3)

- Charakteristische Gleichung Nennerpolynom der Übertragungsmatrix (vgl. Gl. (5.4))

$$\begin{aligned} |s \underline{I} - \underline{A}| &= \left| \begin{bmatrix} s & 0 \\ 0 & s \end{bmatrix} - \begin{bmatrix} M_q & M_\alpha \\ 1 & Z_\alpha \end{bmatrix} \right| \\ \begin{vmatrix} s - M_q & -M_\alpha \\ -1 & s - Z_\alpha \end{vmatrix} &= (s - M_q)(s - Z_\alpha) - M_\alpha = s^2 - (M_q + Z_\alpha)s + (M_q Z_\alpha - M_\alpha) \end{aligned} \quad (6.3)$$

- Die charakteristische Gleichung eines Schwingers ist

$$\begin{aligned} N(s) &= [s - (\sigma + j\omega)][s - (\sigma - j\omega)] = s^2 - 2\sigma s + \sigma^2 + \omega^2 \\ &= s^2 + 2D\omega_0 s + \omega_0^2 \end{aligned} \quad (6.4)$$

$$\text{mit} \quad \omega_0 = \sqrt{\sigma^2 + \omega^2}$$

- Koeffizientenvergleich von (6.3-2) und (6.3-3) ergibt die charakteristischen Größen

$$\begin{aligned}
 & \text{- Eigenfrequenz} & \omega_{0,AS} &= \sqrt{M_q Z_\alpha - M_\alpha} \\
 & \text{- Dämpfungsexponent} & \sigma_{AS} &= \frac{1}{2} (M_q + Z_\alpha) \\
 & \text{- Dämpfungsgrad} & D_{AS} &= -\frac{\sigma_{AS}}{\omega_{0,AS}}
 \end{aligned} \tag{6.5}$$

Zur Erinnerung:

$$M_\alpha = \bar{q} \frac{S l_\mu}{I_y} C_{m\alpha}$$

”Feder-Wirkung”

Kenngröße der statischen Stabilität

6.3.2 Phygoide

- Zustands-Differentialgleichungen für die Näherung

$$\begin{bmatrix} \dot{V} \\ \dot{\gamma} \end{bmatrix} = \begin{bmatrix} X_u & -g \\ -Z_u & 0 \end{bmatrix} \begin{bmatrix} V \\ \gamma \end{bmatrix} + \begin{bmatrix} X_f \\ 0 \end{bmatrix} f \tag{6.6}$$

$$\dot{\underline{x}} = \underline{A} \cdot \underline{x} + \underline{B} \cdot \underline{u} \tag{6.7}$$

- Sprungantworten (Do 328, Reiseflug, System 4. Ordnung, System 2. Ordnung)

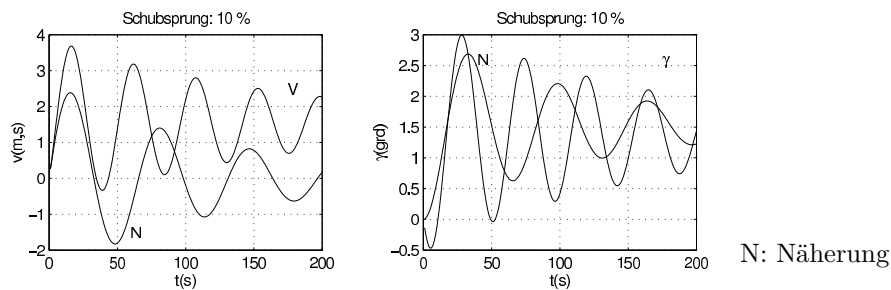


Bild 6.9

- ständiger Austausch von kinetischer und potentieller Energie

- Signalflussdiagramm

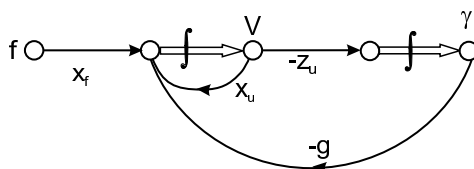


Bild 6.10

- Charakteristische Gleichung

$$\begin{aligned}
 |s \underline{I} - \underline{A}| &= s^2 - X_u s - g Z_u = \\
 &= s^2 - 2\sigma_{PH} s + \omega_{0,PH}^2 = 0
 \end{aligned} \tag{6.8}$$

$$\text{–Eigenfrequenz} \quad \omega_{0_{PH}} = \sqrt{-g Z_u} \approx \sqrt{g \frac{\rho S}{m} C_{A_0}} \approx \frac{g}{V_0} \sqrt{2} \quad (A_0 \approx G) \quad (6.9)$$

d. h. Frequenz hängt nicht von Eigenschaften des Flugzeugs ab

$$\text{– Dämpfung} \quad D_{PH} = -\frac{\sigma_{PH}}{\omega_{0_{PH}}} = \frac{-X_u}{2\sqrt{-g Z_u}} \approx \frac{1}{\sqrt{2}} \frac{C_{W_0}}{C_{A_0}} \quad (6.10)$$

d. h. kleine Gleitzahl $\frac{C_{W_0}}{C_{A_0}}$, kleine Dämpfung

- Die **Näherung** beschreibt den physikalischen Charakter der Eigenbewegung (Phygoide). Für die Untersuchung des Führungsverhaltens oder eine Reglerauslegung darf jedoch der Einfluss des Höhenruders über den Anstellwinkel nicht vernachlässigt werden. Daher: Erweiterung der Zustandsgleichungen um die stationäre Näherung für den Nickfreiheitsgrad. Nach Abklingen der Anstellwinkelschwingung gilt:

$$\begin{aligned} \dot{\alpha} &= 0 \\ \dot{q} &= 0 = M_\alpha \alpha + M_u V + M_\eta \eta \\ \alpha &= -\frac{1}{M_\alpha} (M_u V + M_\eta \eta) \end{aligned} \quad (6.11)$$

Aus Gl. (6.1) wird die um den Anstellwinkel erweiterte Näherung verwendet ($\dot{\alpha} \approx 0$, $q \approx 0$)

$$\begin{bmatrix} \dot{V} \\ \dot{\gamma} \end{bmatrix} = \begin{bmatrix} X_\alpha - g & X_u & -g \\ -Z_\alpha & -Z_u & 0 \end{bmatrix} \begin{bmatrix} \alpha \\ V \\ \gamma \end{bmatrix} + \begin{bmatrix} X_f \\ 0 \end{bmatrix} f \quad (6.12)$$

- Das **Signalflussdiagramm** ergibt sich mit (6.11), (6.12) und dem Zusammenhang $\theta = \gamma + \alpha$ zu:

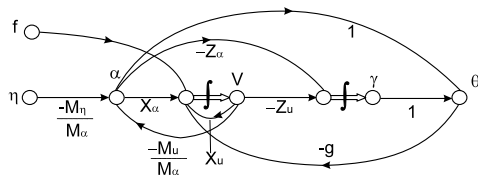


Bild 6.11

- Der Bahnwinkel ist mit dem Höhenruder über den Anstellwinkel steuerbar
- Die **Zustandsgleichung der erweiterten Phugoid-Näherung** ist mit (6.11), (6.12)

$$\begin{bmatrix} \dot{V} \\ \dot{\gamma} \end{bmatrix} = \begin{bmatrix} (X_u - M_u \frac{X_\alpha - g}{M_\alpha}) & -g \\ (-Z_u + M_u \frac{Z_\alpha}{M_\alpha}) & 0 \end{bmatrix} \begin{bmatrix} V \\ \gamma \end{bmatrix} + \begin{bmatrix} X_f & -M_\eta \frac{X_\alpha - g}{M_\alpha} \\ 0 & M_\eta \frac{Z_\alpha}{M_\alpha} \end{bmatrix} \begin{bmatrix} f \\ \eta \end{bmatrix} \quad (6.13)$$

- Charakteristische Gleichung (Federwirkung von M_u : "Geschwindigkeitsstabilität")

$$s^2 - s(X_u - M_u \frac{X_\alpha - g}{M_\alpha}) + g(-Z_u + M_u \frac{Z_\alpha}{M_\alpha}) \quad (6.14)$$

- Bahnbewegung aus der Sicht eines mitbewegten Beobachters: Ellipse / elliptische Spirale

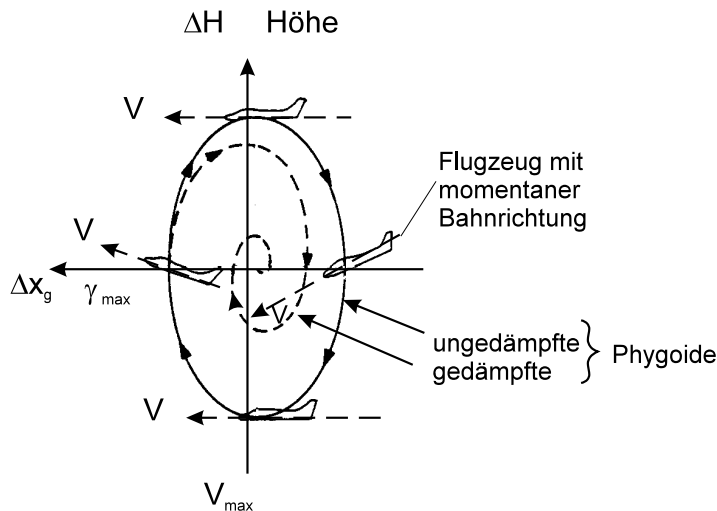


Bild 6.12

Ständiger Austausch von potentieller und kinetischer Energie.

6.4 Führungsverhalten

- Berechnung des Übertragungsverhaltens (Übertragungsfunktion)

-Zustandsgleichung $\dot{\underline{x}} = \underline{A} \underline{x} + \underline{B} u$
 $\underline{y} = \underline{C} \underline{x}$

-Laplace-Transformation $(s \underline{I} - \underline{A}) \underline{X}(s) = \underline{N}(s) \underline{X}(s) = \underline{B} U(s)$
 (Anfangswerte: 0)

$$\underline{X}(s) = \underline{N}^{-1}(s) \underline{B} U(s) = \frac{\underline{N}_{adj}(s)}{|\underline{N}(s)|} \underline{B} U(s) ; \quad Y(s) = X(s)$$

-Nennerpolynom $N(s) = |\underline{N}(s)|$

-Zählerpolynom $\underline{Z}(s) = \underline{N}_{adj}(s) \underline{B}$
 (Matrix)

-Schreibweise $G_{ij}(s) = \frac{Y_i(s)}{U_j(s)} = \frac{Z_{ij}(s)}{N(s)}$

Übertragungsfunktion zwischen
Eingang j und Ausgang i

- Berechnung der Übertragungsfunktion mit der **Cramer Regel** Übertragungsfunktion zwischen Ausgang i und Eingang j

$$\frac{X_i}{U_j} = \frac{Z_{ij}(s)}{N(s)} = \frac{|\dots \underline{n}_{i-1} \quad \underline{b}_j \quad \underline{n}_{i+1} \dots|}{|\underline{n}_1 \quad \dots \quad \underline{n}_i \quad \dots \quad \underline{n}_n|} \quad (6.15)$$

\underline{n}_k Spaltenvektoren der charakteristischen Matrix $\underline{N}(s)$

\underline{b}_k Spaltenvektoren der Eingangsmatrix \underline{B}

- Die Nennerfunktion $N(s)$ ist gleich der Determinanten von $\underline{N}(s)$

- Die Zählerfunktion $Z_{ij}(s)$ ist gleich der Determinanten, die entsteht, wenn man die i-te Spalte der charakteristischen Matrix $\underline{N}(s)$ durch die j-te Spalte der Eingangsmatrix \underline{B} ersetzt.

- **Nennerpolynom** der Übertragungsfunktion der Längsbewegung (charakteristische Gleichung)

$$N(s) = |s \underline{I} - \underline{A}| = \begin{vmatrix} s - M_q & -M_\alpha & -M_u & 0 \\ -1 & s - Z_\alpha & -Z_u & 0 \\ 0 & g - X_\alpha & s - X_u & g \\ 0 & Z_\alpha & Z_u & s \end{vmatrix} \quad (6.16)$$

$$= (s - M_q) \begin{vmatrix} s - Z_\alpha & -Z_u & 0 \\ g - X_\alpha & s - X_u & g \\ Z_\alpha & Z_u & s \end{vmatrix} + \begin{vmatrix} -M_\alpha & -M_u & 0 \\ g - X_\alpha & s - X_u & g \\ Z_\alpha & Z_u & s \end{vmatrix}$$

$$= s^4 + a_3 s^3 + a_2 s^2 + a_1 s + a_0$$

$$a_0 = g(M_\alpha Z_u - M_u Z_\alpha)$$

6.4.1 Schub

- **Übertragungsfunktion Fahrtänderung** bei Schubänderung ($f \rightarrow V$) Phygoidennäherung (vgl. (6.6))

$$\frac{V(s)}{f(s)} = G_{uf}(s) = \frac{\begin{vmatrix} X_f & g \\ (-Z_f) & s \end{vmatrix}}{\begin{vmatrix} s - X_u & g \\ Z_u & s \end{vmatrix}} = \frac{X_f s + Z_f g}{s(s - X_u) - Z_u g} \quad (6.17)$$

- **Stationäre Fahrt** für f-Sprung f_∞

$$\lim_{s \rightarrow 0} G_{uf}(s) = \lim_{t \rightarrow \infty} \frac{V(t)}{f_\infty} = -\frac{Z_f}{Z_u}$$

$Z_f = 0$: keine stationäre Fahrtänderung durch Schubänderung
d. h. Schub verändert nur potentielle Energie

$-\frac{Z_f}{Z_u} < 0$: stationäre Fahrtabnahme durch Schuberhöhung

- **Beschleunigung** durch f-Sprung

$$\lim_{s \rightarrow \infty} G_{uf}(s) = \lim_{s \rightarrow \infty} s \cdot G_{uf}(s) = \lim_{t \rightarrow 0} \frac{\dot{V}(t)}{f_\infty} = X_f$$

d. h. $\dot{V}(t=0) = X_f \cdot f_\infty > 0$ positive Anfangsbeschleunigung

- **Sprungantwort** G_{uf}

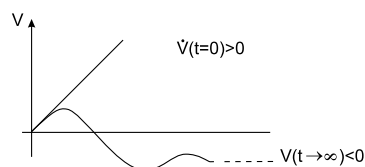


Bild 6.13

Allpassverhalten:

Anfangs- und Stationärwert
haben unterschiedliches
Vorzeichen

- **Übertragungsfunktion Bahnänderung** bei Schubänderung ($f \rightarrow \gamma$)

$$\frac{\gamma(s)}{f(s)} = G_{\gamma f}(s) = \frac{\begin{vmatrix} s - X_u & X_f \\ Z_u & (-Z_f) \end{vmatrix}}{N(s)} = \frac{-(s - X_u)Z_f - Z_u X_f}{s(s - X_u) - Z_u g} \quad (6.18)$$

- **Stationäre Bahnänderung** für f-Sprung f_∞

$$\lim_{s \rightarrow 0} G_{\gamma f}(s) = \lim_{t \rightarrow \infty} \frac{\gamma(t)}{f_\infty} = \frac{X_f}{g}$$

$Z_f = 0$: Steigflug bei Schuberrhöhung ($f_\infty > 0$, $X_f > 0$)
Zunahme der potentiellen Energie

6.4.2 Höhenruder

- **Übertragungsfunktion Nickgeschwindigkeitsänderung** bei Höhenruderausschlag ($\eta \rightarrow q$) Anstellwinkelnäherung (vgl. (6.3))

$$\frac{q(s)}{\eta(s)} = G_{q\eta}(s) = \frac{\begin{vmatrix} M_\eta & -M_\alpha \\ Z_\eta & s - Z_\alpha \end{vmatrix}}{\begin{vmatrix} s - M_q & -M_\alpha \\ -1 & s - Z_\alpha \end{vmatrix}} = \frac{s M_\eta + (Z_\eta M_\alpha - Z_\alpha M_\eta)}{s^2 - (M_q + Z_\alpha)s + (M_q Z_\alpha - M_\alpha)} \quad (6.19)$$

- **Kurzzeit-Stationärwert** der Nickgeschwindigkeit für η -Sprung η_∞

$$\lim_{s \rightarrow 0} G_{q\eta}(s) = \lim_{t \rightarrow \infty} \frac{q(t)}{\eta_\infty} = \frac{Z_\eta M_\alpha - Z_\alpha M_\eta}{M_q Z_\alpha - M_\alpha} \approx \frac{Z_\alpha}{M_\alpha} M_\eta < 0$$

- **Anfangsreaktion Nickbeschleunigung**

$$\lim_{s \rightarrow \infty} G_{\dot{q}\eta}(s) = \lim_{s \rightarrow \infty} s \cdot G_{q\eta}(s) = \lim_{t \rightarrow 0} \frac{\dot{q}(t)}{\eta_\infty} = M_\eta < 0$$

- **Übertragungsfunktion α -Änderung**

$$\frac{\alpha(s)}{\eta(s)} = G_{\alpha\eta}(s) = \frac{\begin{vmatrix} s - M_q & M_\eta \\ -1 & Z_\eta \end{vmatrix}}{N(s)} = \frac{(s - M_q)Z_\eta + M_\eta}{s^2 - (M_q + Z_\alpha)s + (M_q Z_\alpha - M_\alpha)} \quad (6.20)$$

- **Kurzzeit-Stationärwert** der α -Änderung

$$\lim_{s \rightarrow 0} G_{\alpha\eta}(s) = \lim_{t \rightarrow \infty} \frac{\alpha(t)}{\eta_\infty} = \frac{-M_q Z_\eta + M_\eta}{M_q Z_\alpha - M_\alpha} \approx -\frac{M_\eta}{M_\alpha} < 0$$

- **Anfangsreaktion der α -Änderung**

$$\lim_{s \rightarrow \infty} G_{\dot{\alpha}\eta}(s) = \lim_{s \rightarrow \infty} s \cdot G_{\alpha\eta}(s) = \lim_{t \rightarrow 0} \frac{\dot{\alpha}(t)}{\eta_\infty} = Z_\eta < 0$$

- **Vergleich mit Nickreaktion**

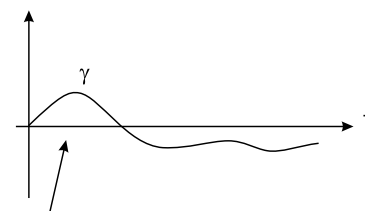
Für $|Z_\eta| \ll |M_\eta|$ (Vorsicht bei Deltakonfiguration!)
ist $Z_{q\eta} = M_\eta (s - Z_\alpha)$
 $Z_{\alpha\eta} = M_\eta$
also: $Z_{\alpha\eta} = Z_{q\eta} \frac{1}{s - Z_\alpha}$

D. h. : Bei einer Höhenruderänderung erfolgt die Anstellwinkeländerung mit einer Verzögerung (Zeitkonstante $T = -\frac{1}{Z_\alpha}$) auf die Nickgeschwindigkeitsänderung.

- **Bahnänderung** bei Höhenruderänderung [2mm] Aus Zustandsgleichung (6.1) folgt

$$\lim_{t \rightarrow 0} \dot{\gamma}(t) = -Z_\eta \cdot \eta \approx \frac{\rho}{2} V_0 \frac{S}{m} C_{A_\eta} \eta \quad (6.21)$$

- Anfangsreaktion : Auftriebserhöhung bei "Drücken" ($\eta > 0$) durch Auftriebserhöhung durch Höhenruder ($C_{A_\eta} > 0$), Beschleunigung nach oben



- Anschließend : Sinken wegen Auftriebsverringern am Flügel \hookrightarrow Allpass

Bild 6.14

Besonders groß bei Delta-Konfigurationen

6.4.3 Auftriebsklappen

- **Übertragungsfunktion** Anstellwinkeländerung bei Änderung des Auftriebsklappen-Ausschlags ($\varkappa \rightarrow \alpha$)

$$\frac{\alpha(s)}{\varkappa(s)} = G_{\alpha\varkappa}(s) = \frac{\begin{vmatrix} s - M_q & M_\varkappa \\ -1 & Z_\varkappa \end{vmatrix}}{N(s)} = \frac{(s - M_q) Z_\varkappa + M_\varkappa}{s^2 - (M_q + M_\alpha) s + (M_q Z_\alpha - M_\alpha)} \quad (6.22)$$

- **Kurzzeit-Stationärwert** für \varkappa -Sprung \varkappa_∞

$$\lim_{s \rightarrow 0} G_{\alpha\varkappa}(s) = \lim_{t \rightarrow \infty} \frac{\alpha(t)}{\varkappa_\infty} = \frac{-M_q Z_\varkappa + M_\varkappa}{M_q Z_\alpha - M_\alpha} \approx \frac{M_q Z_\varkappa}{M_\alpha} < 0$$

- **Anfangsreaktion** (Vertikalbeschleunigung $\ddot{z} \sim \dot{\alpha}$)

$$\lim_{s \rightarrow \infty} G_{\dot{\alpha}\varkappa}(s) = \lim_{s \rightarrow \infty} s \cdot G_{\alpha\varkappa}(s) = \lim_{t \rightarrow 0} \frac{\dot{\alpha}(t)}{\varkappa_\infty} = Z_\varkappa$$

6.5 Störverhalten

6.5.1 Horizontalwind

- Phygoiden-Näherung, ergänzt um Windeinfluss

$$V_A = V_K - V_W \quad (V_A = V)$$

$$\begin{bmatrix} \dot{V}_K \\ \dot{\gamma} \end{bmatrix} = \begin{bmatrix} X_u & -g \\ -Z_u & 0 \end{bmatrix} \begin{bmatrix} V_K \\ \gamma \end{bmatrix} + \begin{bmatrix} -X_u \\ Z_u \end{bmatrix} V_W \quad (6.23)$$

- Signalflussdiagramm

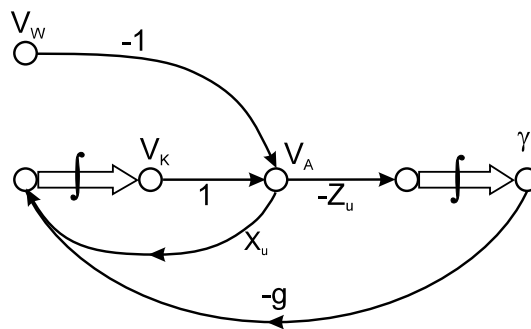


Bild 6.15

- Übertragungsfunktion

$$\frac{V_K(s)}{V_W(s)} = \frac{\begin{vmatrix} -X_u & g \\ Z_u & s \end{vmatrix}}{\begin{vmatrix} s - X_u & g \\ Z_u & s \end{vmatrix}} = \frac{-X_u s - Z_u g}{s(s - X_u) - Z_u g} \quad (6.24)$$

- Grenzwerte

$$V_K(t \rightarrow \infty) = V_W$$

$$V_A(t \rightarrow \infty) = 0$$

$$\gamma(t \rightarrow \infty) = 0$$

- Sprungantwort

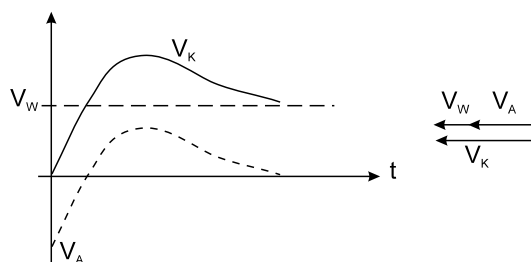


Bild 6.16

6.5.2 Vertikalwind

- Anstellwinkel-Näherung, mit Windeinfluss (s. (5.44))

$$\begin{bmatrix} \dot{q}_K \\ \dot{\alpha}_K \\ \dot{\alpha}_W \end{bmatrix} = \begin{bmatrix} M_q & M_\alpha & -M_\alpha \\ 1 & Z_\alpha & -Z_\alpha \\ 0 & 0 & 0 \end{bmatrix} \begin{bmatrix} q_K \\ \alpha_K \\ \alpha_W \end{bmatrix} + \begin{bmatrix} M_{Wx} \\ 0 \\ 1 \end{bmatrix} w_{Wx} \quad (6.25)$$

- Signalflussdiagramm

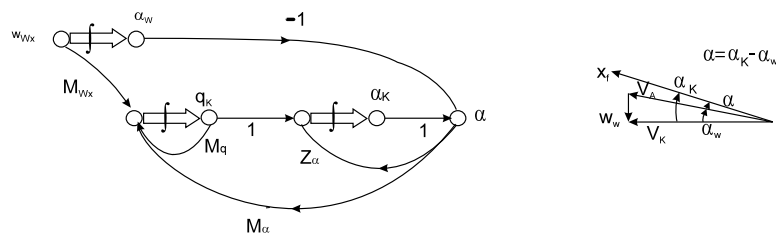


Bild 6.17

- Grenzwerte

$$\alpha_K(t \rightarrow \infty) = \alpha_W$$

$$\alpha(t \rightarrow \infty) = 0$$

$$\alpha(t \rightarrow 0) = -\alpha_W$$

$$\gamma(t \rightarrow \infty) = -\alpha_K$$

- Sprungantwort

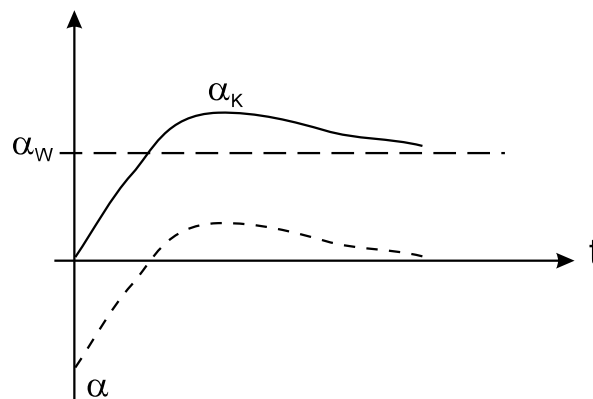


Bild 6.18

7 Dynamik der Seitenbewegung

7.1 Signalflussdiagramm

Zustandsgleichungen der Seitenbewegung, ohne Wind, vereinfacht

$$\begin{bmatrix} \dot{r}_K \\ \dot{\beta}_K \\ \dot{p}_K \\ \dot{\phi} \end{bmatrix} = \begin{bmatrix} N_r & N_\beta & | & N_p & | & 0 \\ -1 & Y_\beta & | & 0 & | & Y_\phi \\ \hline (L_r) & L_\beta & | & L_p & | & 0 \\ 0 & 0 & | & 1 & | & 0 \end{bmatrix} \begin{bmatrix} r_K \\ \beta_K \\ p_K \\ \phi \end{bmatrix} + \begin{bmatrix} (N_\xi) & N_\zeta \\ 0 & (Y_\zeta) \\ \hline L_\xi & (L_\zeta) \\ 0 & 0 \end{bmatrix} \begin{bmatrix} \xi \\ \zeta \end{bmatrix} \quad (7.1)$$

i. a. 1 Schwingung

2 aperiodische Bewegungen

Weniger wichtige Ersatzgrößen in Klammern

- **Signalflussdiagramm Seitenbewegung** (vereinfacht, ohne Wind)

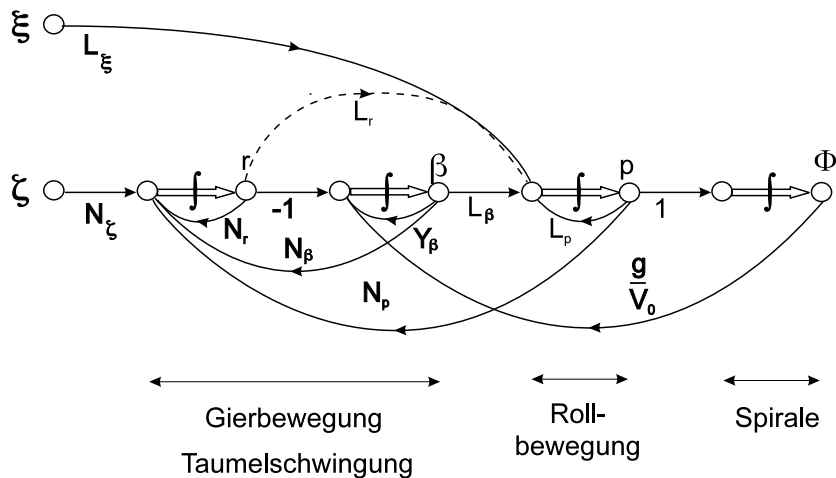


Bild 7.1

Brauchbare Näherung für kleines Schieberollmoment L_β , d. h. geringe Pfeilung

7.2 Sprungantworten

- Sprungantworten Seitenbewegung Do 328, Reiseflug

Kurzzeitverhalten (Daten siehe Anhang 9.4)

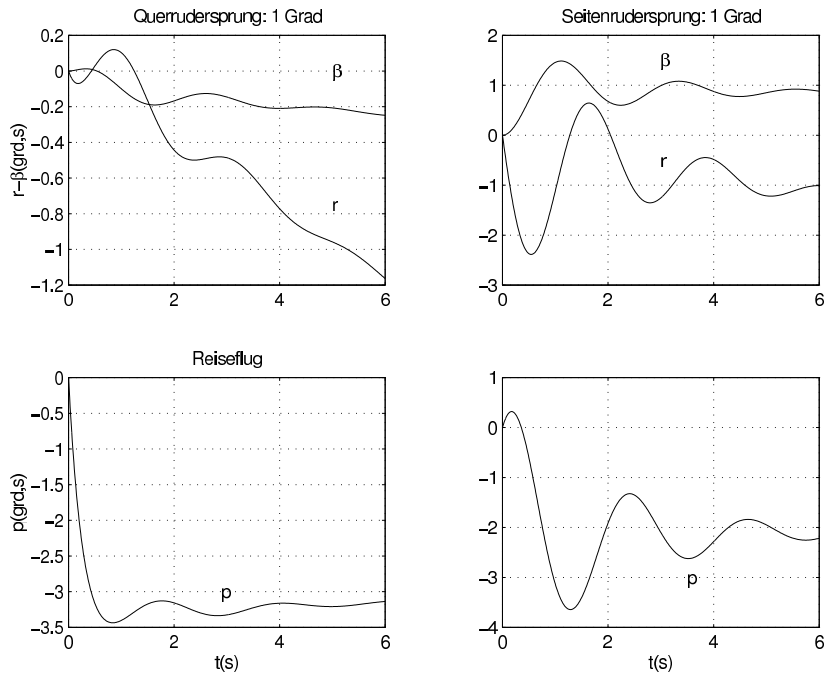


Bild 7.2

- Sprungantworten Seitenbewegung Do 328, Reiseflug

Langzeitverhalten

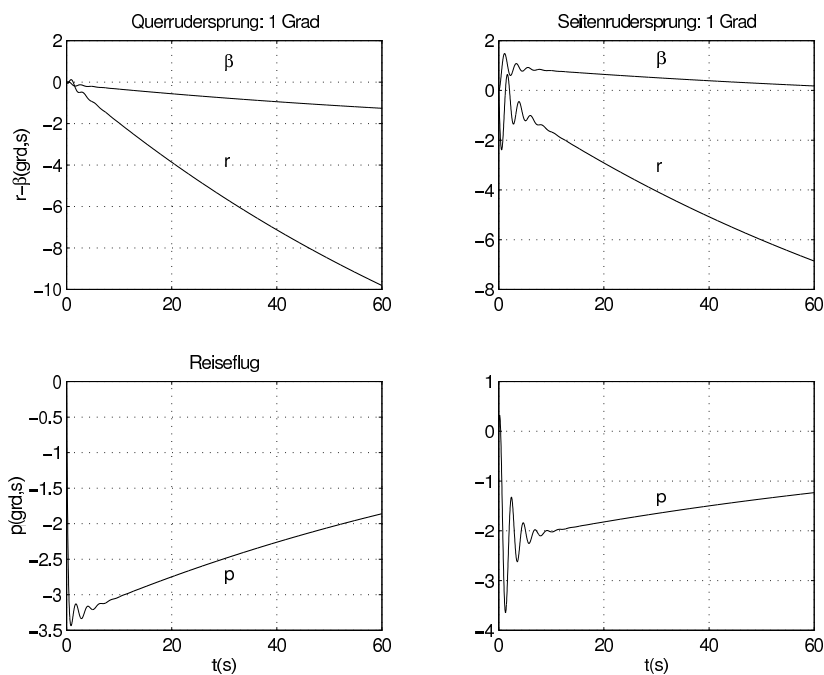


Bild 7.3

7.3 Eigenverhalten

- Pole

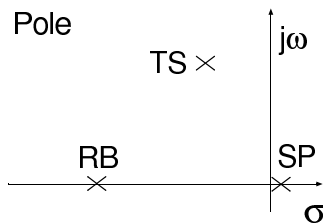


Bild 7.4

Trennung der Eigenbewegungsformen der Seitenbewegung nicht allgemein möglich. Parameter hängen stark von Flugzeugkonfiguration ab.

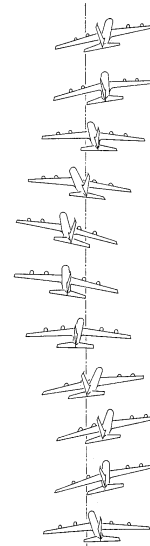


Bild 7.5 TS

- TS : Taumelschwingung, schnell, schwach gedämpft
Roll-Gierkopplung
- RB : Rollbewegung, schnelle aperiodische Bewegung um Längsachse
- SP : Spiralbewegung, langsam, aperiodisch
oft instabil
Pol in der rechten s-Halbebene

- Prinzip : charakteristische Gleichung

$$(s^2 - 2\sigma_{TS}s + \omega_{0TS}^2)(s + \frac{1}{T_R})(s + \frac{1}{T_S}) = 0 \quad (7.2)$$

7.3.1 Taumelschwingung

- Zustandsdifferentialgleichung für die Näherung

$$\begin{bmatrix} \dot{r} \\ \dot{\beta} \end{bmatrix} = \begin{bmatrix} N_r & N_\beta \\ -1 & Y_\beta \end{bmatrix} \begin{bmatrix} r \\ \beta \end{bmatrix} + \begin{bmatrix} N_\zeta \\ 0 \end{bmatrix} \zeta \quad (7.3)$$

$$\dot{\underline{x}} = \underline{A} \cdot \underline{x} + \underline{B} \cdot \underline{u} \quad (7.4)$$

- Sprungantworten (Do 328, Reiseflug, System 4. Ordnung, System 2. Ordnung), N: Näherung

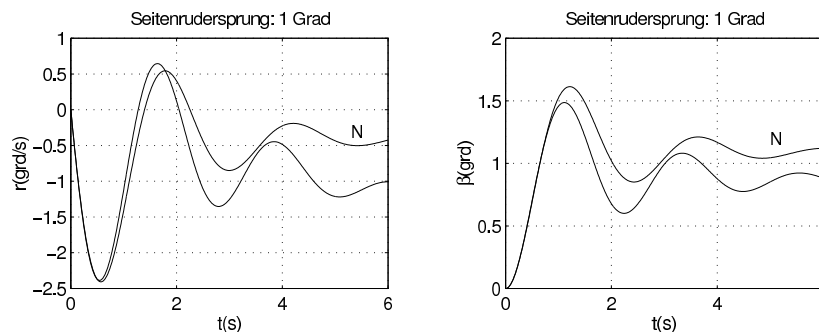


Bild 7.6

- Signalflussdiagramm

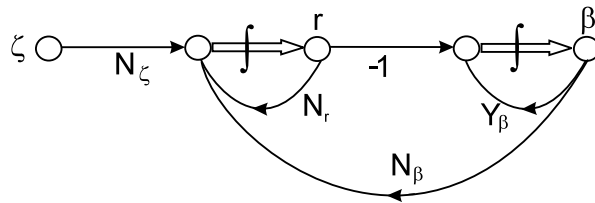


Bild 7.7

- Charakteristische Gleichung

$$\begin{aligned}
 |sI - \underline{A}| &= s^2 - s(N_r + Y_\beta) + (N_\beta + N_r Y_\beta) = 0 \\
 &= s^2 - 2\sigma_{TS} s + \omega_{0TS}^2
 \end{aligned}$$

$$\text{- Eigenfrequenz } \omega_{0TS} = \sqrt{N_\beta + N_r Y_\beta} \approx \sqrt{N_\beta} \quad (7.5)$$

Federwirkung: "Statische Stabilität" der Seitenbewegung

$$\text{- Dämpfungsexponent } \sigma_{TS} = \frac{1}{2}(N_r + Y_\beta) \quad (7.6)$$

$$\text{- Dämpfungsgrad } D_{TS} = -\frac{\sigma_{TS}}{\omega_{0TS}} \approx -\frac{1}{2} \frac{N_r}{\sqrt{N_\beta}} \quad (7.7)$$

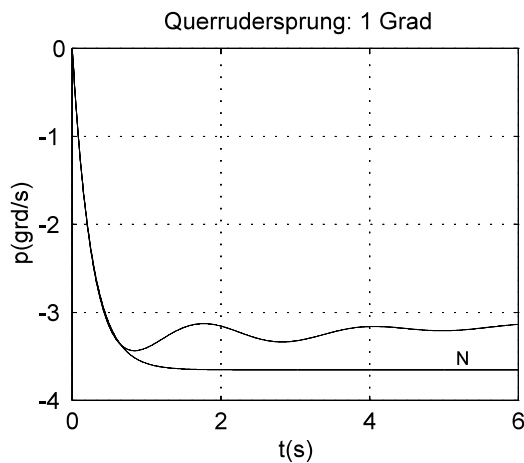
7.3.2 Rollbewegung

- Zustands-Differentialgleichung für die Näherung von Roll- und Spiralbewegung

$$\begin{bmatrix} \dot{p} \\ \dot{\phi} \end{bmatrix} = \begin{bmatrix} L_p & 0 \\ 1 & 0 \end{bmatrix} \begin{bmatrix} p \\ \phi \end{bmatrix} + \begin{bmatrix} L_\xi \\ 0 \end{bmatrix} \xi \quad (7.8)$$

$$\dot{\underline{x}} = \underline{A} \cdot \underline{x} + \underline{B} \cdot \underline{u} \quad (7.9)$$

- Sprungantworten (Do 328, Reiseflug, System 4. Ordnung, System 2. Ordnung)

Bild 7.8 N:
Näherung

- Signalflussdiagramm

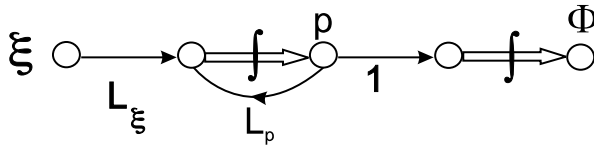


Bild 7.9

- Charakteristische Gleichung

$$s(s - L_p) = 0 \quad (7.10)$$

$$\text{Rollzeitkonstante } T_R \approx -\frac{1}{L_p} = \frac{I_x}{\frac{\rho}{2} V_0 S (\frac{b}{2})^2 C_{lp}} \quad (7.11)$$

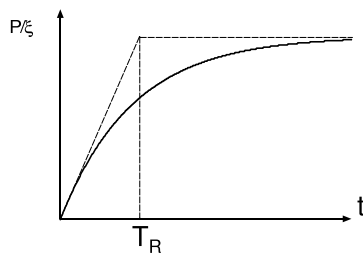


Bild 7.10

7.3.3 Spiralbewegung

- Verbesserte Näherung für Roll- und Spiralwurzel:

Annahme: Gewichtsanteil und Zentrifugalkraft in Querkraftgleichung näherungsweise im Gleichgewicht

$$g \phi_0 \approx V_0 r \quad (\text{vgl. Gl. 5.36, Y-Kräfte})$$

$$Y_\beta \beta \approx 0$$

$$\dot{\beta} \approx 0$$

Homogene SB-Zustandsgleichung

$$\begin{bmatrix} \dot{r} \\ 0 \\ \dot{p} \\ \dot{\phi} \end{bmatrix} = \begin{bmatrix} N_r & N_\beta & N_p & 0 \\ -1 & 0 & 0 & g/V_0 \\ L_r & L_\beta & L_p & 0 \\ 0 & 0 & 1 & 0 \end{bmatrix} \begin{bmatrix} r \\ \beta \\ p \\ \phi \end{bmatrix} \quad (7.12)$$

- Charakteristische Gleichung

$$s^2 - s \left\{ L_p - (N_p - \frac{g}{V_0}) (\frac{L_\beta}{N_\beta}) \right\} + \frac{g}{V_0} \frac{1}{N_\beta} (N_r L_\beta - N_\beta L_r) = 0 \quad (7.13)$$

Roll- und Spiralwurzel reell:

$$(s + \frac{1}{T_R})(s + \frac{1}{T_S}) = s^2 + (\frac{1}{T_R} + \frac{1}{T_S})s + \frac{1}{T_R T_S} = 0 = s^2 + a_1 s + a_0$$

- **Koeffizientenvergleich**

- Rollwurzel $(\frac{1}{T_s} \approx 0)$

$$\frac{1}{T_R} \approx a_1 = -L_p \left\{ 1 - \frac{N_p - \frac{g}{V_0} \frac{L_\beta}{N_\beta}}{L_p} \right\} \approx -L_p$$

- Spiralwurzel

$$\begin{aligned} \frac{1}{T_R} \frac{1}{T_s} &\approx a_0 = \frac{g}{V_0} \frac{1}{N_\beta} (N_r L_\beta - N_\beta L_r) \\ \hookrightarrow \frac{1}{T_s} &= T_R \frac{g}{V_0} \frac{1}{N_\beta} (N_r L_\beta - N_\beta L_r) \quad ; \quad T_R > 0 \end{aligned}$$

- **Stabilitätsforderung:** $\frac{1}{T_s} > 0$ (Pol links der Stabilitätsgrenze)

$$\text{d. h.} \quad \frac{1}{N_\beta} (N_r L_\beta - N_\beta L_r) = N_r \left(\frac{L_\beta}{N_\beta} - \frac{L_r}{N_r} \right) \stackrel{!}{>} 0 \quad ; \quad \frac{L_\beta}{N_\beta} - \frac{L_r}{N_r} \stackrel{!}{<} 0 \quad (N_r < 0) \quad (7.14)$$

7.4 Führungsverhalten

7.4.1 Querruder

- **Näherung Rollbewegung**

$$\begin{aligned} \dot{p} &= L_p p + L_\xi \xi \\ s p &= L_p p + L_\xi \xi \\ G_{p\xi}(s) &= \frac{p}{\xi} = \frac{L_\xi}{s - L_p} = -\frac{L_\xi}{L_p} \cdot \frac{1}{1 + T_R s} \quad ; \quad T_R = -\frac{1}{L_p} \end{aligned} \quad (7.15)$$

- **Anfangsverhalten** (Rollbeschleunigung)

$$\lim_{s \rightarrow \infty} G_{\dot{p}\xi}(s) = \lim_{s \rightarrow \infty} s \cdot G_{p\xi}(s) = \lim_{t \rightarrow 0} \frac{\dot{p}(t)}{\xi_\infty} = L_\xi \quad (7.16)$$

- **Stationärverhalten** (Rollgeschwindigkeit)

$$\lim_{s \rightarrow 0} G_{p\xi}(s) = \lim_{t \rightarrow \infty} \frac{p(t)}{\xi_\infty} = -\frac{L_\xi}{L_p} \quad (7.17)$$

- Giergeschwindigkeit

- Anfangsreaktion (vgl. (7.1))

$$\lim_{t \rightarrow 0} \dot{r} = N_{\xi} \xi$$

- stationäres Verhalten, nach Abklingen der Rollbewegung

$$\dot{r} \approx N_p p_{\infty} + N_{\xi} \xi_{\infty}$$

$$p(t \rightarrow \infty) = -\frac{L_{\xi}}{L_p} \xi_{\infty}$$

$$\dot{r} = (N_{\xi} - \frac{L_{\xi}}{L_p} N_p) \xi_{\infty} = L_{\xi} (\frac{N_{\xi}}{L_{\xi}} - \frac{N_p}{L_p}) \xi_{\infty}$$

$$\frac{L_{\xi}}{N_{\xi}} < 0 \quad \text{"Gegengieren"} \quad \text{vgl. Kap. 4-3-3}$$

7.4.2 Seitenruder

- Übertragungsfunktion Giergeschwindigkeit bei Seitenruderausschlag Näherung für die Taumelschwingung

$$G_{r\zeta}(s) = \frac{N_{\zeta}(s - Y_{\beta})}{s^2 - s(N_r + Y_{\beta}) + (N_{\beta} + N_r Y_{\beta})} \quad (7.18)$$

$$\frac{\dot{r}}{\zeta}(t \rightarrow 0) = N_{\zeta}$$

$$\frac{r}{\zeta}(t \rightarrow \infty) = \frac{r}{\zeta_{\infty}} = \frac{-N_{\zeta} Y_{\beta}}{N_{\beta} + N_r Y_{\beta}}$$

7.5 Störverhalten

- Näherung Taumelschwingung, mit Seitenwindeinfluss (s. (5.48))

$$\begin{bmatrix} \dot{r}_K \\ \dot{\beta}_K \\ \dot{\beta}_W \end{bmatrix} = \begin{bmatrix} N_r & N_{\beta} & -N_{\beta} \\ -1 & Y_{\beta} & -Y_{\beta} \\ 0 & 0 & 0 \end{bmatrix} \begin{bmatrix} r_K \\ \beta_K \\ \beta_W \end{bmatrix} + \begin{bmatrix} -N_r \\ 0 \\ 1 \end{bmatrix} v_{Wx} \quad (7.19)$$

- Signalflussdiagramm

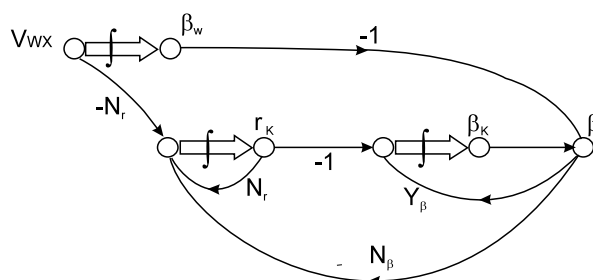


Bild 7.11

- Grenzwerte

$$\beta_K(t \rightarrow \infty) = \beta_w$$

$$\beta(t \rightarrow \infty) = 0$$

$$\beta(t \rightarrow 0) = -\beta_w$$

- Sprungantworten

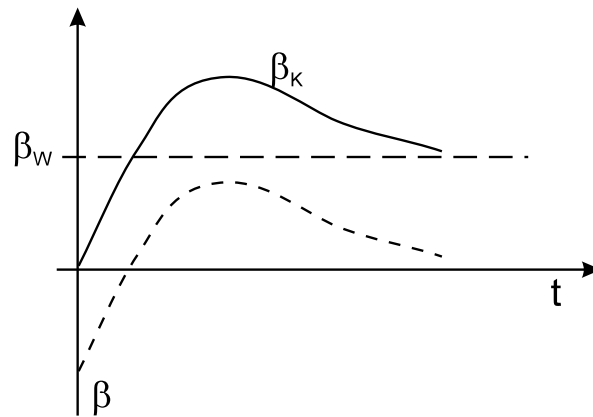


Bild 7.12

8 Flugeigenschaftsforderungen

8.1 Grundlagen

8.1.1 Vorschriften

- **Richtlinien** und Standards als Grundlagen für die Zulassung **ziviler Flugzeuge**:

- FAA (Federal Aviation Agency, USA),

FAR: "Federal Airworthiness Regulations"

- JAA (Joint Aviation Agency, Europa),

LBA (Luftfahrtbundesamt, Braunschweig),

JAR: "Joint Airworthiness Regulations"

- z. B.

FAR, Part 23: "Airworthiness Standards, Normal, Utility and Acrobatic Airplanes"

FAR, Part 25: "Airworthiness Standards, Transport Category Airplanes"

- **Allgemeine Forderungen** , meist ohne konkrete Zahlenangaben, z. B.:

§23.141 "Das Flugzeug muss die Forderungen §23.143 bis 23.253 in den normalerweise erwarteten Betriebshöhen erfüllen, ohne dass es dabei außergewöhnlicher Geschicklichkeit, Wachsamkeit oder Kraftanstrengung des Flugzeugführers bedarf."

§23.143 "Es muss möglich sein, ohne Gefahr des Überschreitens des sicheren Lastvielfachen und unter allen wahrscheinlichen Betriebsbedingungen (einschließlich ... Motorsausfall ...), einen weichen Übergang von einem Flugzustand zum anderen (einschließlich Kurven und Seitengleitflug) durchzuführen."

§23.181 "Alle kurzperiodischen Längsschwingungen, die im Bereich zwischen der Überzieh- und der höchstzulässigen Geschwindigkeit auftreten, müssen sowohl mit loser, als auch mit fester Hauptsteuerung stark gedämpft sein."

- **Richtlinien** und Standards für die Entwicklung und Zulassung **militärischer Flugzeuge**:

- USAF MIL-8785C: "Military Specification, Flying Qualities of Piloted Airplanes", 1980
- USAF MIL-1797-A: "Military Standard, Flying Qualities of Piloted Vehicles", 1990

Konkrete Forderungen an die Flugeigenschaften, eingeteilt nach

Flugzeugtyp (class): "Transportflugzeug, Kampfflugzeug, ..."

Flugzeugzustand (flight phases): "Reiseflug, Landeanflug, ..."

Gütegrad (level): "Zufriedenstellend, brauchbar, ..."

8.2 Klassifizierungen

Flugzeugtyp/ Flugaufgabe	class I:	small, light aircraft,
	class II:	medium weight aircraft, low to medium manoeuvrability,
	class III:	large, heavy aircraft, low to medium manoeuvrability,
	class IV:	high manoeuvrability aircraft.
Flugzustand/ Flugabschnitt	category A:	Those non-terminal flight phases that require rapid manoeuvring, precision tracking, or precise flight path control (e. g. air-to-air combat, terrain-following),
	category B:	Those non-terminal flight phases, that are normally accomplished using gradual manoeuvres and without precision tracking, although accurate flight path control may be required (e. g. climb, cruise),
	category C:	Terminal flight phases. They are normally accomplished using gradual manoeuvres and usually require accurate flight-path control (take-off, approach and landing).

Gütegrad/
Schwierigkeit der
Aufgabenerfüllung

- level 1: Flying qualities clearly adequate for the mission flight phase. Aircraft is satisfactory without improvement ("satisfactory").
- level 2: Flying qualities adequate to accomplish the mission flight phase, but some increase in pilot workload or degradation in mission effectiveness, or both, exist ("acceptable").
- level 3: Flying qualities such that the aircraft can be controlled safely, but pilot workload is excessive or mission effectiveness is inadequate, or both. Category A-flight phases can be terminated safely, Category B and C flight phases can be completed ("controllable").

8.2.1 Bewertungsverfahren

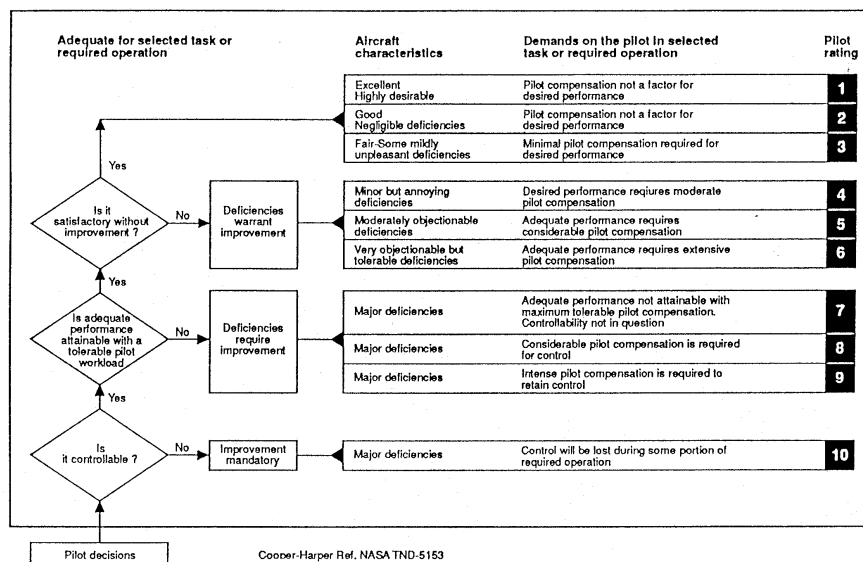


Bild 8.1

CHR: Cooper-Harper rating scale:

Flugeigenschaftsbewertung durch Piloten

8.3 Längsbewegung

8.3.1 Anstellwinkelschwingung

- Übertragungsfunktion Anstellwinkel-Näherung

$$G_{q\eta}(s) = K \frac{1 + T_\theta s}{1 + \frac{2D}{\omega_{0AS}} s + \left(\frac{s}{\omega_{0AS}}\right)^2} \quad (8.1)$$

- Flugeigenschaftskriterien Eigenverhalten, Zeitverhalten

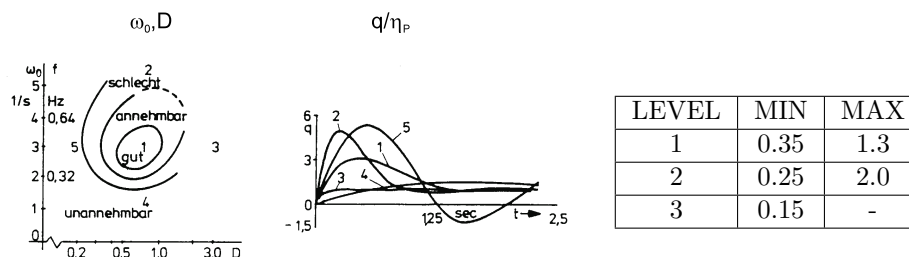


Bild 8.2

Frequenz

Sprungantworten

Dämpfungsgrad

Dämpfung

CAT A/C (MIL 8785)

Pilotenbeurteilungen der Anstellwinkelschwingung

- Manövrierfähigkeit

- Lastfaktorempfindlichkeit

$$\left. \frac{\Delta n_z}{\Delta \alpha} \right|_{t_{gro, n}} = \left. \frac{n_z/\eta}{\alpha/\eta} \right|_{s=0} = -\frac{V_0}{g} Z_\alpha = \frac{V_0}{g} \frac{1}{T_\theta} \approx \frac{C_{A\alpha}}{C_{A0}}$$

Verhältnis von erzielbarem Lastvielfachen zu notwendiger Anstellwinkeländerung.

Forderung:

$$\frac{\Delta n_z}{\Delta \alpha} \geq \frac{0.2}{5^\circ}(g) = 2.3 \frac{1}{rad}$$

- Nickbeschleunigung

Drehbeschleunigung zu quasistationär erreichtem Lastvielfachen: "control anticipation parameter" (CAP)

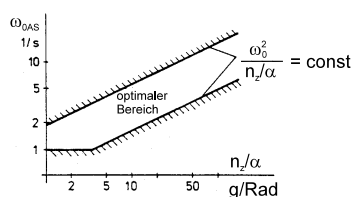


Bild 8.3

Anforderung an ω_{0AS} , n_z/α nach MIL-STD 1797

- C^* -Kriterium

$$C^* = n_{zpilot} + \frac{V_m}{g} q_K, \quad n_{zpilot}: \text{Lastvielfaches am Pilotensitz,}$$

$$\frac{V_m}{g} q_K: \text{Gewichtete Nickgeschwindigkeit}$$

Forderung:

Zeitbereich

Frequenzbereich

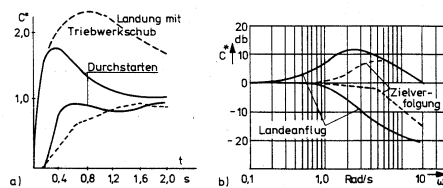


Bild 8.4 Grenzkurven

8.3.2 Phygoide

Bahnbewegung, Kenngrößen: Bahnwinkel γ , Geschwindigkeit V

- Dämpfung

$D > 0.04$ für gute Flugeigenschaften (Level 1)

- Stabilitäts-Handkraft (vgl. Kap. 3.4-2)

$$\frac{dF_H}{dV} < 0 \quad \text{Gradient von Steuerkraft zu Fahrtänderung}$$

- Bahnänderung/Nickwinkel

Positive Bahnwinkeländerung wird durch Aufnicken angekündigt

$$\frac{\gamma/\eta}{\theta/\eta} = \frac{-Z_\alpha}{s - Z_\alpha} = \frac{1}{1 + T_\theta s}; \quad T_\theta = -\frac{1}{Z_\alpha} \sim \frac{1}{C_{A\alpha} + C_{w0} + \alpha_0 C_{w\alpha}} > 0$$

- Bahnwinkeländerung zu Fahrtänderung möglichst kleiner Null, Grenzwerte:

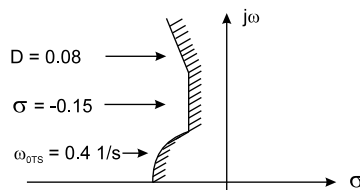
$$d\gamma/dV \leq 0.06^\circ/kn \quad (\text{Level1})$$

$$d\gamma/dV \leq 0.24^\circ/kn \quad (\text{Level3})$$

8.4 Seitenbewegung

8.4.1 Taumelschwingung

- **Frequenz:** $\omega_{0TS} > 1 \frac{1}{s}$ (class I) ; $\omega_{0TS} > 0.4 \frac{1}{s}$ (class III)
- **Dämpfung:** cat A : $D > 0.2$ cat B/C : $D > 0.08$, $\sigma < -0.15 \frac{1}{s}$



Beispiel:
Erlaubte Pollagen
für class III
cat B/C

Bild 8.5

- **Zusätzlich:** Anforderungen an Kopplungen zwischen Rollen und Gieren

8.4.2 Rollbewegung

$$\frac{p}{\xi} = \frac{K}{1 + T_R s}$$

- **Rollzeitkonstante** (T_R)

Level	1	2	3
Leichte Flugzeuge	1.0	1.4	10
Schwere Flugzeuge	1.4	3.0	

Beispiel:
Start/Landung (cat C)

- **Rolleistung** / Steuerwirksamkeit (K)

Zeitbedarf für Rollwinkel-Aufbau
z. B.

$$\begin{aligned} t_{90^\circ} &< 1.0s && \text{(Luftkampf)} \\ t_{30^\circ} &< 1.0s && \text{(Landeanflug, class IV)} \\ t_{30^\circ} &< 2.5s && \text{(Landeanflug, class III)} \end{aligned}$$

8.4.3 Spiralbewegung

Leichte Instabilität erlaubt

$$\left. \begin{aligned} t_d &\geq 12s && \text{cat A/C} \\ t_d &\geq 20s && \text{cat B} \end{aligned} \right\} \text{Level 1}$$

t_d : Zeit zur Verdopplung der Amplitude

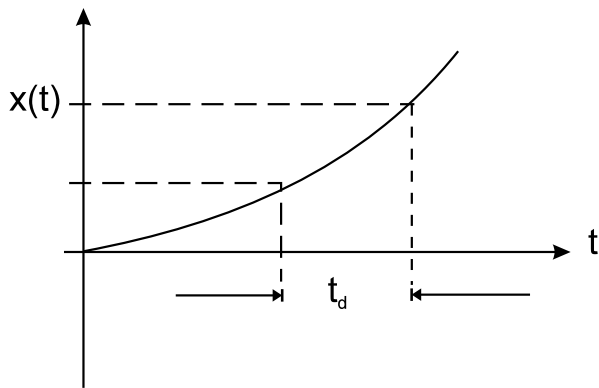


Bild 8.6

9 Anhang

9.1 Koordinatentransformation

Umrechnung von im Koordinatensystem a gegebenen Größen in das Koordinatensystem b mit Hilfe der Transformationsmatrix \underline{M}_{ba}

$$\underline{M}_{ba} = \begin{bmatrix} m_{11} & m_{12} & m_{13} \\ m_{21} & m_{22} & m_{23} \\ m_{31} & m_{32} & m_{33} \end{bmatrix}$$

m_{ij} : Richtungscosinus

Es gilt:

$$\underline{M}_{ba}^T = \underline{M}_{ab} \quad (T: \text{transponiert}) \quad (9.1)$$

$$\underline{M}_{ba} = \underline{M}_{bc} \underline{M}_{ca} \quad (9.2)$$

9.1.1 Bildungsgesetz

Beispiel: Drehachse z_g , Drehwinkel ψ , Bild 2.3-5

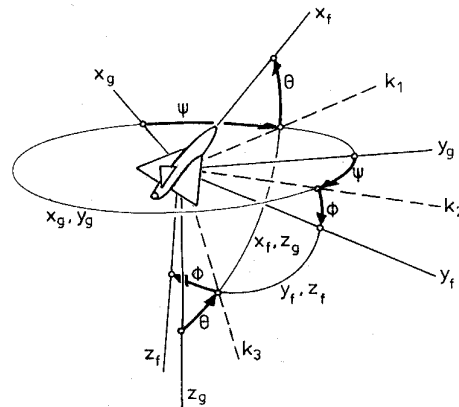


Bild 9.1

1. Das der Drehachse entsprechende Element der Hauptdiagonalen von \underline{M}_{ba} ist gleich Eins. Es gilt die Zuordnung:

$$\begin{aligned} \text{x-Achse} &: m_{11} \\ \text{y-Achse} &: m_{22} \\ \text{z-Achse} &: m_{33}. \end{aligned}$$

Ist die Drehachse eine Knotenachse, so wird dieser das Hauptdiagonalelement der Achse zugeordnet, die bei der vorhergehenden Drehung in die Knotenachse überführt wurde. (Beispiel: $m_{33} = 1$)

2. Die anderen Elemente der Zeile und der Spalte, die sich in dem genannten Hauptdiagonalelement schneiden, sind gleich Null. (Beispiel: $m_{13} = m_{23} = m_{31} = m_{32} = 0$)

3. Die beiden anderen Elemente der Hauptdiagonale enthalten den Kosinus des Drehwinkels.
(Beispiel: $m_{11} = m_{22} = \cos \psi$)
4. Das restliche Element der auf die Eins folgenden Zeile enthält den Sinus des Drehwinkels, das restliche Element der nächsten Zeile den negativen Wert davon.
Bei dieser Zählung folgt die erste auf die dritte Zeile.
(Beispiel: $m_{12} = \sin \psi, m_{21} = -\sin \psi$)

Beispiel: Überführung des geodätischen Koordinatensystems in das körperfeste Koordinatensystem (\underline{M}_{fg})

1. Drehung: $z_g =$ Drehachse; Drehwinkel ψ ; $x_g \rightarrow k_1, y_g \rightarrow k_2$.

$$\text{Drehmatrix} = \begin{bmatrix} \cos \psi & \sin \psi & 0 \\ -\sin \psi & \cos \psi & 0 \\ 0 & 0 & 1 \end{bmatrix}$$

2. Drehung: $k_2 =$ Drehachse; Drehwinkel θ ; $k_1 \rightarrow x, z_g \rightarrow k_3$.

$$\text{Drehmatrix} = \begin{bmatrix} \cos \theta & 0 & -\sin \theta \\ 0 & 1 & 0 \\ \sin \theta & 0 & \cos \theta \end{bmatrix}$$

3. Drehung: $x =$ Drehachse; Drehwinkel ϕ ; $k_2 \rightarrow y, k_3 \rightarrow z$.

$$\text{Drehmatrix} = \begin{bmatrix} 1 & 0 & 0 \\ 0 & \cos \phi & \sin \phi \\ 0 & -\sin \phi & \cos \phi \end{bmatrix}$$

Die Transformationsmatrix ergibt sich als Produkt der drei Drehmatrizen:

$$\underline{M}_{fg} = \begin{bmatrix} 1 & 0 & 0 \\ 0 & \cos \phi & \sin \phi \\ 0 & -\sin \phi & \cos \phi \end{bmatrix} \begin{bmatrix} \cos \theta & 0 & -\sin \theta \\ 0 & 1 & 0 \\ \sin \theta & 0 & \cos \theta \end{bmatrix} \begin{bmatrix} \cos \psi & \sin \psi & 0 \\ -\sin \psi & \cos \psi & 0 \\ 0 & 0 & 1 \end{bmatrix} = \underline{M}_{gf}^T$$

9.2 Ersatzgrößen

- Längsbewegung

$$\begin{aligned}
 X_u &= -\bar{q} \frac{S}{m} \left[\left(\frac{2}{V_0} C_{W_0} + \frac{1}{a} C_{WM} \right) - \alpha_0 \left(\frac{2}{V_0} C_{A_0} + \frac{1}{a} C_{AM} \right) \right] + \frac{1}{am} \frac{\partial F}{\partial M} & X_\theta &= -g \\
 X_\alpha &= -\bar{q} \frac{S}{m} \left[C_{W\alpha} - C_{A_0} - \alpha_0 C_{A\alpha} \right] & X_f &= \frac{1}{m} \frac{\partial F}{\partial \delta_F} \\
 X_{\dot{\alpha}} &= -\bar{q} \frac{S}{m} \frac{l_\mu}{V_0} \left[C_{W\dot{\alpha}} - \alpha_0 C_{A\dot{\alpha}} \right] & X_\varkappa &= -\bar{q} \frac{S}{m} \left[C_{W\varkappa} - \alpha_0 C_{A\varkappa} \right] \\
 X_q &= -\bar{q} \frac{S}{m} \frac{l_\mu}{V_0} \left[C_{Wq} - \alpha_0 C_{Aq} \right] & X_\eta &= -\bar{q} \frac{S}{m} \left[C_{W\eta} - \alpha_0 C_{A\eta} \right] \\
 \\
 Z_u &= -\bar{q} \frac{S}{m V_0} \left[\left(\frac{2}{V_0} C_{A_0} + \frac{1}{a} C_{AM} \right) - \alpha_0 \left(\frac{2}{V_0} C_{W_0} + \frac{1}{a} C_{WM} \right) \right] - \frac{i_F}{am} \frac{\partial F}{\partial M} & Z_f &= -\frac{i_F}{m V_0} \frac{\partial F}{\partial \delta_F} \\
 Z_\alpha &= -\bar{q} \frac{S}{m V_0} \left[C_{A\alpha} + C_{W_0} + \alpha_0 C_{W\alpha} \right] & Z_\varkappa &= -\bar{q} \frac{S}{m V_0} \left[C_{A\varkappa} + \alpha_0 C_{W\varkappa} \right] \\
 Z_{\dot{\alpha}} &= -\bar{q} \frac{S}{m V_0} \frac{l_\mu}{V_0} \left[C_{A\dot{\alpha}} + \alpha_0 C_{W\dot{\alpha}} \right] & Z_\eta &= -\bar{q} \frac{S}{m V_0} \left[C_{A\eta} + \alpha_0 C_{W\eta} \right] \\
 Z_q &= -\bar{q} \frac{S}{m V_0} \frac{l_\mu}{V_0} \left[C_{Aq} + \alpha_0 C_{Wq} \right] & \\
 \\
 & & Z'_i &= Z_i \cdot V_0 \\
 \\
 M_u &= \bar{q} \frac{S l_\mu}{I_y} \left(\frac{2}{V_0} C_{m_0} + \frac{1}{a} C_{mM} \right) + \frac{z_f}{a I_y} \frac{\partial F}{\partial M} & M_q &= M'_q + M_{\dot{\alpha}} \\
 M_\alpha &= \bar{q} \frac{S l_\mu}{I_y} C_{m\alpha} & M_f &= \frac{z_f}{I_y} \frac{\partial F}{\partial \delta_F} \\
 M_{\dot{\alpha}} &= \bar{q} \frac{S l_\mu}{I_y} \frac{l_\mu}{V_0} C_{m\dot{\alpha}} & M_\varkappa &= \bar{q} \frac{S l_\mu}{I_y} C_{m\varkappa} \\
 M'_q &= \bar{q} \frac{S l_\mu}{I_y} \frac{l_\mu}{V_0} C_{mq} & M_\eta &= \bar{q} \frac{S l_\mu}{I_y} C_{m\eta} \\
 & & M_{Wx} &= M'_q - M_{\dot{\alpha}}
 \end{aligned}$$

• Seitenbewegung

$$Y_\beta = \bar{q} \frac{S}{mV_0} C_{Q\beta}$$

$$Y_\xi = \bar{q} \frac{S}{mV_0} C_{Q\xi}$$

$$Y_{\dot{\beta}} = \bar{q} \frac{S}{m} \frac{b/2}{V_0^2} C_{Q\dot{\beta}}$$

$$Y_\zeta = \bar{q} \frac{s}{mV_0} C_{Q\zeta}$$

$$Y_p = \bar{q} \frac{S}{m} \frac{b/2}{V_0^2} C_{Qp}$$

$$Y_r = \bar{q} \frac{S}{m} \frac{b/2}{V_0^2} C_{Qr}$$

$$Y_\phi = \frac{g}{V_0}$$

$$L_\beta = \bar{q} \frac{S b/2}{\Delta} \left[I_z C_{l\beta} + I_{zx} C_{n\beta} \right]$$

$$L_\xi = \bar{q} \frac{S b/2}{\Delta} \left[I_z C_{l\xi} + I_{zx} C_{n\xi} \right]$$

$$L_{\dot{\beta}} = \bar{q} \frac{S b/2}{\Delta} \frac{b/2}{V_0} \left[I_z C_{l\dot{\beta}} + I_{zx} C_{n\dot{\beta}} \right]$$

$$L_\zeta = \bar{q} \frac{S b/2}{\Delta} \left[I_z C_{l\zeta} + I_{zx} C_{n\zeta} \right]$$

$$L_p = \bar{q} \frac{S b/2}{\Delta} \frac{b/2}{V_0} \left[I_z C_{lp} + I_{zx} C_{np} \right]$$

$$L_r = \bar{q} \frac{S b/2}{\Delta} \frac{b/2}{V_0} \left[I_z C_{lr} + I_{zx} C_{nr} \right]$$

$$N_\beta = \bar{q} \frac{S b/2}{\Delta} \left[I_x C_{n\beta} + I_{zx} C_{l\beta} \right]$$

$$N_\xi = \bar{q} \frac{S b/2}{\Delta} \left[I_x C_{n\xi} + I_{zx} C_{l\xi} \right]$$

$$N_{\dot{\beta}} = \bar{q} \frac{S b/2}{\Delta} \frac{b/2}{V_0} \left[I_x C_{n\dot{\beta}} + I_{zx} C_{l\dot{\beta}} \right]$$

$$N_\zeta = \bar{q} \frac{S b/2}{\Delta} \left[I_x C_{n\zeta} + I_{zx} C_{l\zeta} \right]$$

$$N_p = \bar{q} \frac{S b/2}{\Delta} \frac{b/2}{V_0} \left[I_x C_{np} + I_{zx} C_{lp} \right]$$

$$N_r = \bar{q} \frac{S b/2}{\Delta} \frac{b/2}{V_0} \left[I_x C_{nr} + I_{zx} C_{lr} \right]$$

$$\bar{q} = \frac{\rho}{2} V_0^2$$

$$\Delta = I_x I_z - I_{zx}^2$$

9.3 Literatur

- | | | | |
|------|--|---|--|
| /1/ | Etkin, B. | Dynamics of Atmospheric Flight
Flugmechanik und Flugregelung
Dynamics of Flight | Wiley, New York, 1972
Berliner Union, 1966
Wiley, New York, 1994 |
| /2/ | Perkins, C.D.
Hage, R.E. | Airplane Performance
Stability and Control | Wiley, New York, 1949 |
| /3/ | Dickinson, B. | Aircraft Stability and Control
for Pilots and Engineers | Pitman, London, 1968 |
| /4/ | Babister, A. W. | Aircraft Stability and Control | Pergamon Press, Oxford,
1961 |
| /5/ | Boisson | L'aérodynamique du vol | Dunod, Paris, 1969 |
| /6/ | Hafer, X.
Sachs, G. | Flugmechanik | Springer, Berlin,
1989 |
| /7/ | Brockhaus, R. | Flugregelung
www.springerlink.com | Springer, Berlin, 1994 |
| /8/ | McRuer, D.
Ashkenas, I.
Graham, D. | Aircraft Dynamics and
Automatic Control | Princeton University Press,
1973 |
| /9/ | Schlichting, H.
Truckenbrodt, E. | Aerodynamik des Flugzeuges I/II | Springer, Berlin, 1967/69 |
| /10/ | | Begriffe, Größen und Formelzeichen
der Flugmechanik, DIN 9300/LN9300 | Beuth Verlag, Berlin |

9.4 Symbolverzeichnis

Bezeichnungen			
A	Dynamikmatrix, Auftrieb	a	Nennerkoeffizient, Schallgeschwindigkeit
B	Eingangsmatrix	b	Zählerkoeffizient, Spannweite
C	Ausgangsmatrix, Beiwert	c	Federkonstante
D	Durchgangsmatrix, Dämpfungsgrad, Druckpunkt	d	Dämpfungskonstante
F	Triebwerksschub, Funktion, Handkraft	f	Frequenz, Schubänderung, Profilwölbung
G	Übertragungsfunktion, Gewichtskraft	g	Gravitationskonstante
H	Höhe, Störmatrix	i	Einstellwinkel
I	Einheitsmatrix, Trägheitsmoment	l	Flügeltiefe, Bezugslänge
K	Verstärkungsfaktor	m	Masse
L	Rollmoment	n	Lastvielfaches
M	Nickmoment, Manöverpunkt, Transformationsmatrix	p	Rollgeschwindigkeit, Druck
M, Ma	Machzahl	q	Nickgeschwindigkeit
N	Giermoment, Nennerpolynom	\bar{q}	Staudruck
Q	Querkraft, Moment	r	Giergeschwindigkeit, Hebelarm
R	Resultierende Kraft	s	Laplace-Variabale, Positionsvektor
S	Flügelfläche, Schwerpunkt, Staupunkt	t	Zeit
T	Trägheitstensor, Zeitkonstante, Temperatur	u	Stellgröße, x-Geschwindigkeit
V	Geschwindigkeit, Volumen	v	y-Geschwindigkeit
W	Widerstand	w	z-Geschwindigkeit, Führungsgröße
X	x-Kraft, Weg longitudinal	x	Zustandsgröße, Abstand
Y	y-Kraft, Weg lateral	y	Ausgangsgröße
Z	z-Kraft, Weg vertikal	z	Störgröße

z_F	Schubradius
θ	Längsneigung
ϕ	Hängewinkel
ψ	Azimut
Ω	Drehgeschwindigkeit
Λ	Streckung
Δ	Abweichung
α	Anstellwinkel
β	Schiebewinkel
γ	Bahnwinkel
δ	Steuerausschlag, Abweichung
ζ	Seitenruderausschlag
η	Höhenruderausschlag
κ	Auftriebsklappenausschlag
λ	Eigenwert
ν	Kin. Zähigkeit, V-Form
ξ	Querruderausschlag
ρ	Luftdichte
σ	Dämpfungsexponent
χ	Bahnazimut
ω	Kreisfrequenz
ε	Dämpfungswinkel, Abwindwinkel

Indices

A	aerodynamische Größe
F	Schubgröße
K	Bahngröße
W	Windgröße

FR	Flügel-Rumpf
H	Höhenleitwerk
S	Seitenleitwerk

a	aerodynamische Koordinaten
e	experimentelle Koordinaten
f	flugzeugfeste Koordinaten
g	erdlotfeste Koordinaten
k	bahnfeste Koordinaten

Abkürzungen

AS	Anstellwinkelschwingung
LB	Längsbewegung
PH	Phygoide
RB	Rollbewegung
SB	Seitenbewegung
SP	Spirale
TS	Taumelschwingung